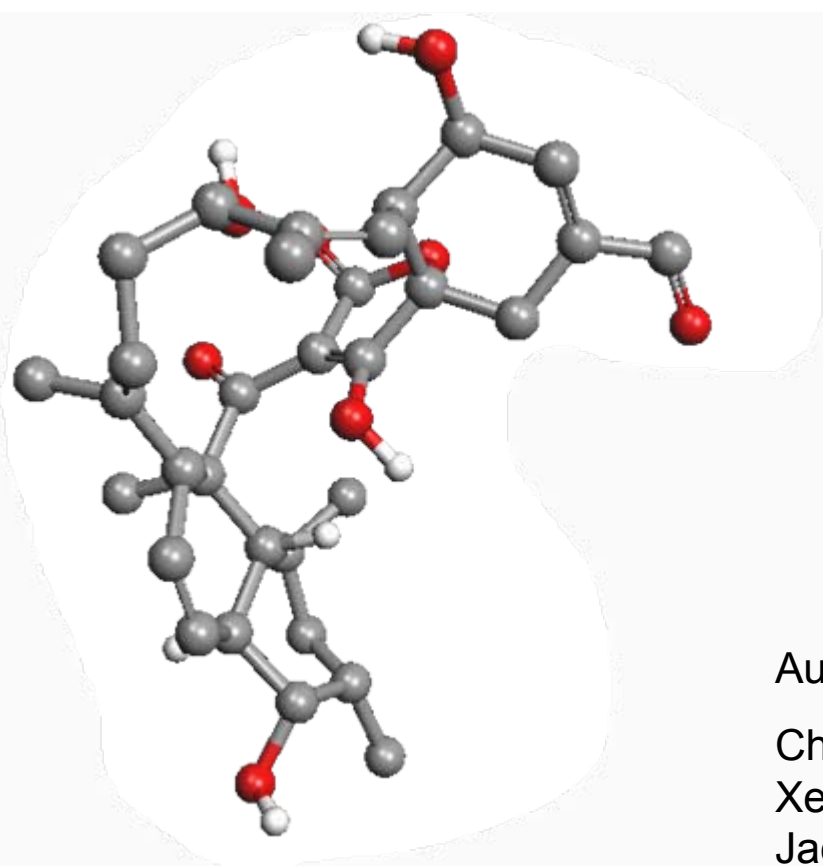


Totalsynthese von (+)-Tetronolid

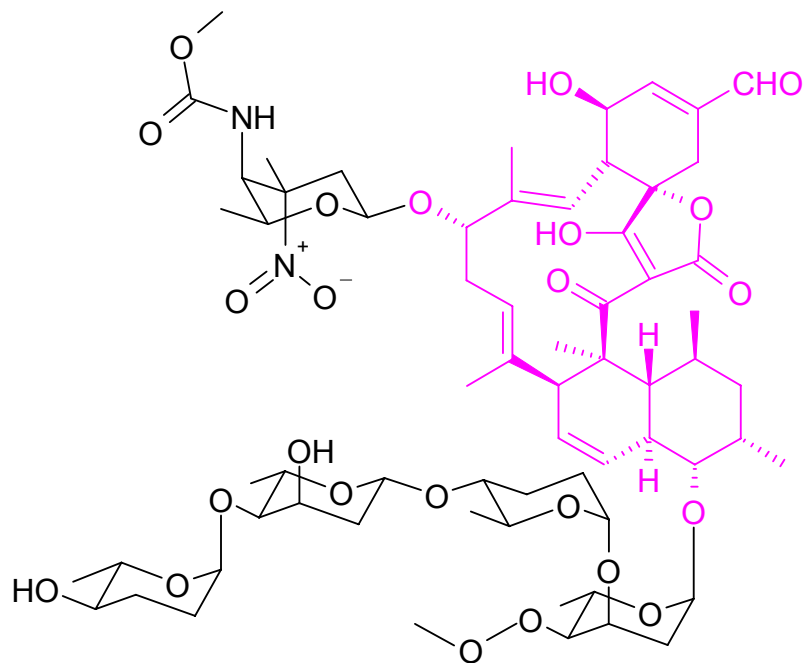


R. K. Boeckman, Jr., P. Shao, S. T. Wroblewski, D. J. Boehmler, G. R. Heintzelman, A. J. Barbosa

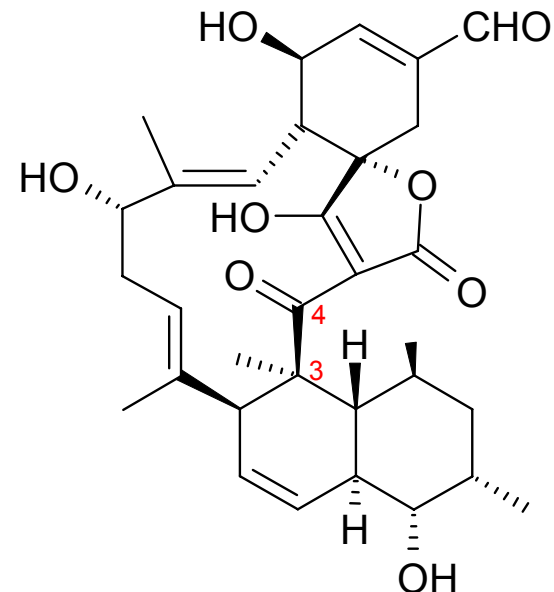
J. Am. Chem. Soc. **2006**, 128, 10572

Ausgearbeitet von:

Christina Dreher, Franziska Höfner, Markus Klose,
Xenia Lojewski, Julia Maurer, Andreas Meier,
Jacqueline Menzel, Isabelle Vogt

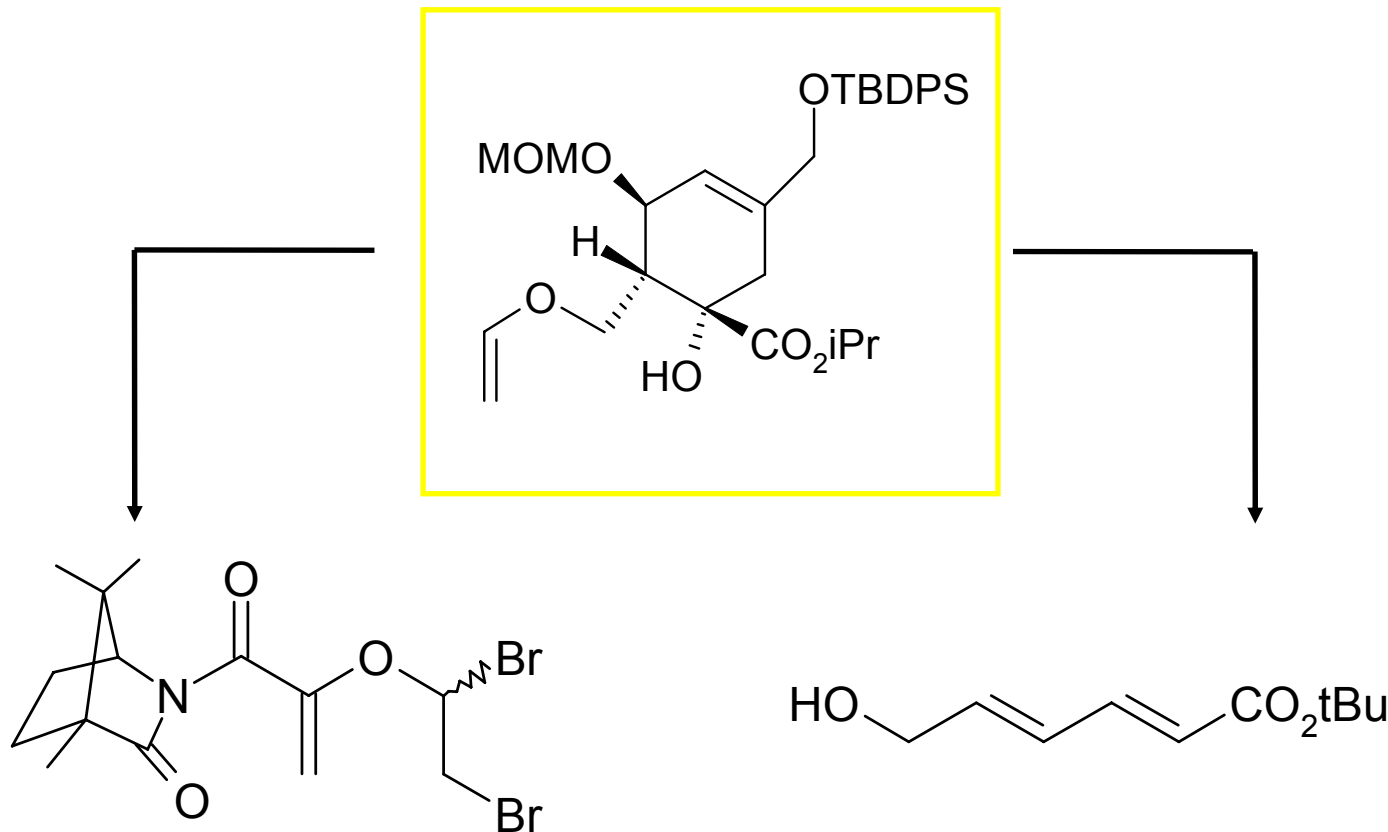


- Tetronolid ist Aglyconeinheit des Tetrocarcins A
- Tetrocarcin A isoliert aus Bakterien (Aktinomyzeten)

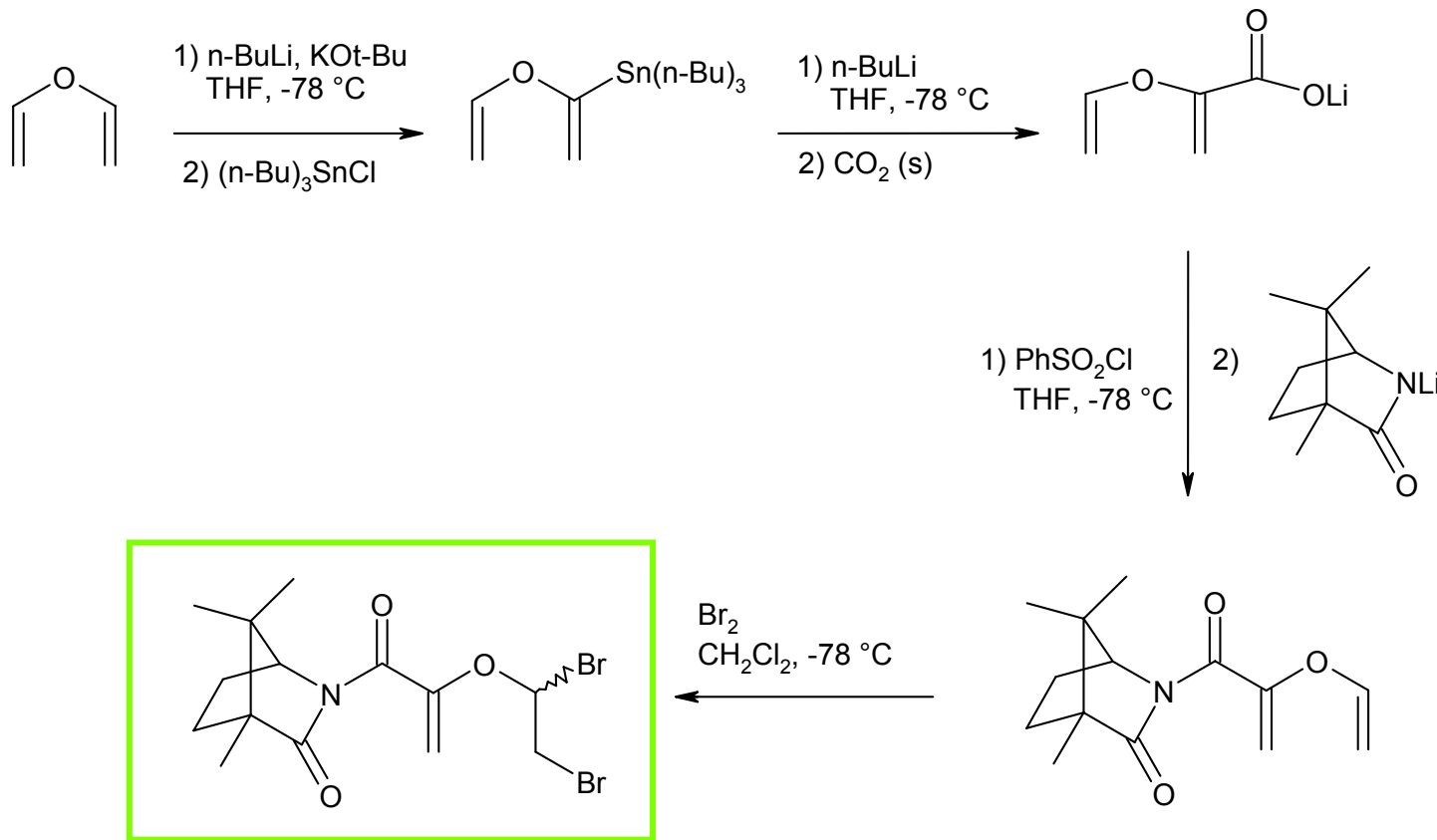


- Tetrocarkin A ist ein Antitumor Medikament, es wirkt gegen einige Sarkome, Melanome und Leukämie
- Enzym Caspase kann den programmierten Zelltod auslösen
- normalerweise wird es von Bcl-2 (einem Proto-Onkogen) vernichtet, so dass Zelle überlebt
- Tetrocarkin A greift Bcl-2 an, somit kann Caspase die Zelle über endoplasmatisches Reticulum bzw. Mitochondrien zerstören
- es wird weiter an Tetrocarkinen als Krebsmedikament geforscht

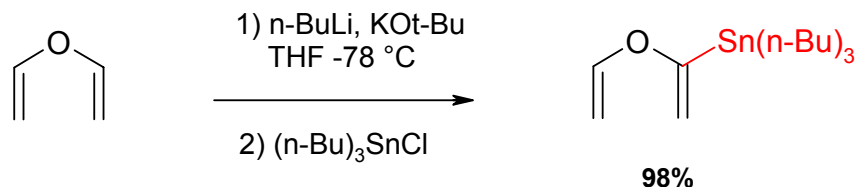
Darstellung des oberen Fragments



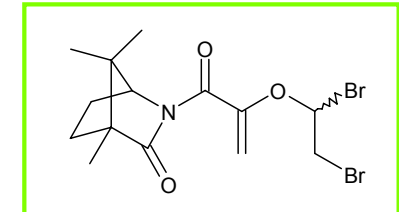
I.1. Synthese der Untereinheit 1



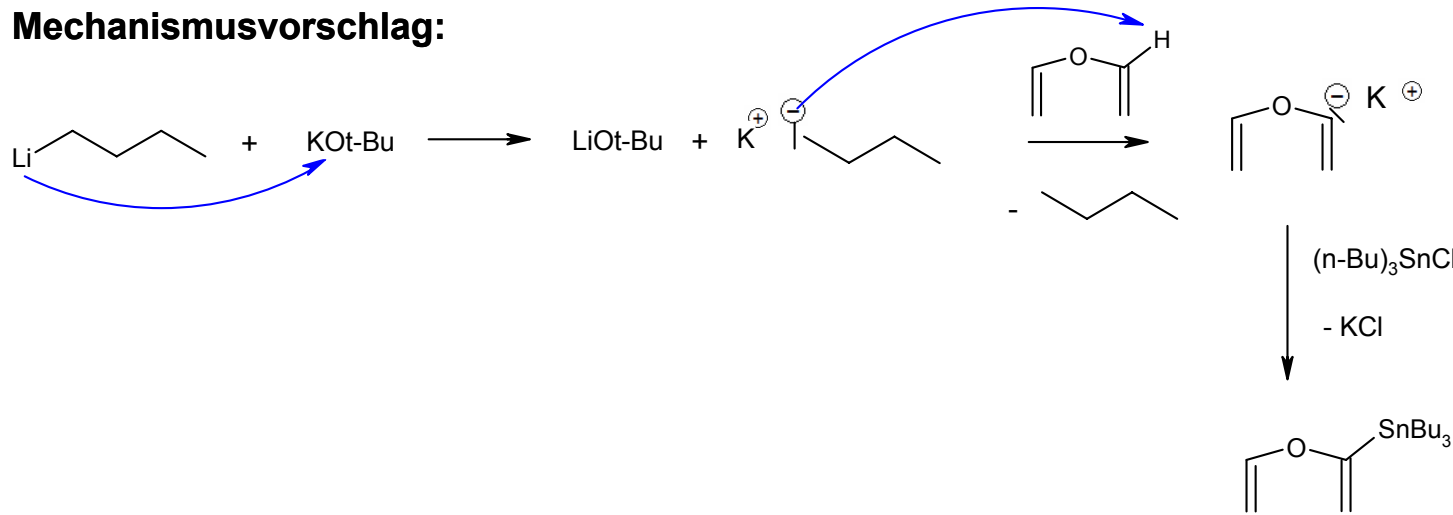
I.1.1. Herstellung des α -stannylierten Ethenyloxyethens



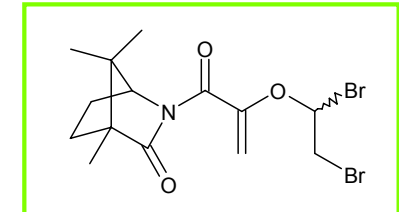
KOt-Bu / n-BuLi = Schlosser-Base (LICKOR)



Mechanismusvorschlag:



Basenstärken



hexameric LiC_4H_9
("LIC")



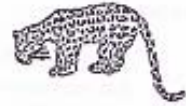
$\text{LiC}_4\text{H}_9/(\text{CH}_2\text{N}(\text{CH}_3)_2)_2$
("LICMEDA")



$\text{NaC}_5\text{H}_{11}$
("NAC")



KC_4H_9
("KC")



$\text{KCH}_2\text{Si}(\text{CH}_3)_3$
("KQ")



$\text{LiC}_4\text{H}_9/\text{NaOC}(\text{CH}_3)_3$
("LICNAOR")



$\text{LiC}_4\text{H}_9/\text{KOC}(\text{CH}_3)_3$
("LICKOR")

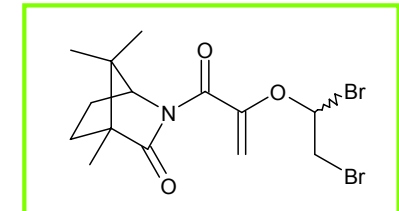
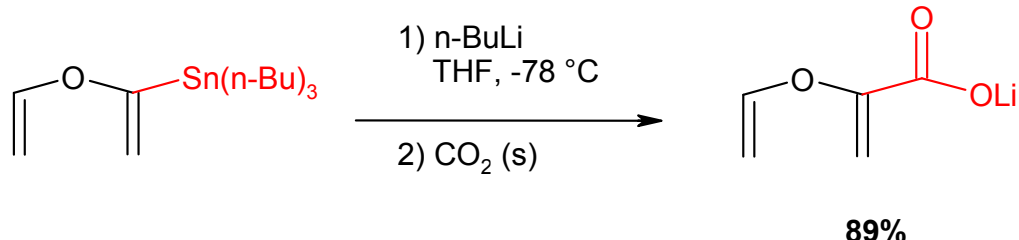


$\text{NaC}_5\text{H}_{11}/\text{KOC}(\text{CH}_3)_3$
("NACKOR")

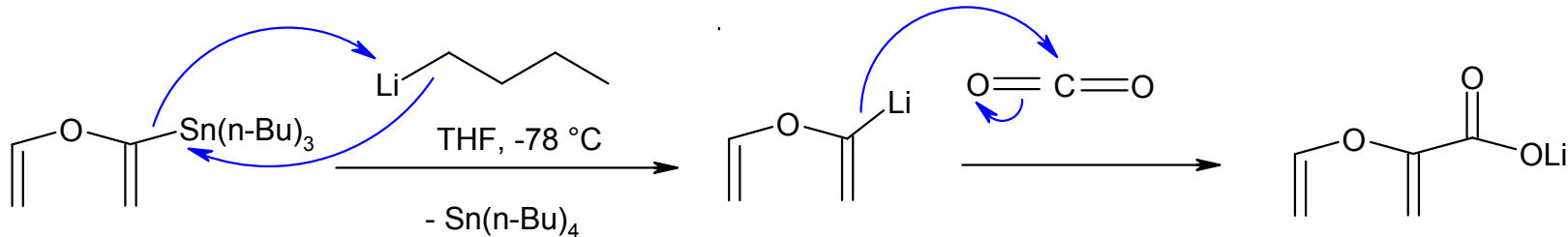


$\text{KC}_6\text{H}_5/\text{KOC}(\text{CH}_3)_3$
("KACKOR")

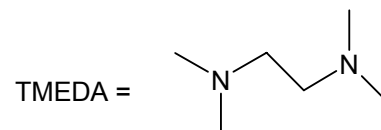
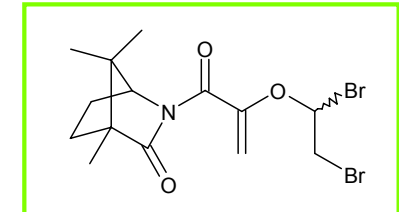
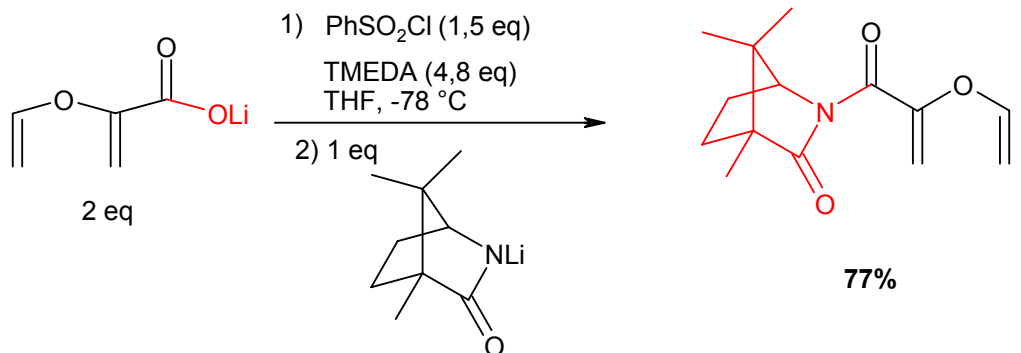
I.1.2. Herstellung des Lithium-Carboxylats



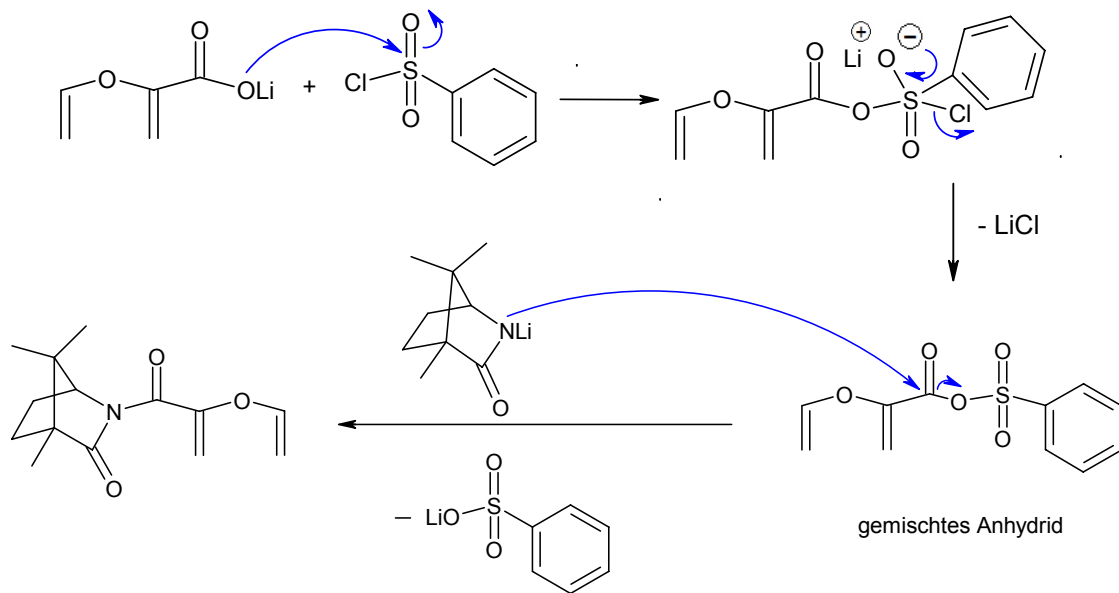
Mechanismusvorschlag:



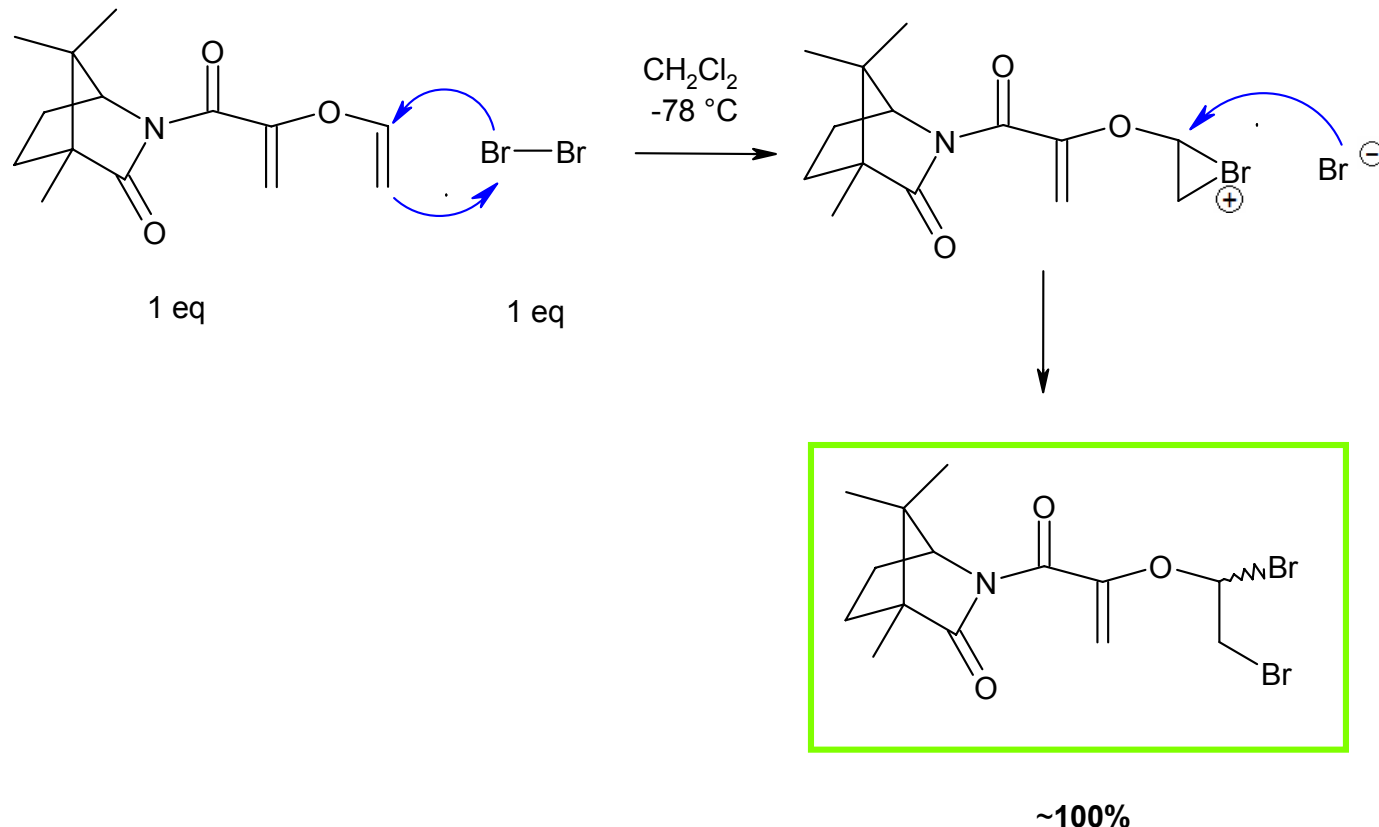
I.1.3. Einführung des Lactamderivats



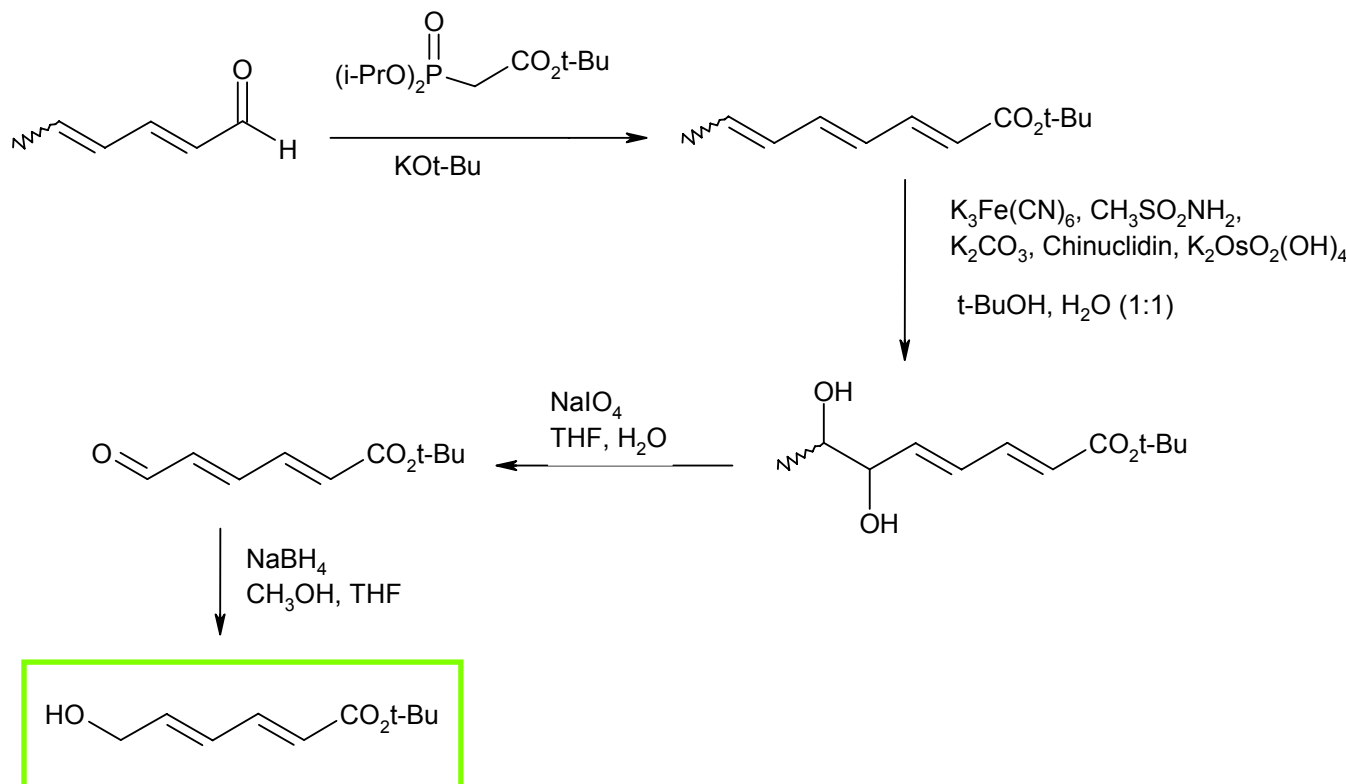
Mechanismusvorschlag:



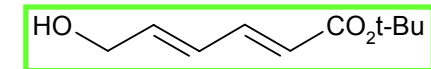
I.1.4. Bromierung der Doppelbindung



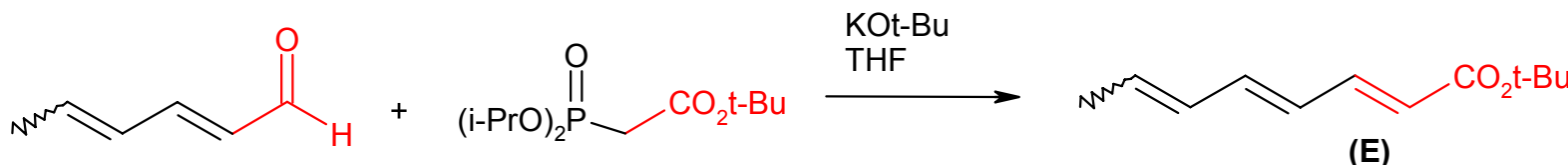
I.2. Synthese der Untereinheit 2



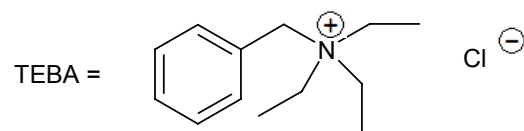
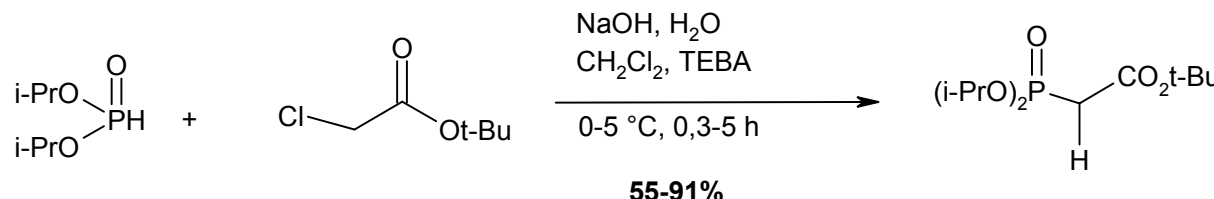
I.2.1. Herstellung des Triens

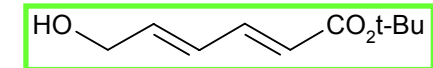


(Horner-Wadsworth-Emmons-Reaktion)

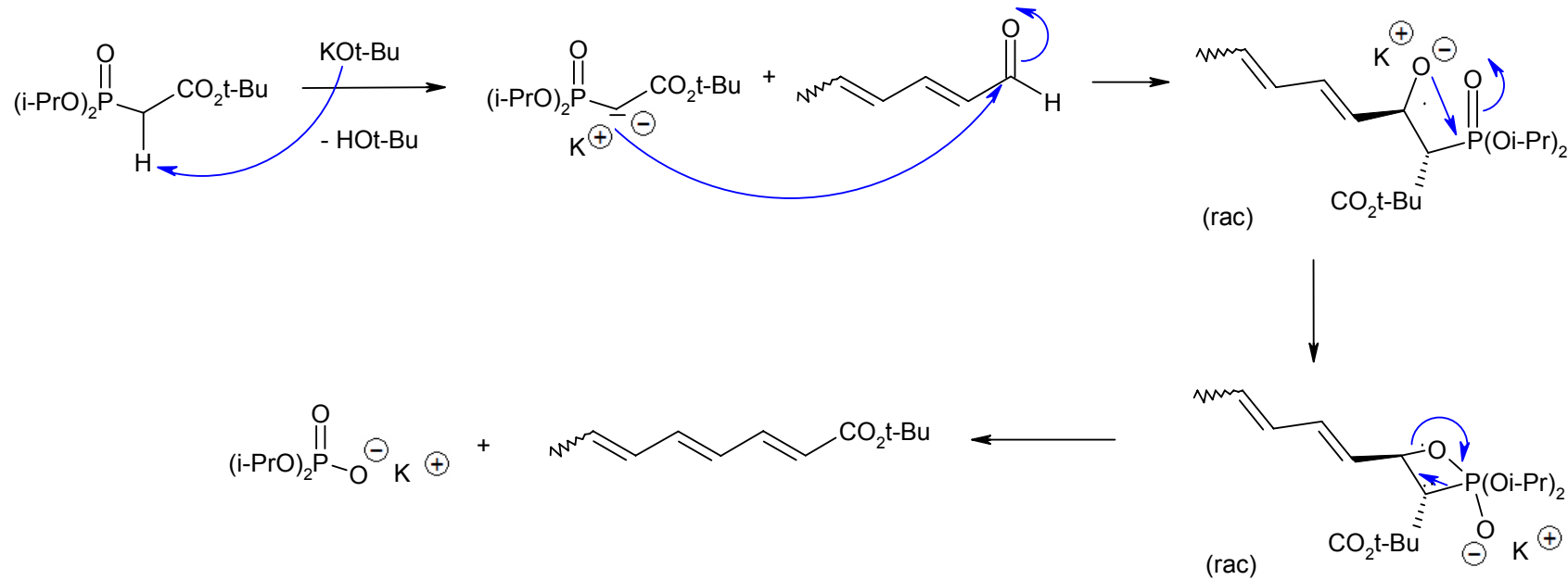


Herstellung des Phosphonsäurediisopropylesters über Phasentransferkatalyse:

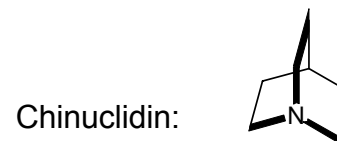
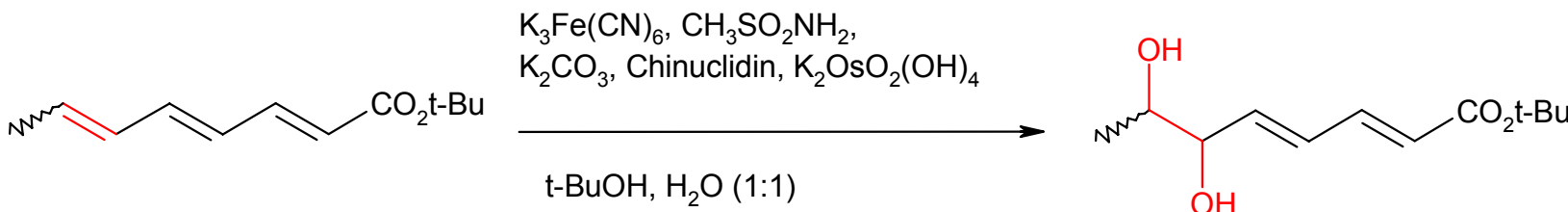




Mechanismusvorschlag:

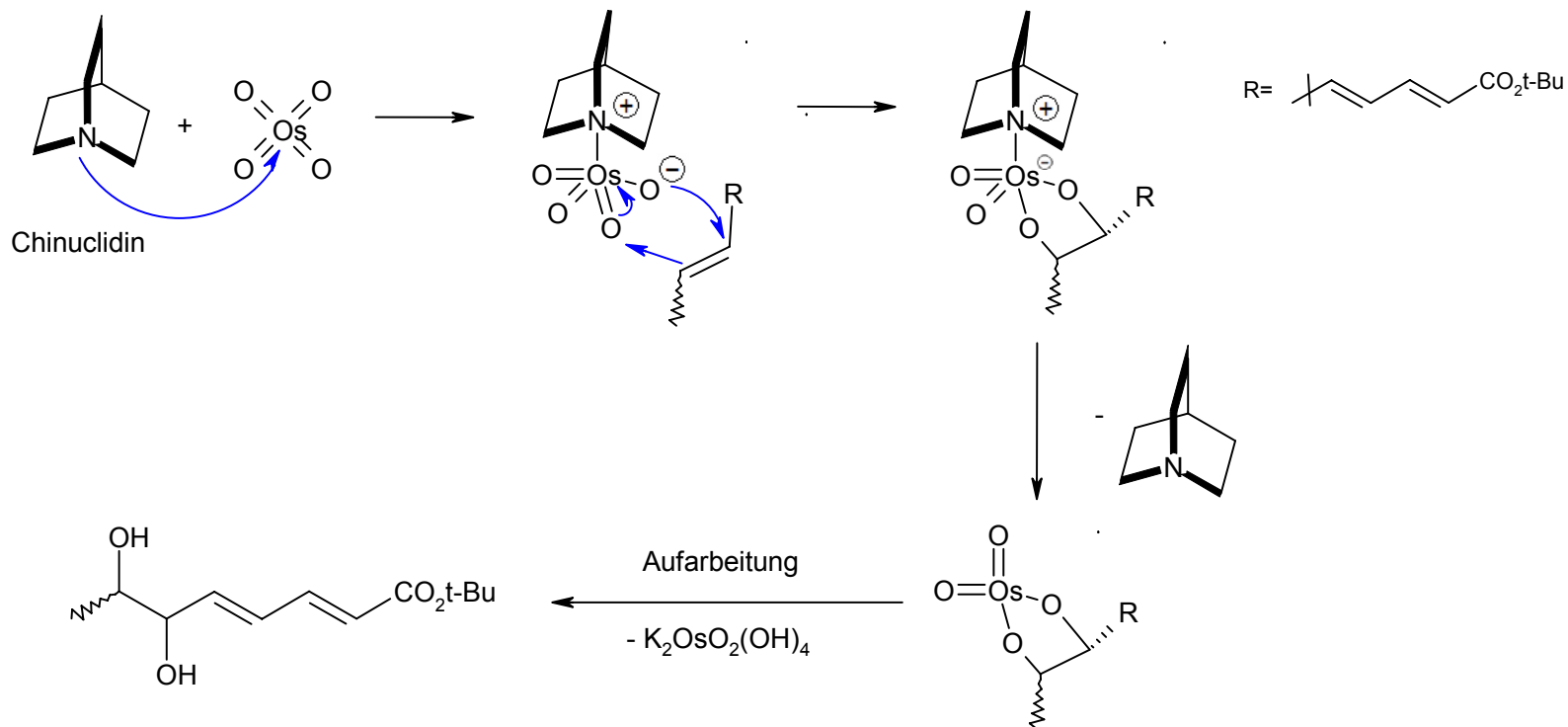


I.2.2. Sharpless- Dihydroxylierung

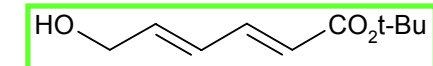


- Einsatz der Osmium(VI)-Spezies ($\text{K}_2\text{OsO}_2(\text{OH})_4$) erfolgt katalytisch, wird durch Kaliumhexacyanoferrat(III) zu Osmiumtetroxid(VIII) oxidiert
- ermöglicht eine cis-vicinale Dihydroxylierung an der Doppelbindung

Mechanismusvorschlag:

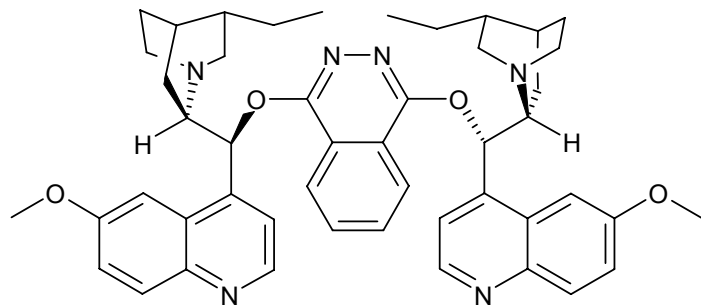


Sharpless- Dihydroxylierung - allgemein

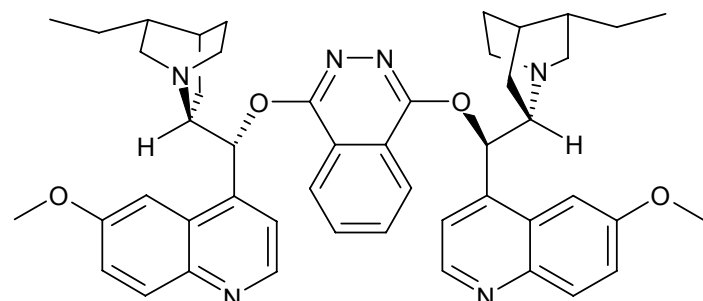


- Sharpless- Dihydroxylierung = Asymmetrische Dihydroxylierung (AD)
- ermöglicht die enantioselektive Darstellung von 1,2-Diolen
- Enantioselektivität wird durch Zugabe von chiralen Liganden z.B. $(DHQD)_2PHAL$, $(DHQ)_2PHAL$ erreicht
- Ligand beschleunigt die Reaktion und trägt die chirale Information
- Kontrolle der Stereoselektivität über zugesetztes Reagenz, wird als **Additivkontrolle der Stereoselektivität** bezeichnet

Beispiele für chirale Liganden:

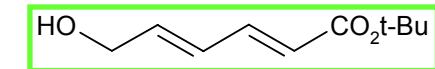
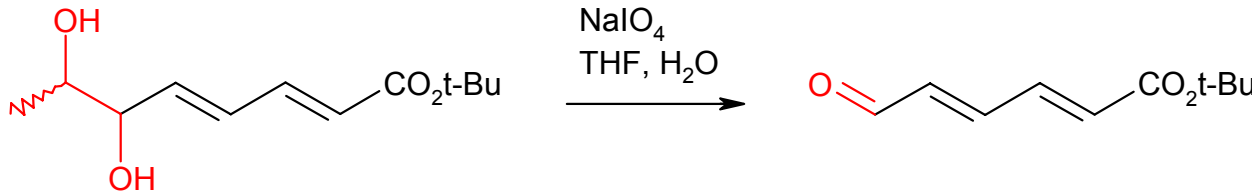


$(DHQD)_2PHAL$

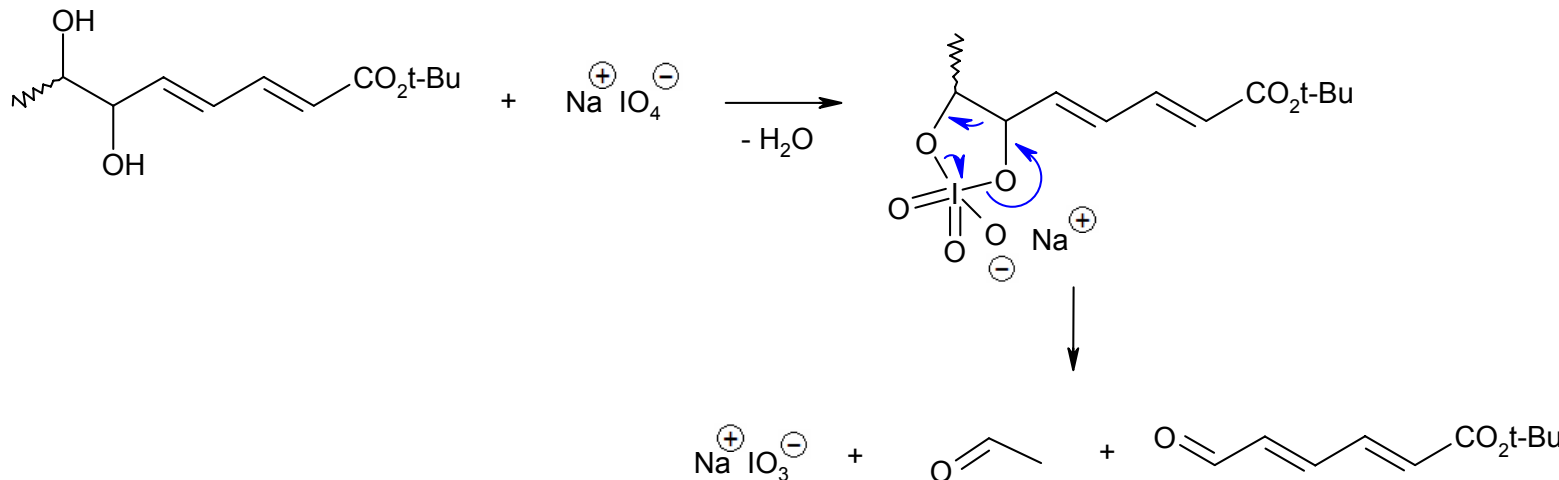


$(DHQ)_2PHAL$

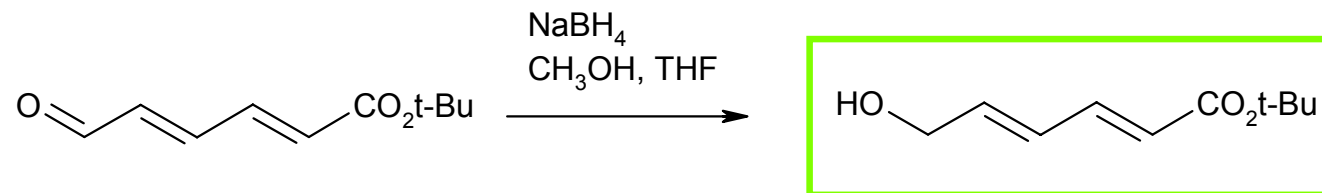
I.2.3. Oxidative Spaltung des vicinalen Diols



Mechanismusvorschlag:

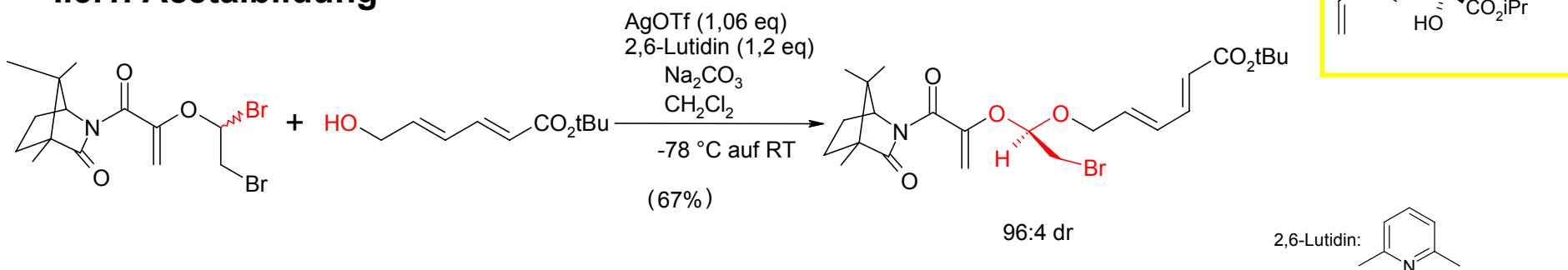


I.2.4. Reduktion mit Natriumborhydrid

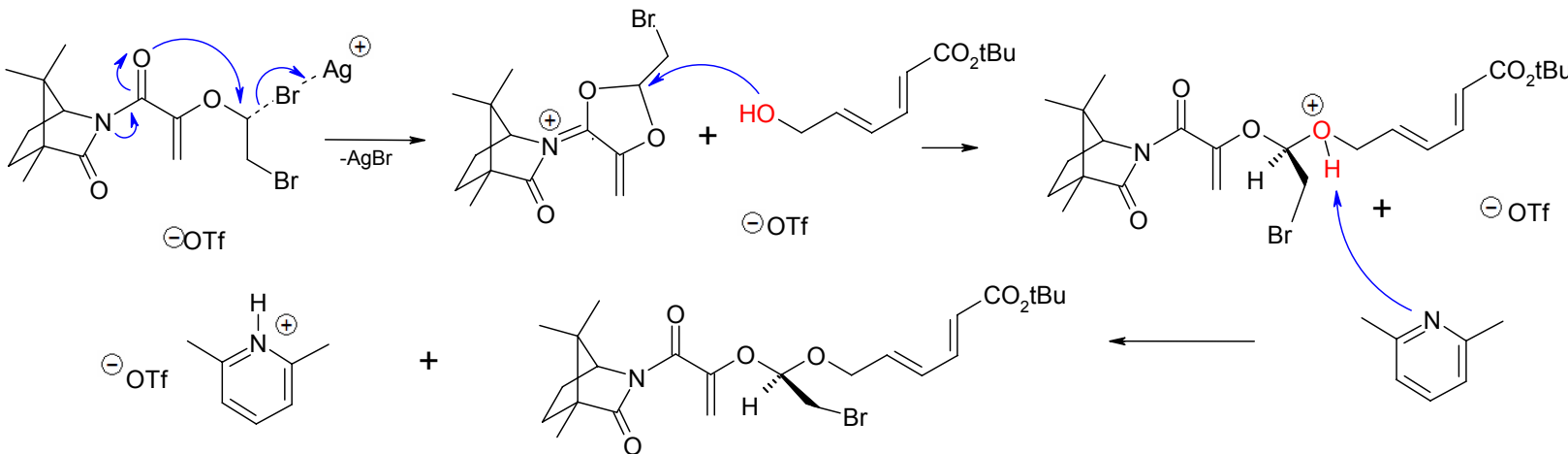


I.3. Zusammenfügen der Untereinheiten

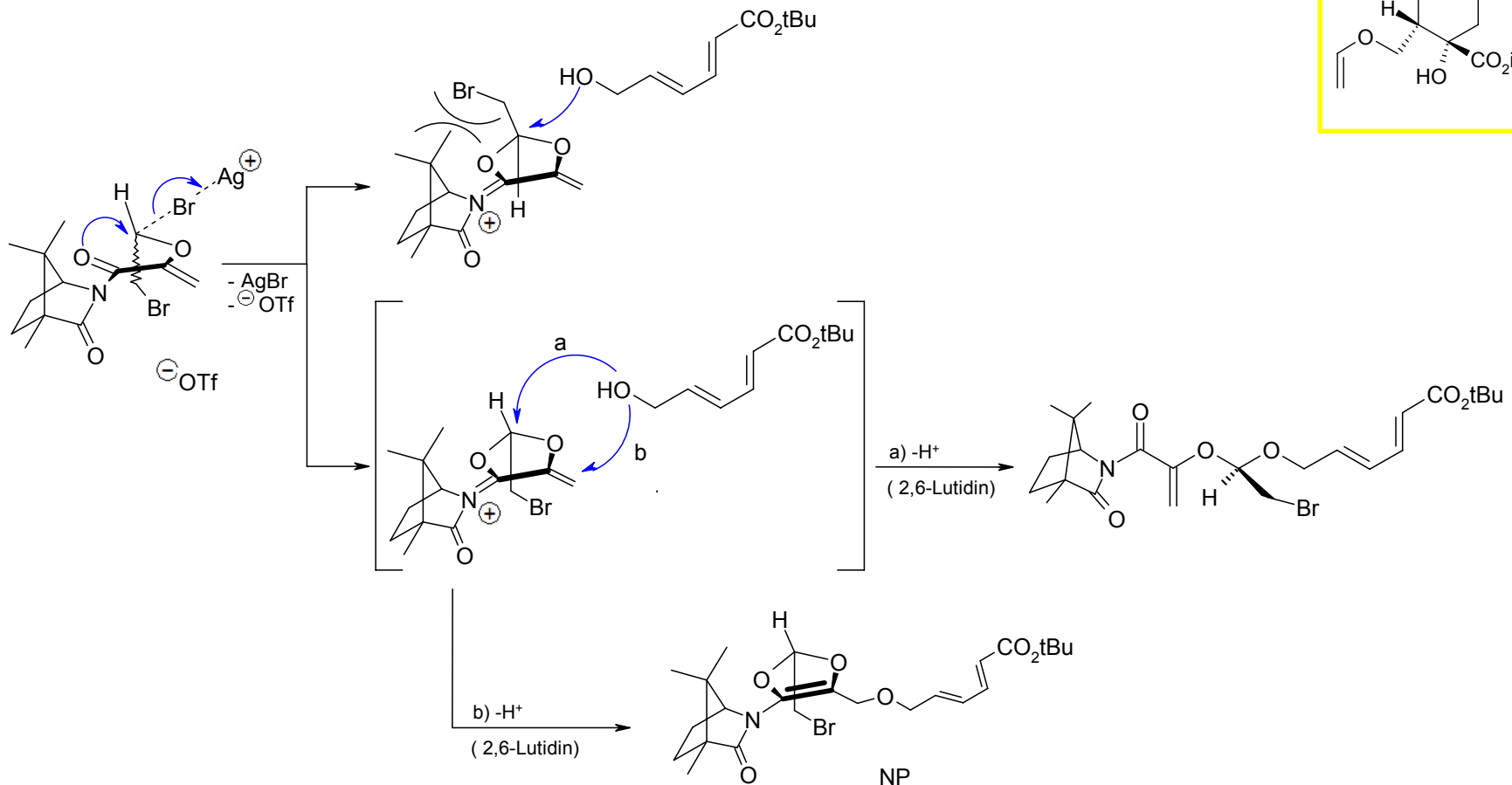
I.3.1. Acetalbildung



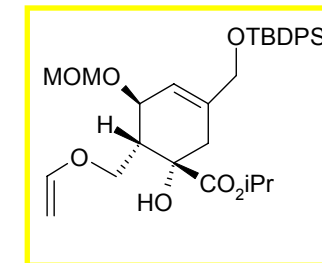
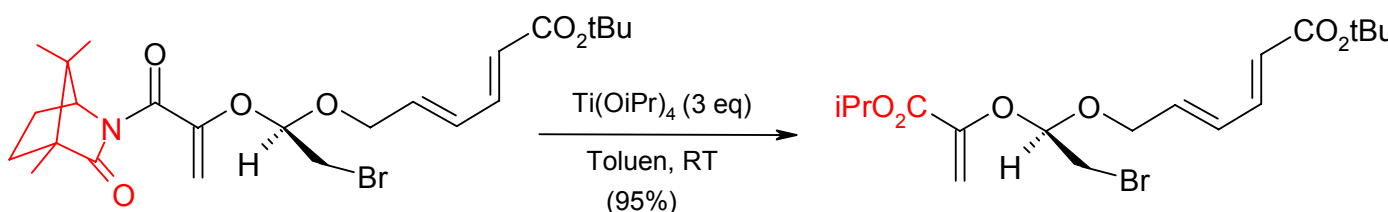
Mechanismusvorschlag:



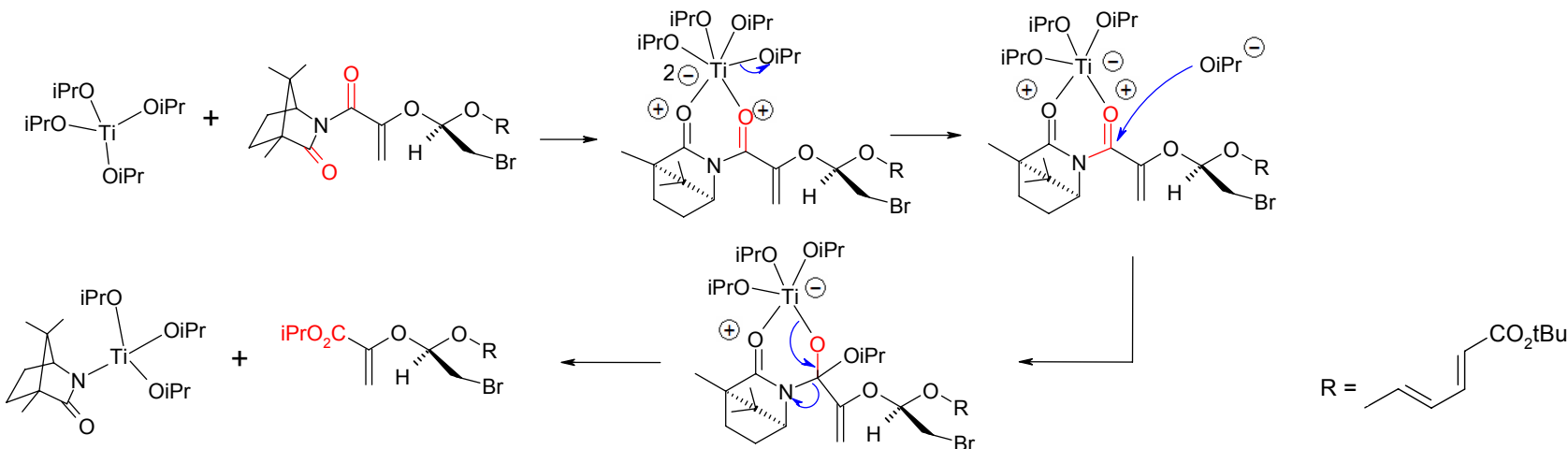
Stereochemistry:



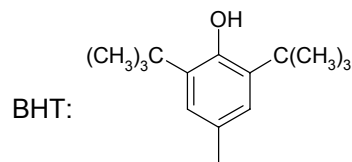
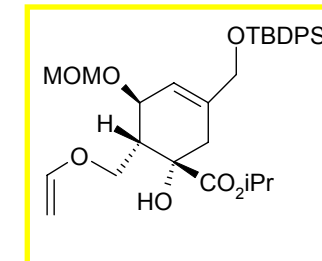
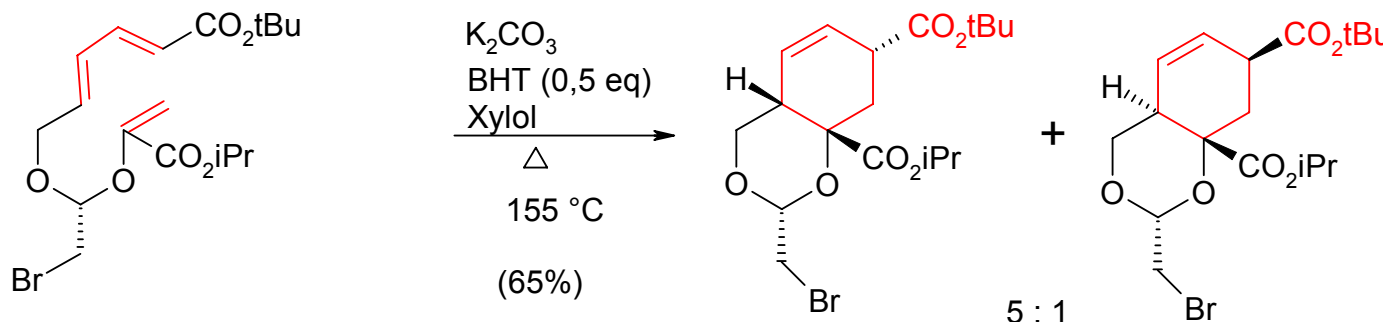
I.3.2. Ligandenaustausch



Mechanismusvorschlag:

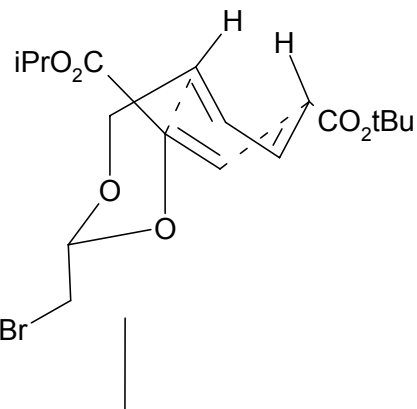


I.3.3. Intramolekulare Diels-Alder Reaktion

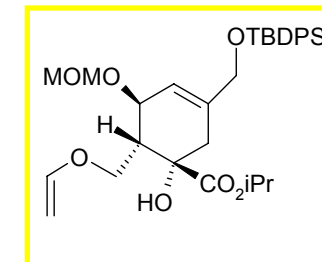
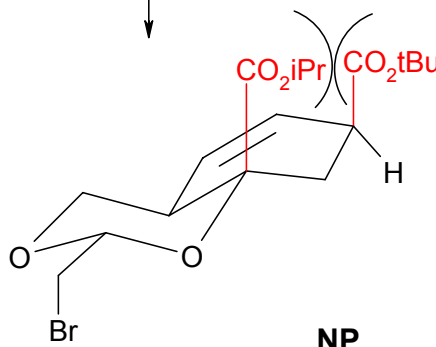
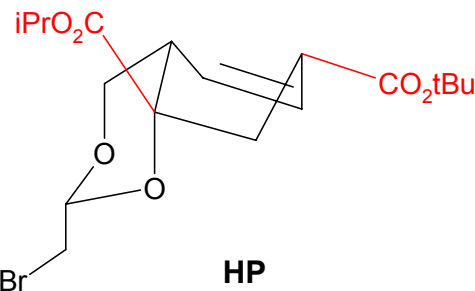
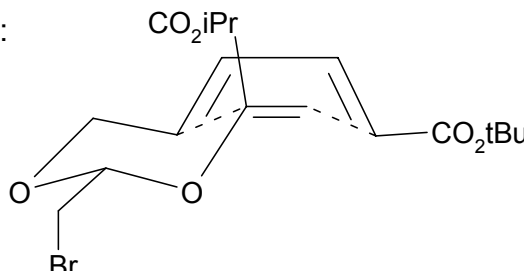


Stereochemistry:

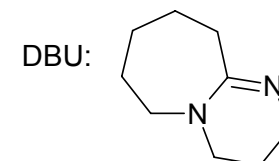
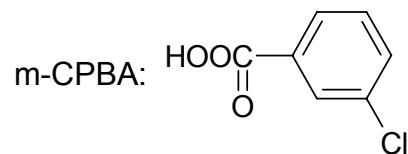
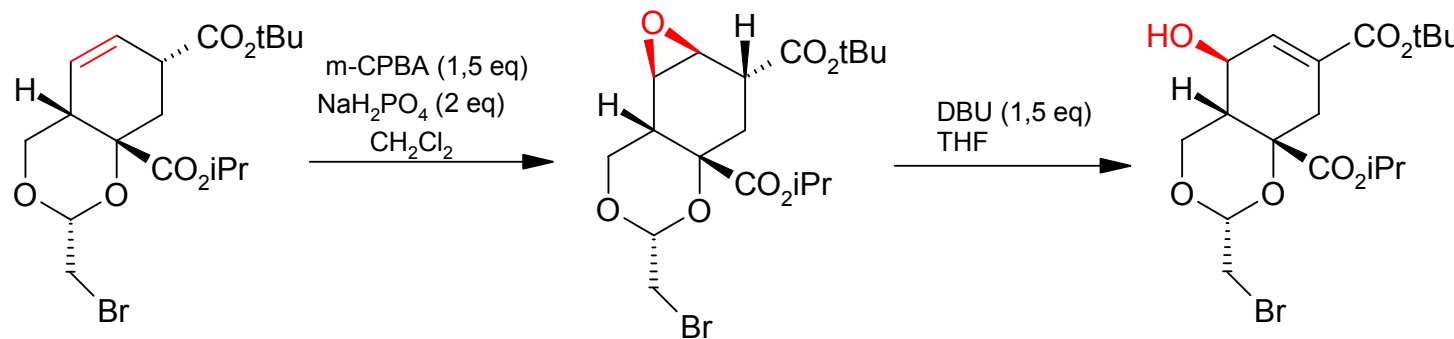
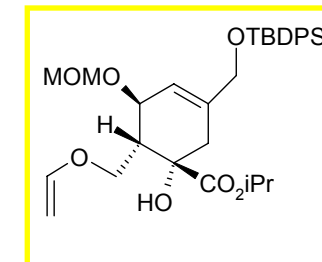
ÜZ:



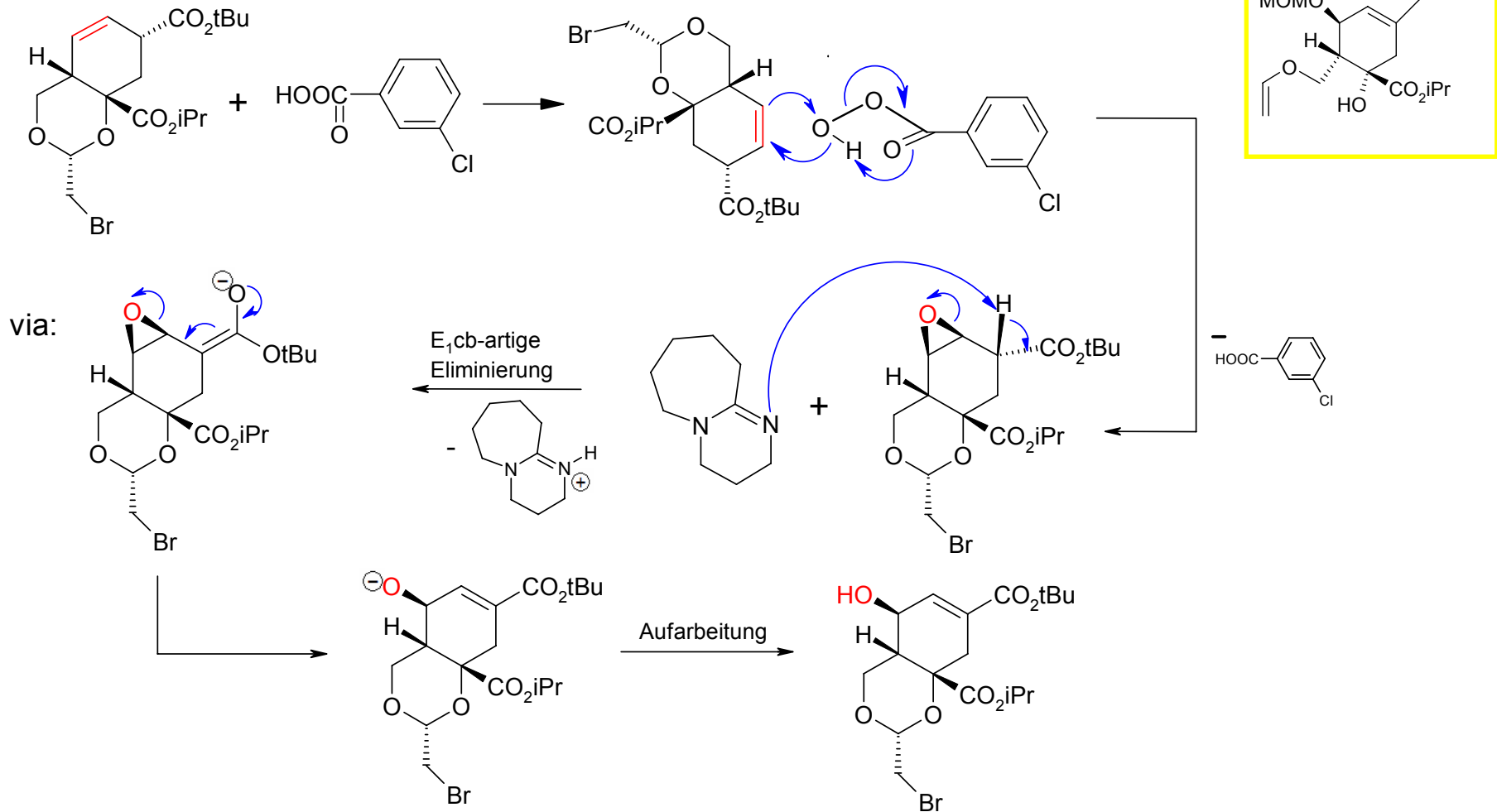
ÜZ:



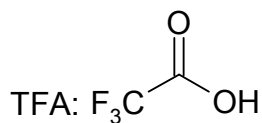
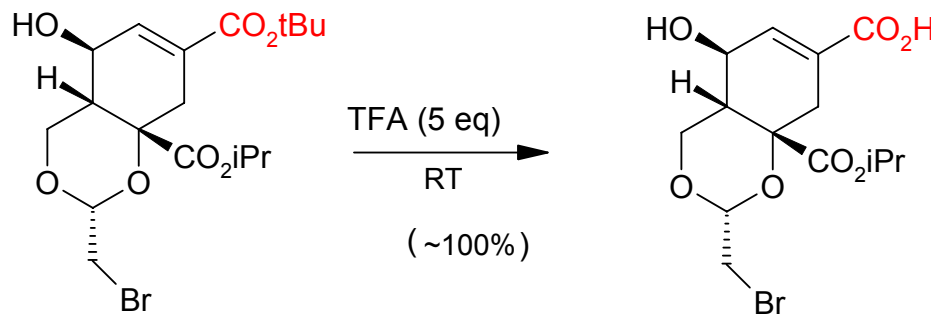
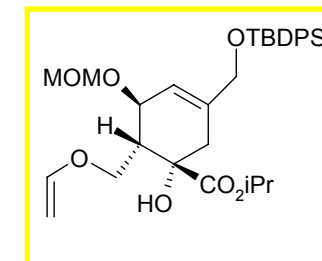
I.3.4. Epoxidierung und Eliminierung zum Alkohol



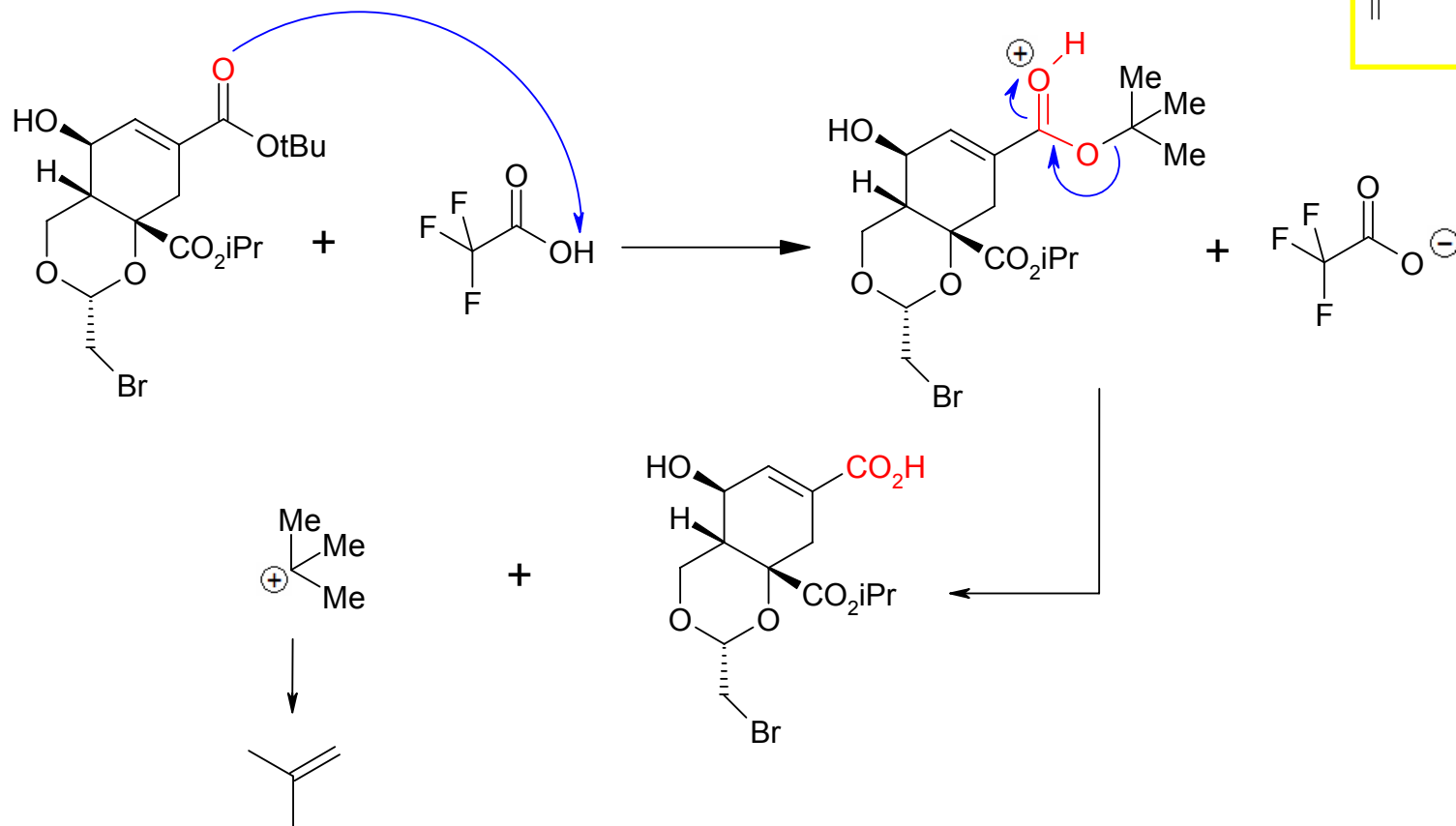
Mechanismusvorschlag:



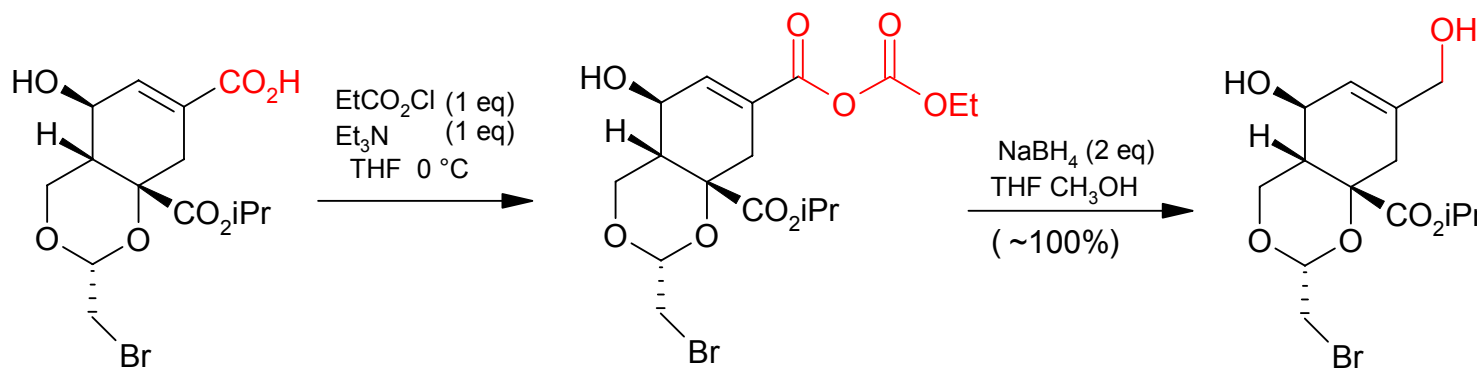
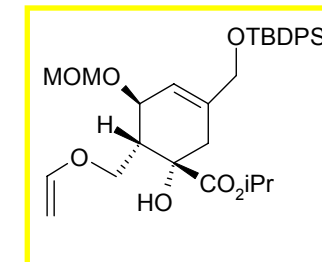
I.3.5. Verseifung:



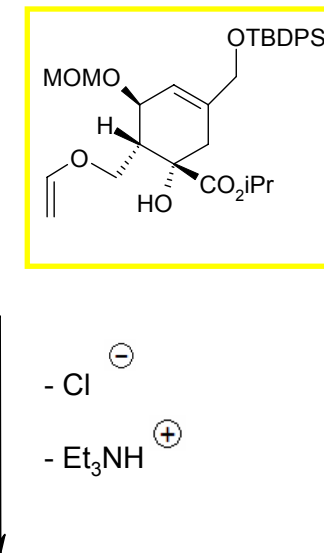
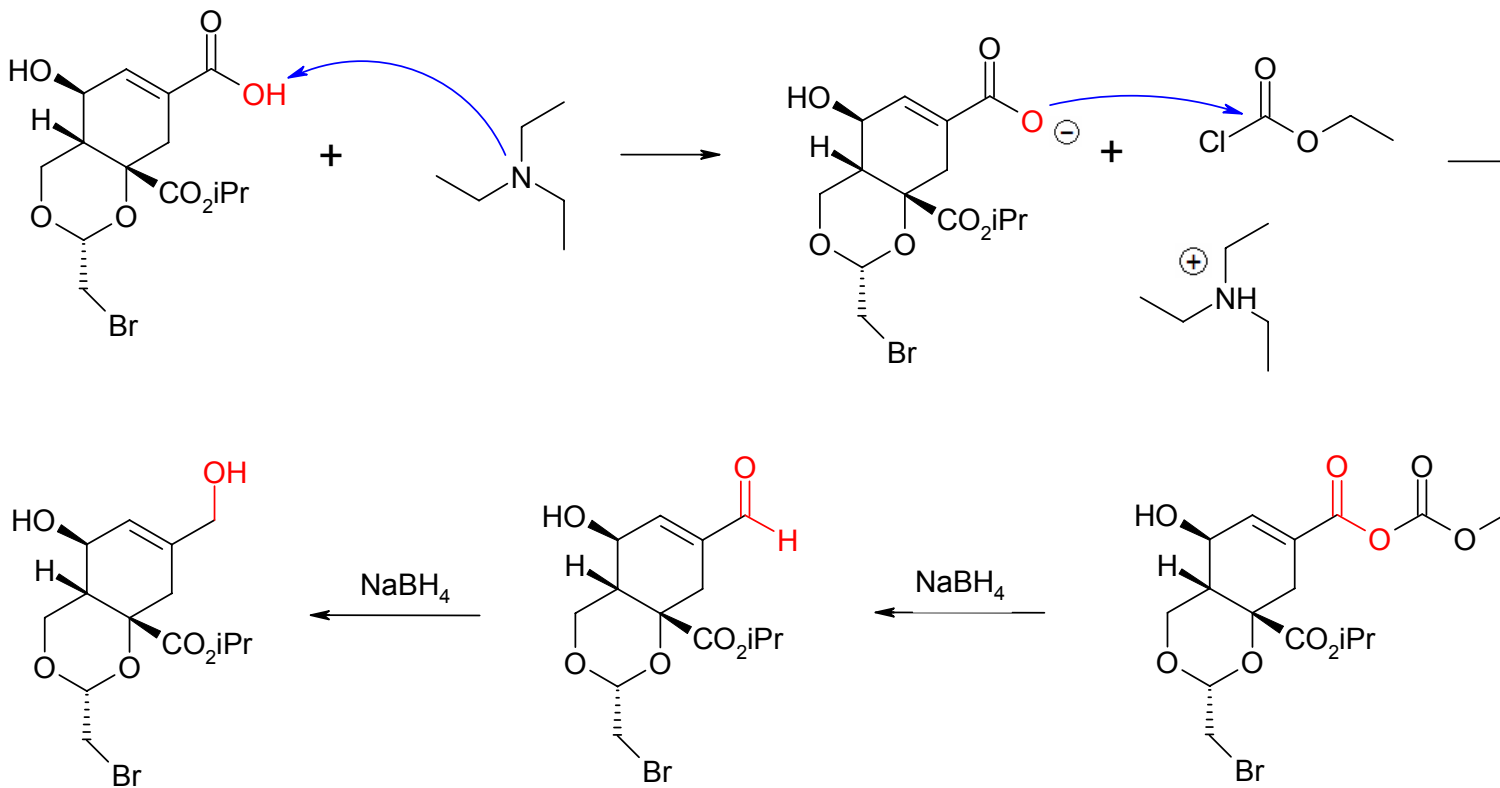
Mechanismusvorschlag:



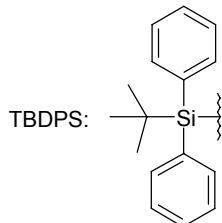
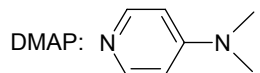
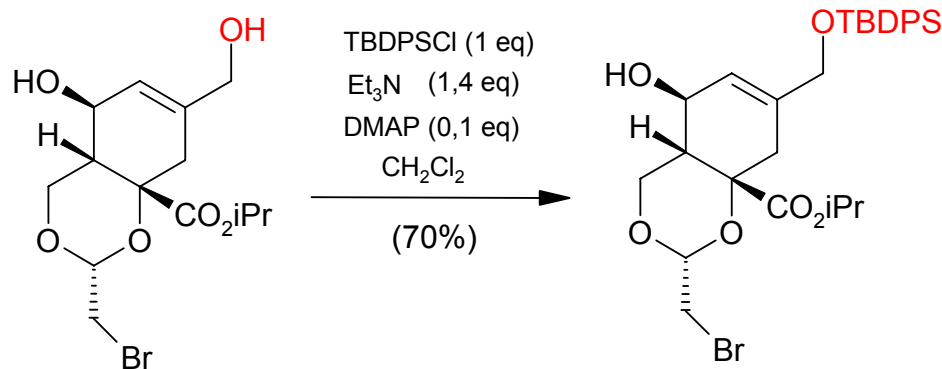
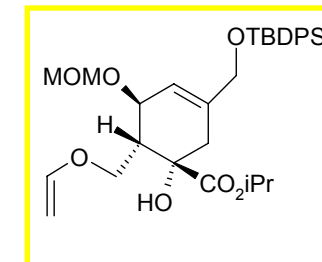
I.3.6. Bildung eines gemischten Anhydrids und anschließende Reduktion zum Alkohol



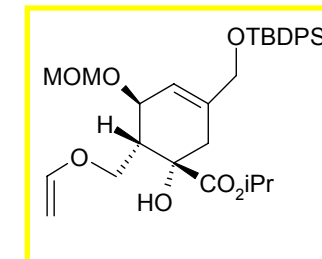
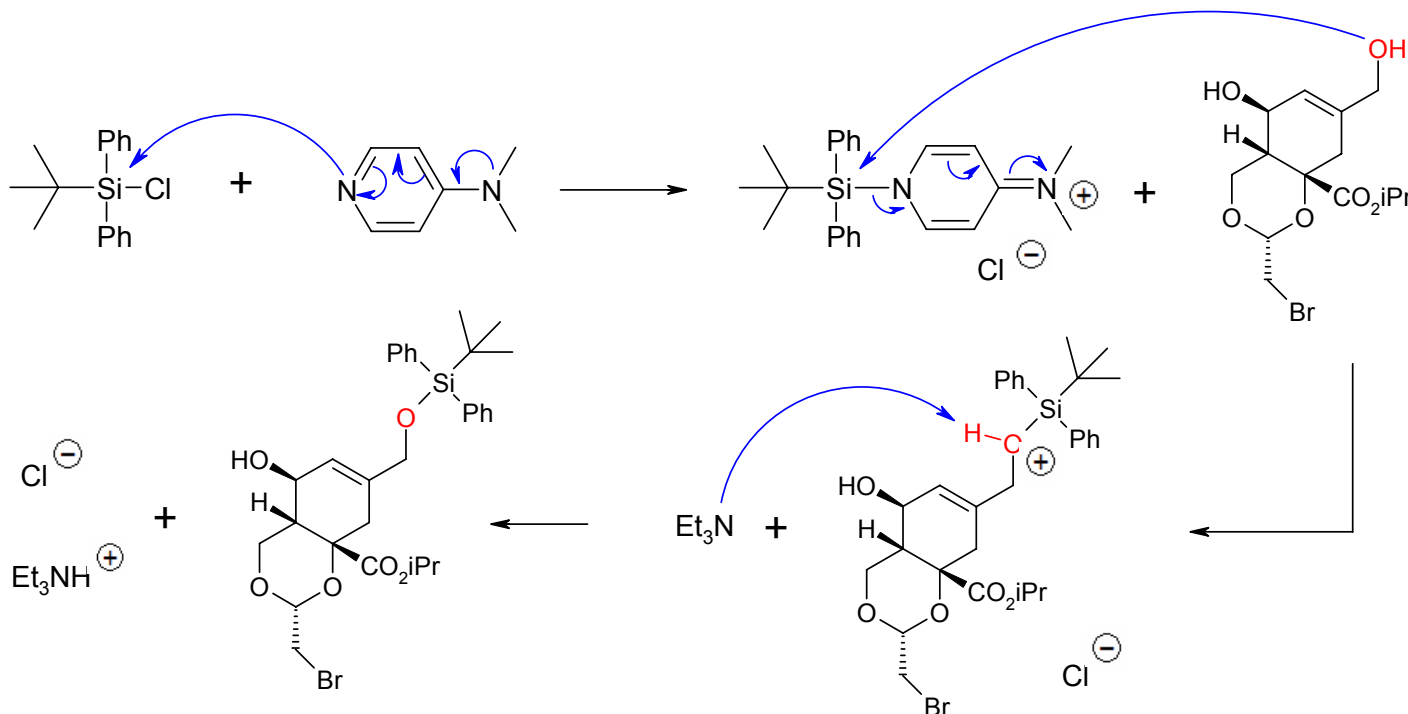
Mechanismusvorschlag:



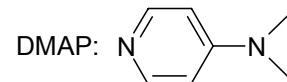
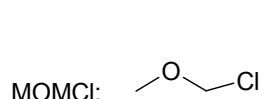
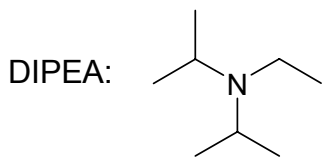
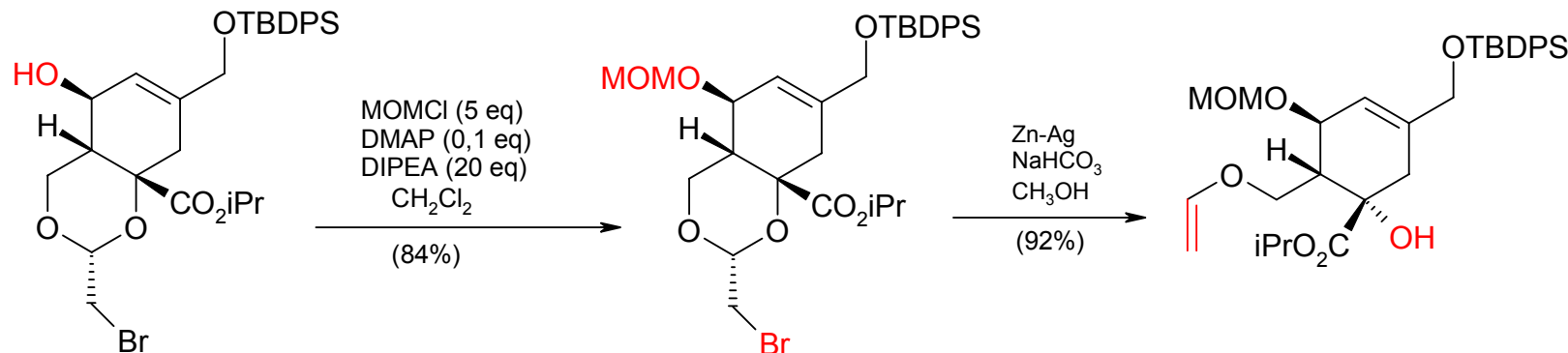
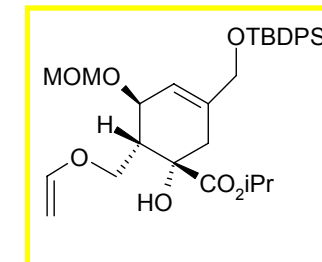
I.3.7. Einführung der Schutzgruppe



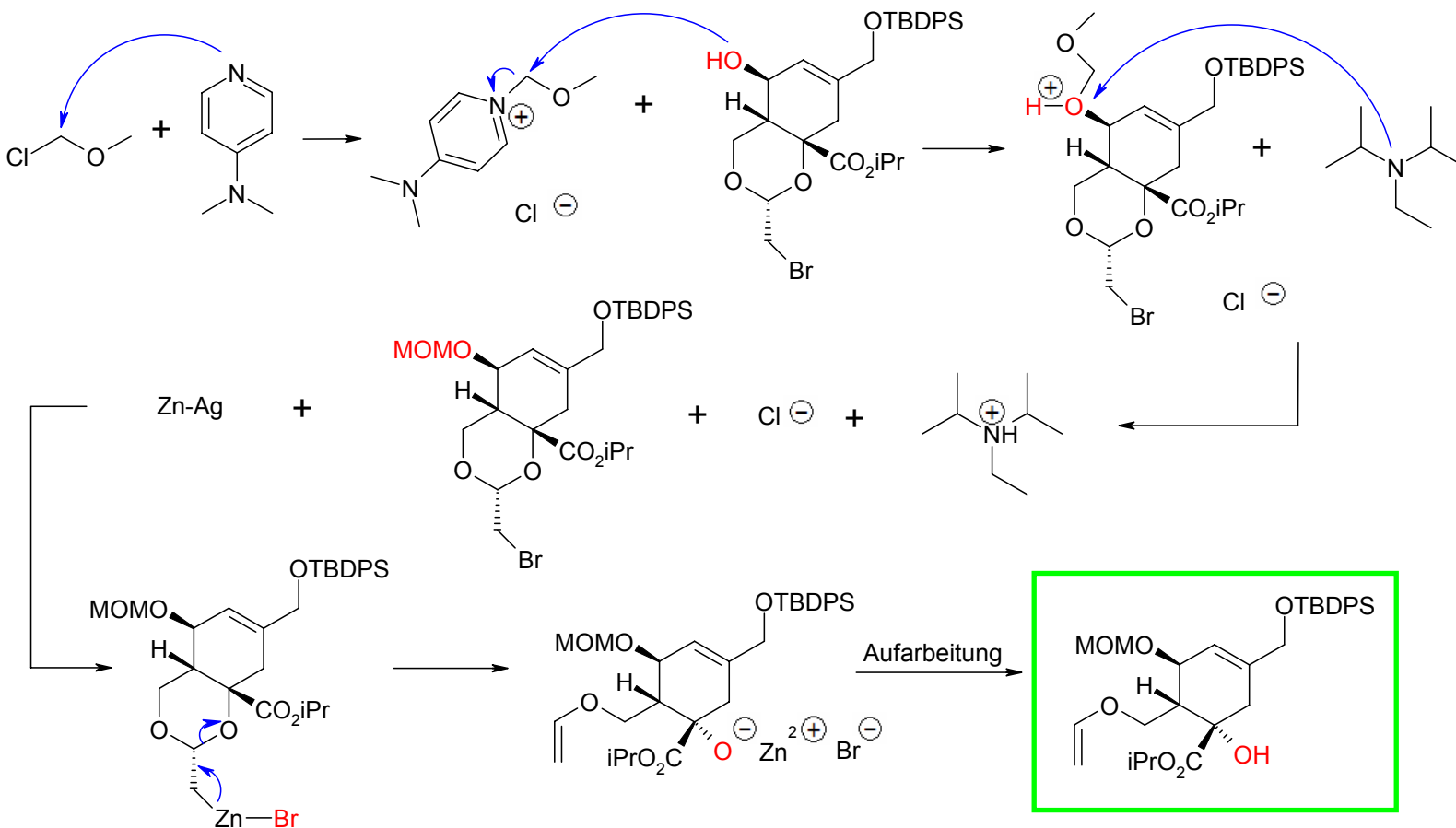
Mechanismusvorschlag:



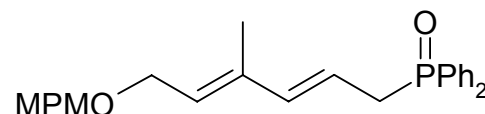
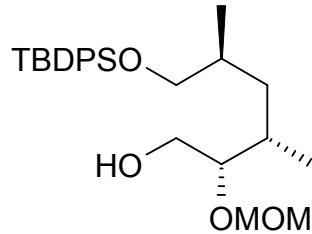
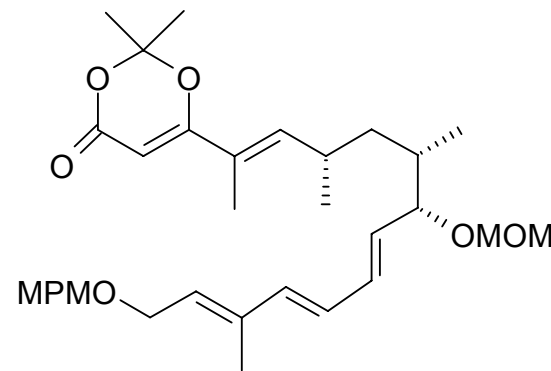
I.3.8. Einführung der Schutzgruppe MOM und Acetalspaltung



Mechanismusvorschlag:

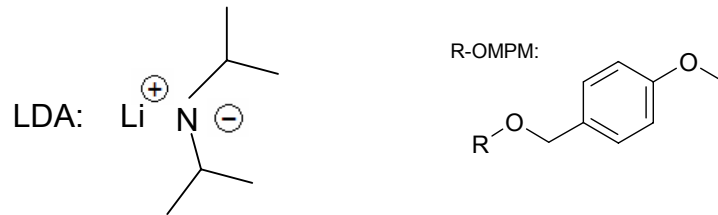
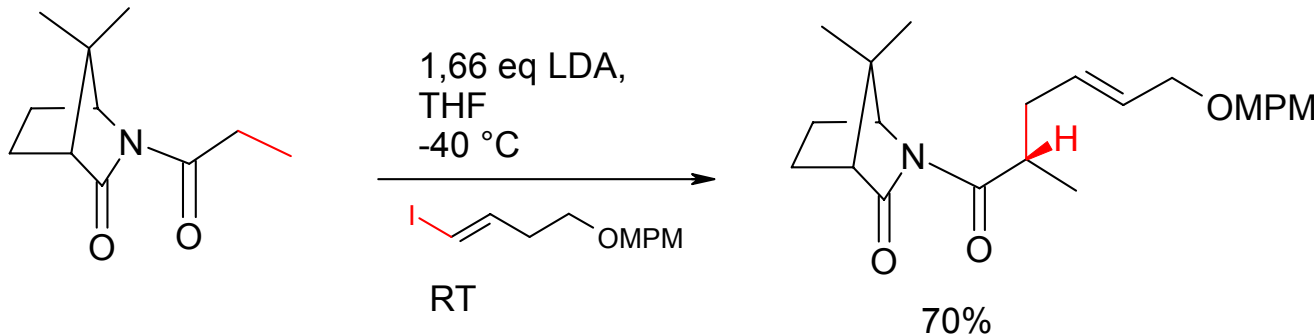
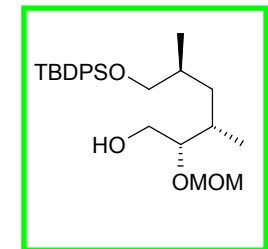


Darstellung des unteren Fragments

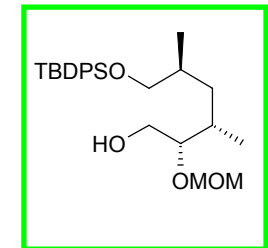


II.1. Synthese erstes Fragment

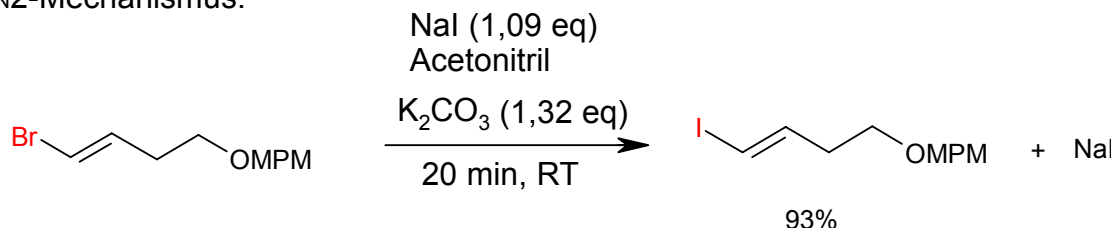
II.1.1. Diastereoselektive Alkylierung des Lithiumenolates



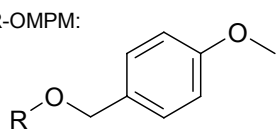
Herstellung des Alkylierungsreagenzes:



S_N2-Mechanismus:

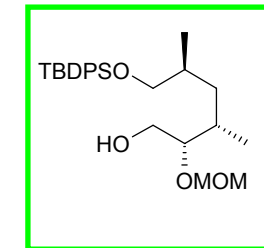
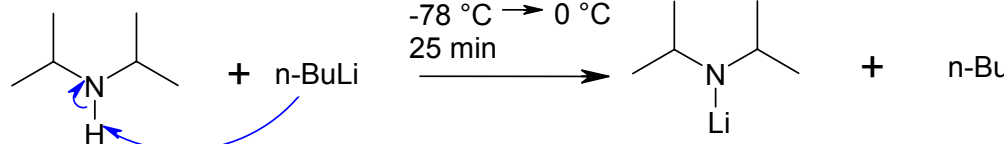


R-OMPM:

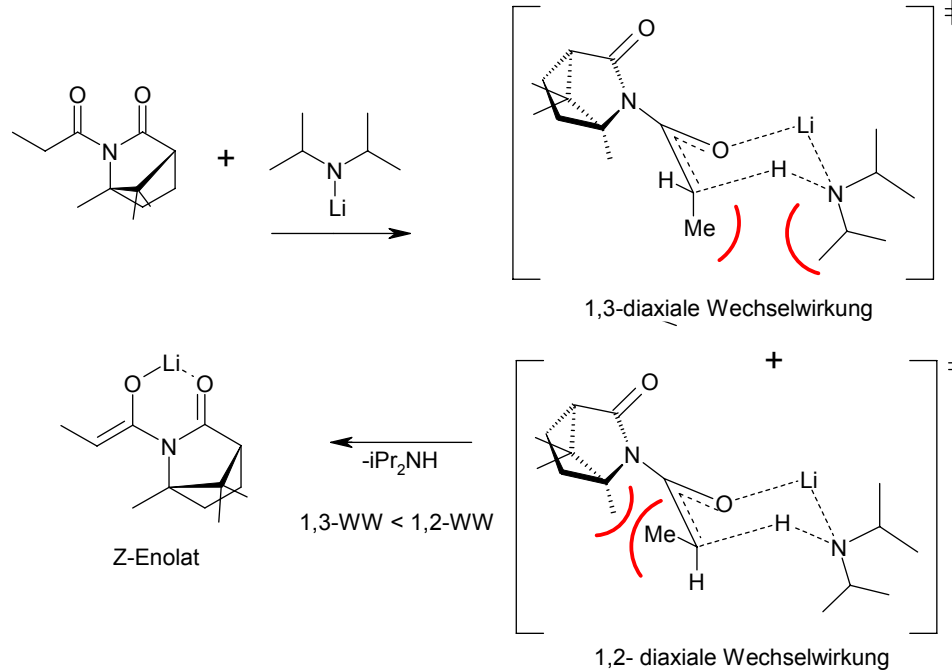


Mechanismus:

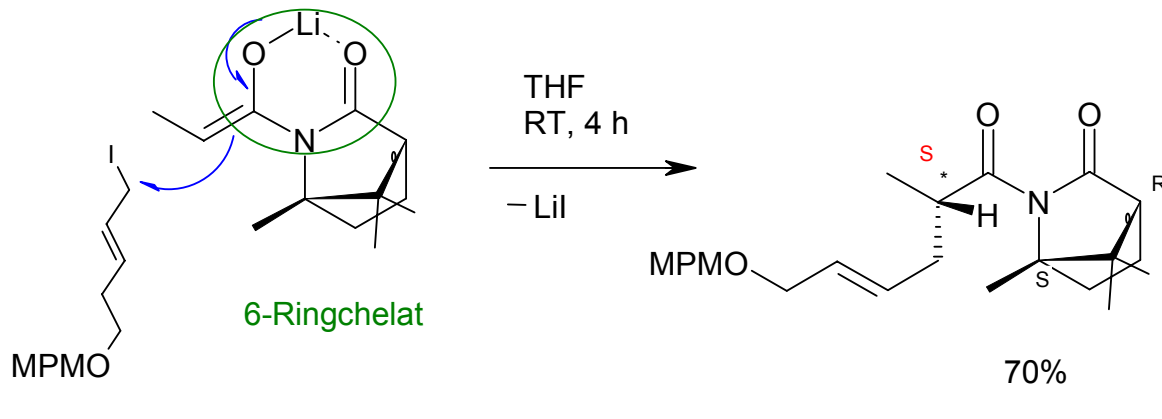
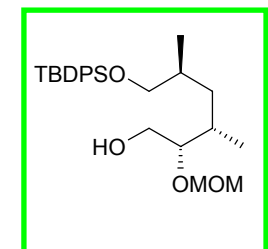
1. Bildung LDA



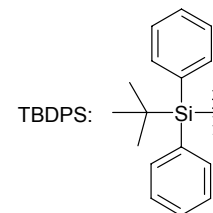
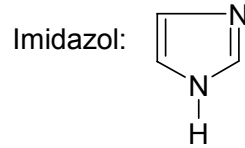
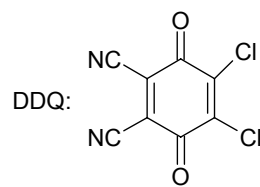
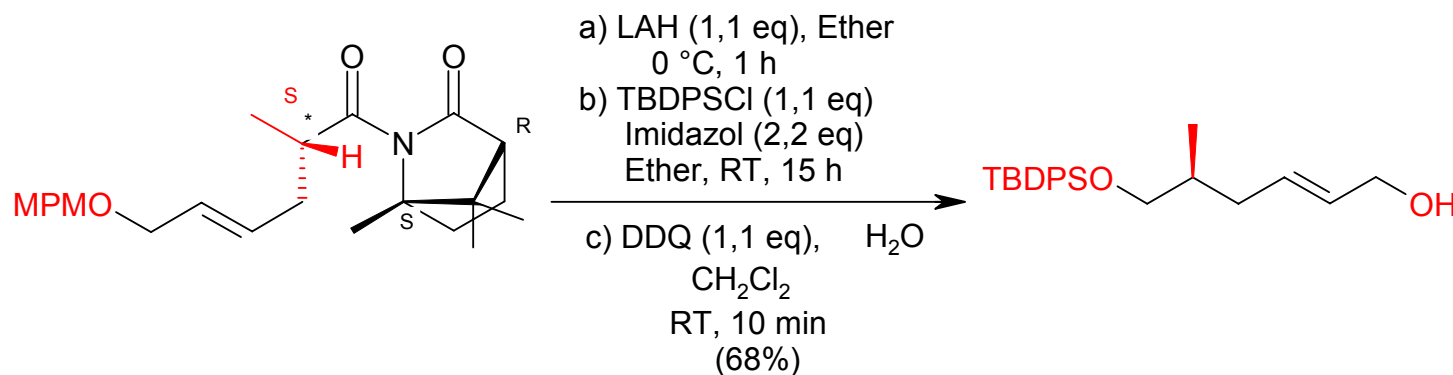
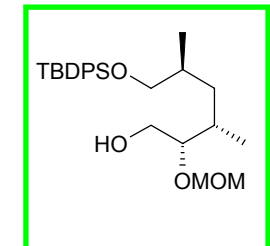
2. Z-Enolatbildung am Auxiliar



3. S_N2 Reaktion

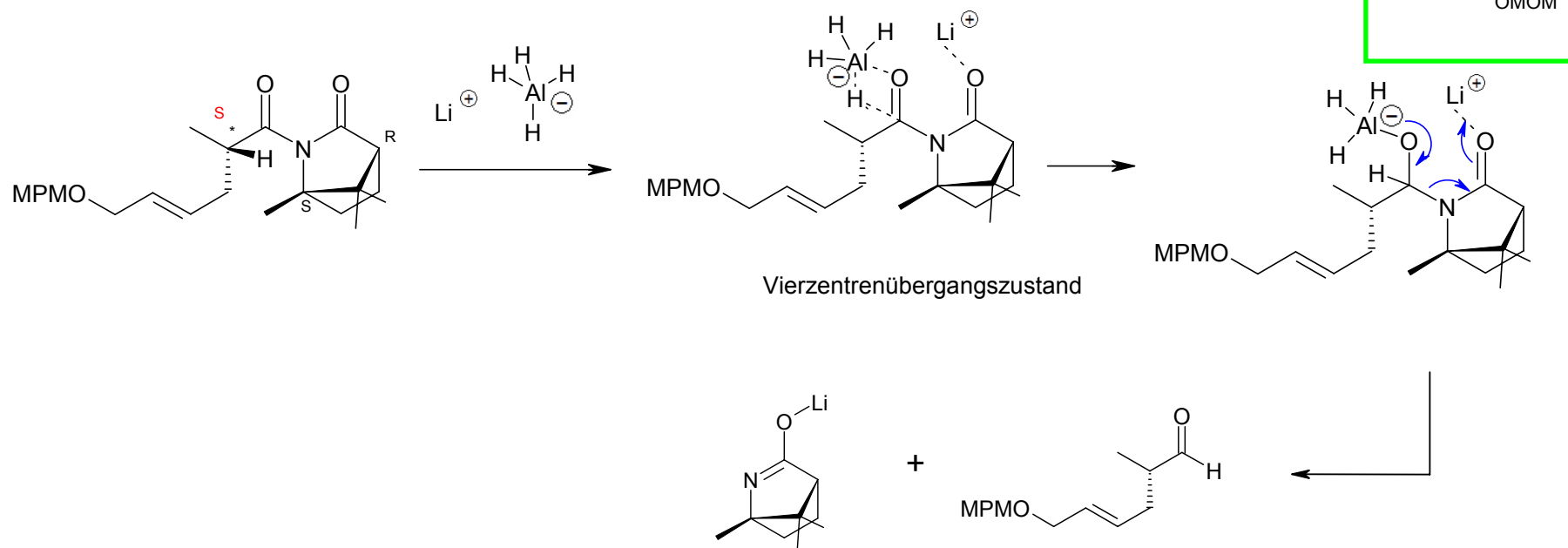


II.1.2. Syntheseschritte zum Alkohol unter Abspaltung vom Auxiliar

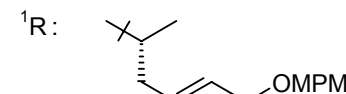
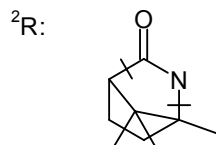
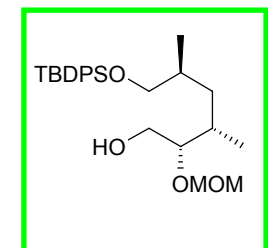
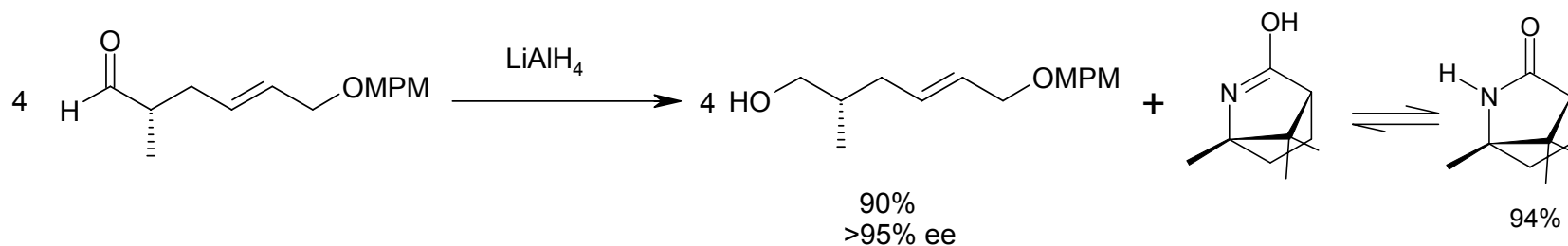


Mechanismusvorschlag

1. Spaltung zum Aldehyd:

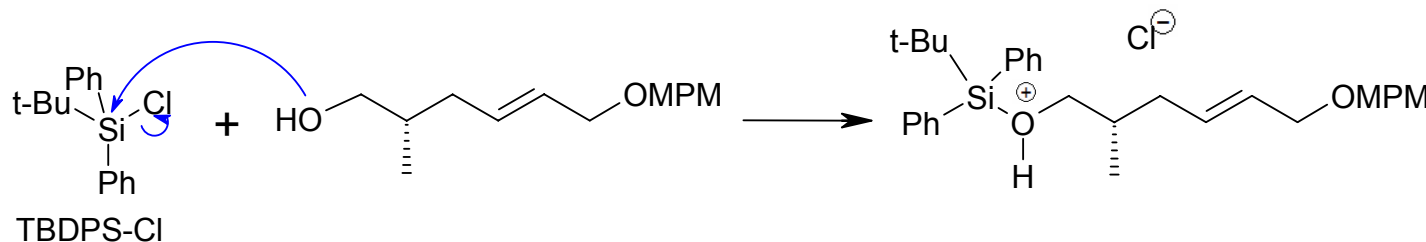
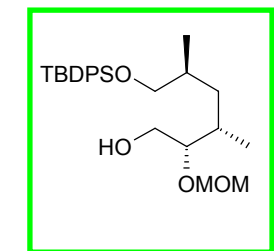


2. Reduktion mit LAH zum Alkohol:



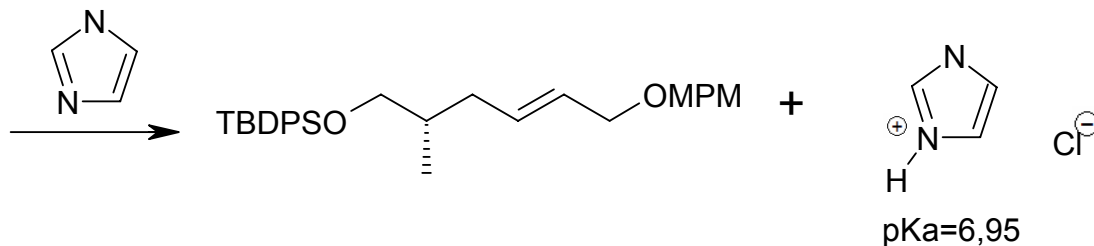
Einbau der TBDPS-Schutzgruppe, Mechanismusvorschlag:

nucleophiler Angriff:

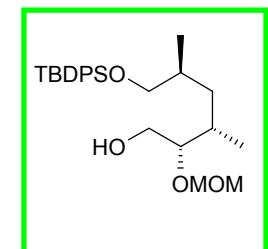
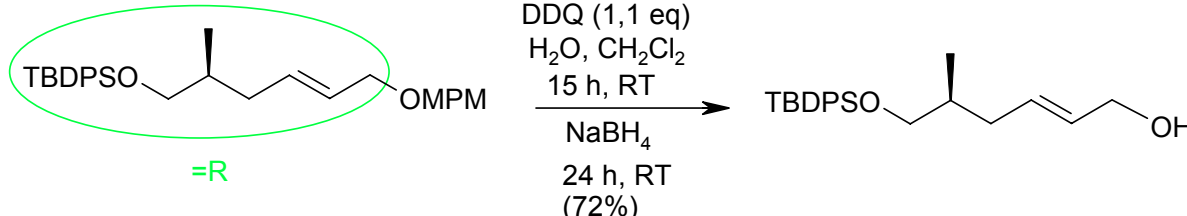


TBDPS-Cl

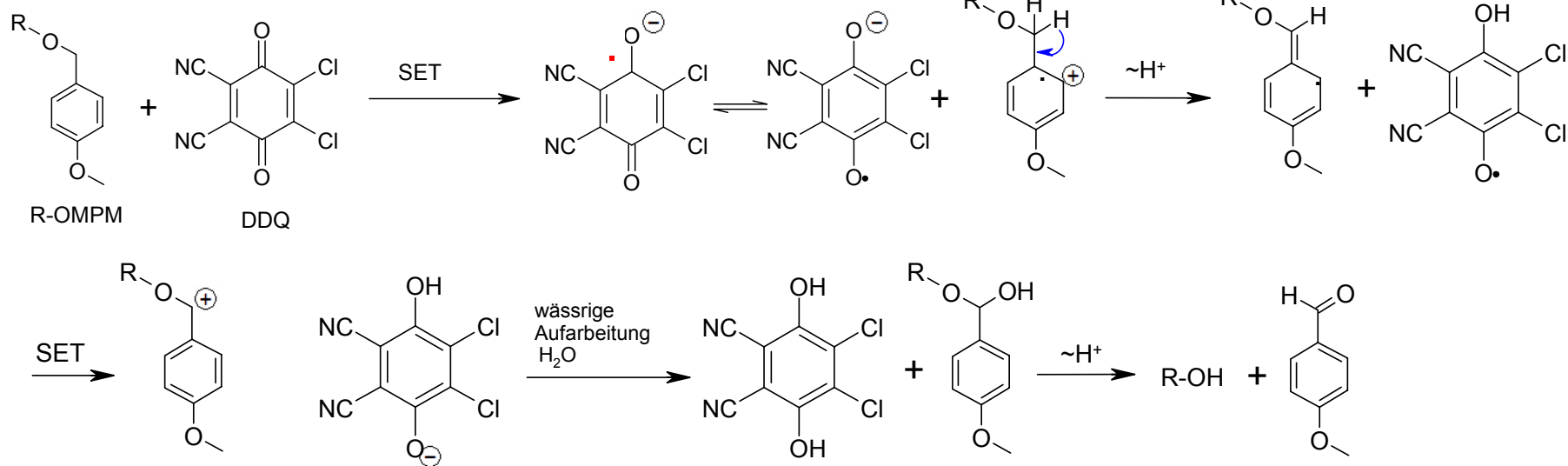
Deprotonierung



3. Entschützen der PMB-Schutzgruppe mittels DDQ:

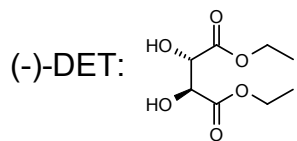
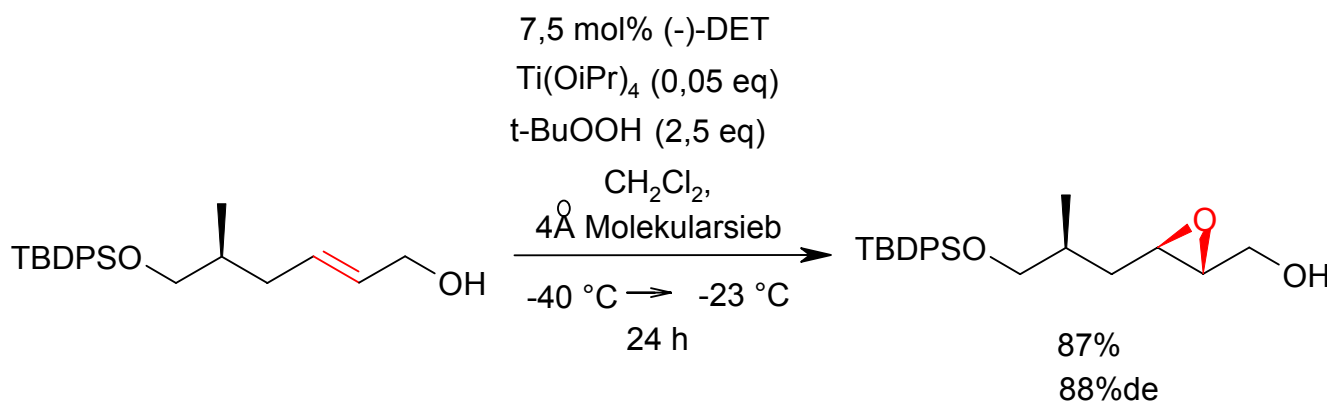
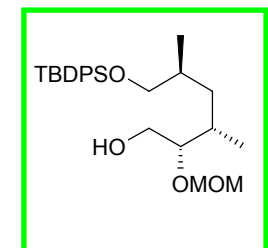


Mechanismusvorschlag:

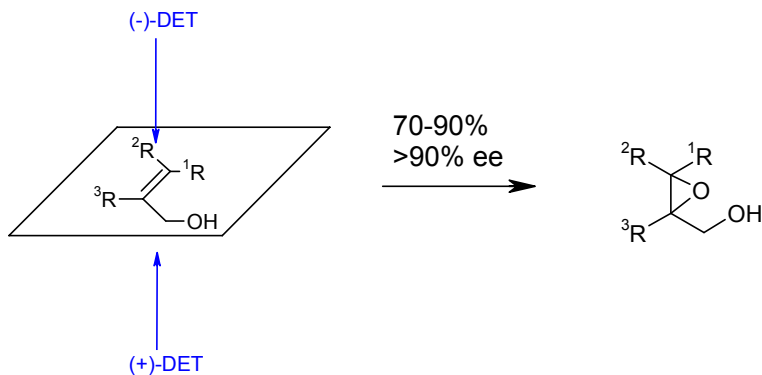
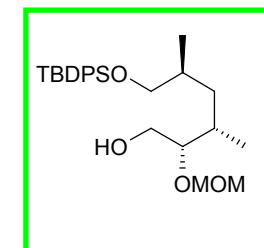
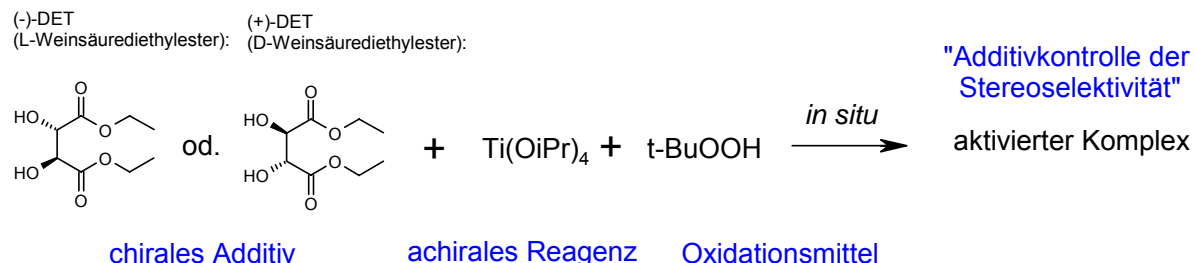


Zusatz von NaBH_4 zur Verhinderung der Teiloxidation des entstandenen Alkohols zum ungesättigten Aldehyd während des Entschützens mit DDQ

II.1.3. Sharpless Epoxidierung von Allylalkoholen



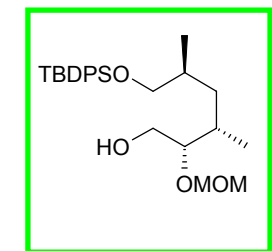
Allgemein:



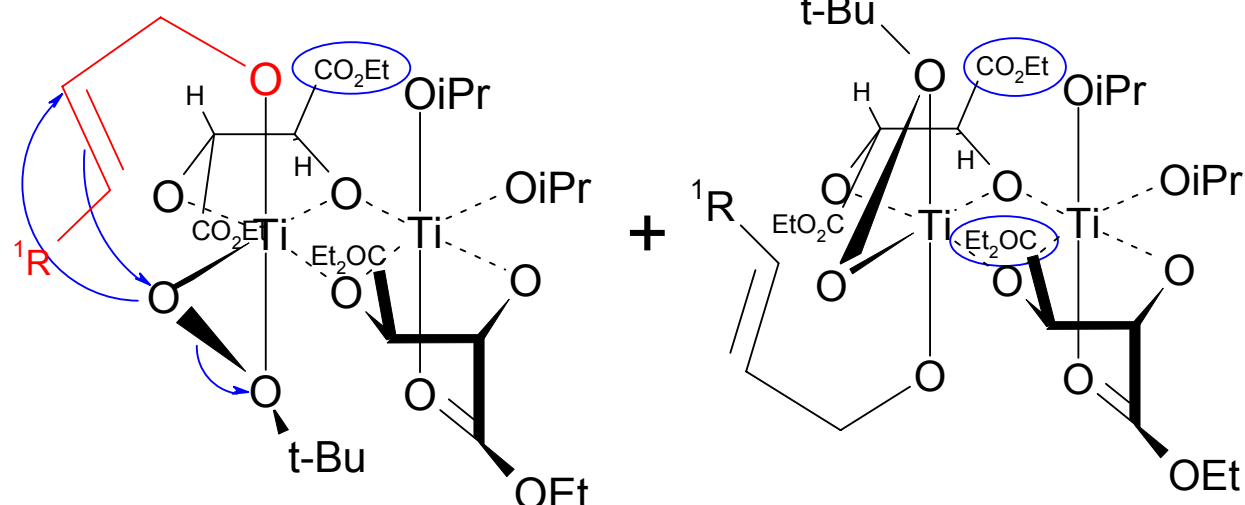
Vorteile:

- Unkompliziertheit: alle Reagenzien sind preiswert käuflich erweblich und einfach zurückgewinnbar
- Zuverlässigkeit: auf nahezu alle Allylalkohole anwendbar, aber unsensitiv gegenüber anderen Substratstrukturen
- hohe optische Reinheit: generell >90% ee
- vorhersehbare Stereochemie (Additivkontrolle)
- Vielseitigkeit als Intermediat: synthetischer Zugang zu enantiomerenreinen Zielmolekülen

Katalytisch wirksames Reagenz der Sharpless-Epoxidierung:



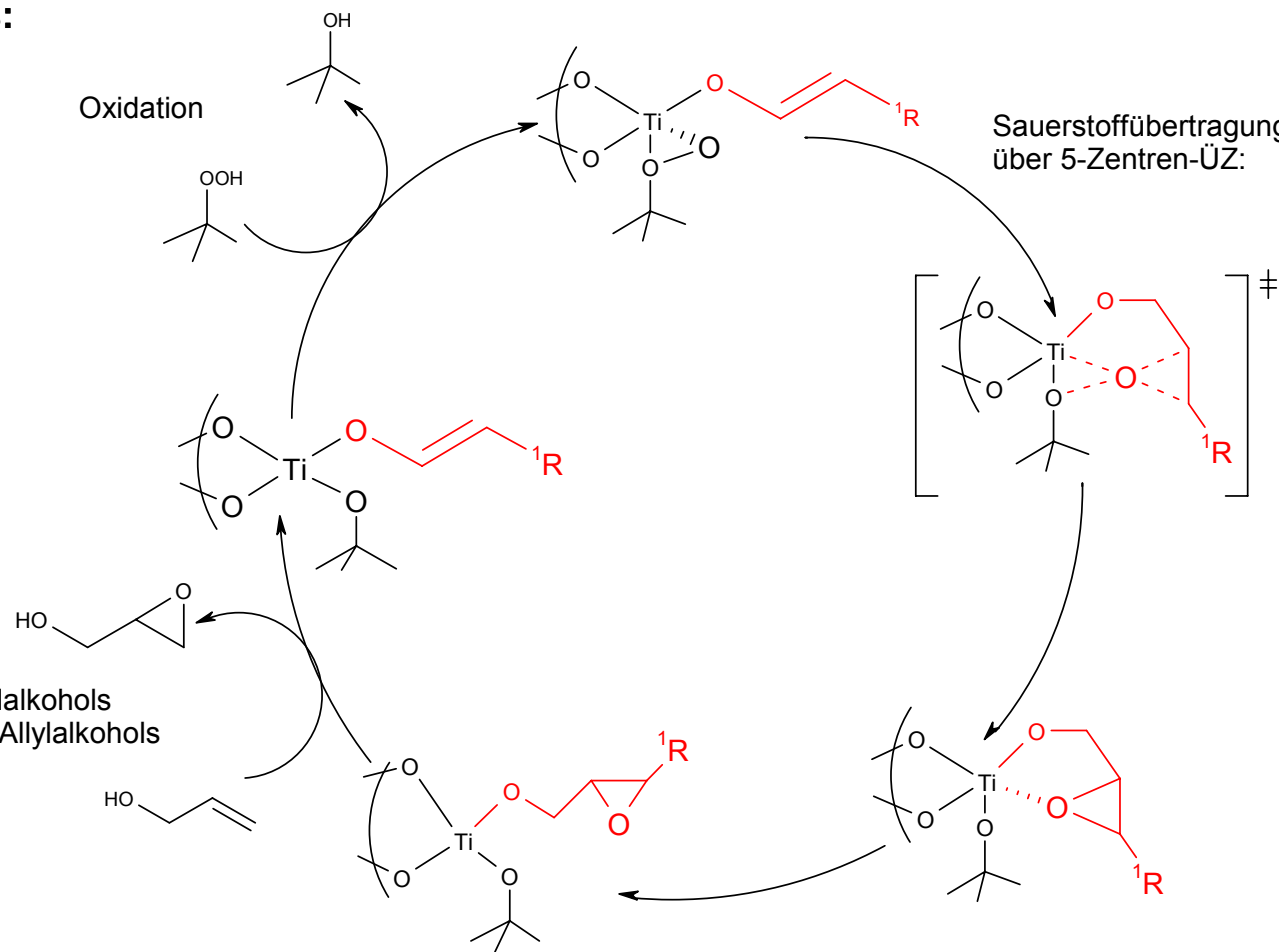
Sauerstoffübertragende Zwischenstufe



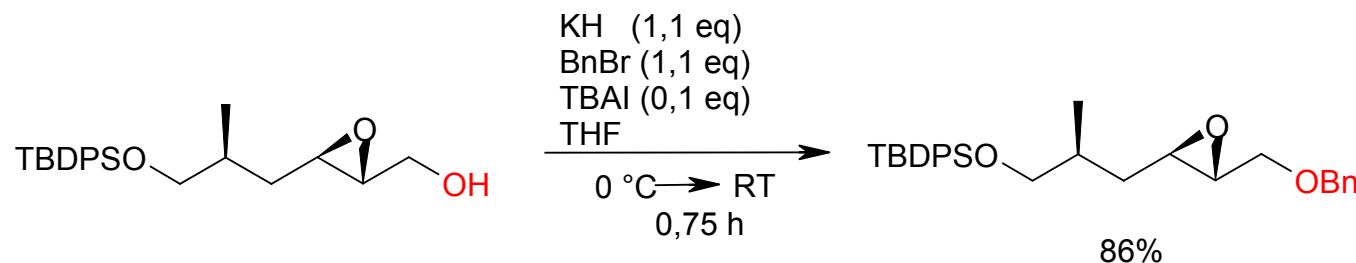
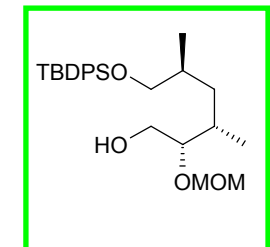
stärker sterisch gehindertes
Diastereomer

- die tert-Bu-O-Ti-Substruktur befindet sich auf derjenigen Seite der Fünfring/Vierring/Fünfring-Mittelebene, die nur eine β -ständige CO_2Et -Gruppe enthält

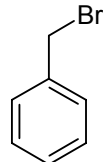
Mechanismus:



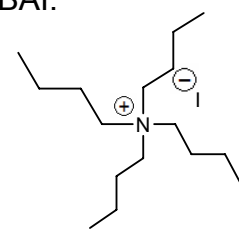
II.1.4. Darstellung des Epoxidethers durch Williamson-Ethersynthese



BnBr:

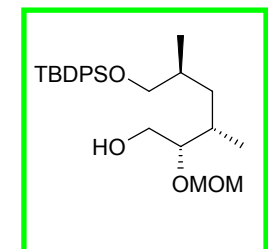
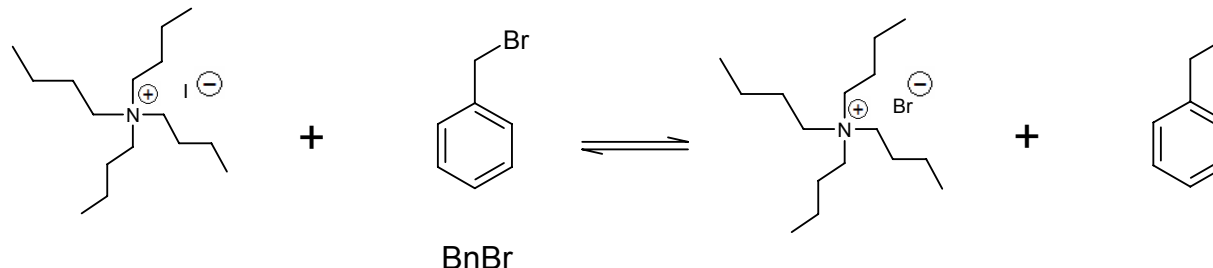


TBAI:

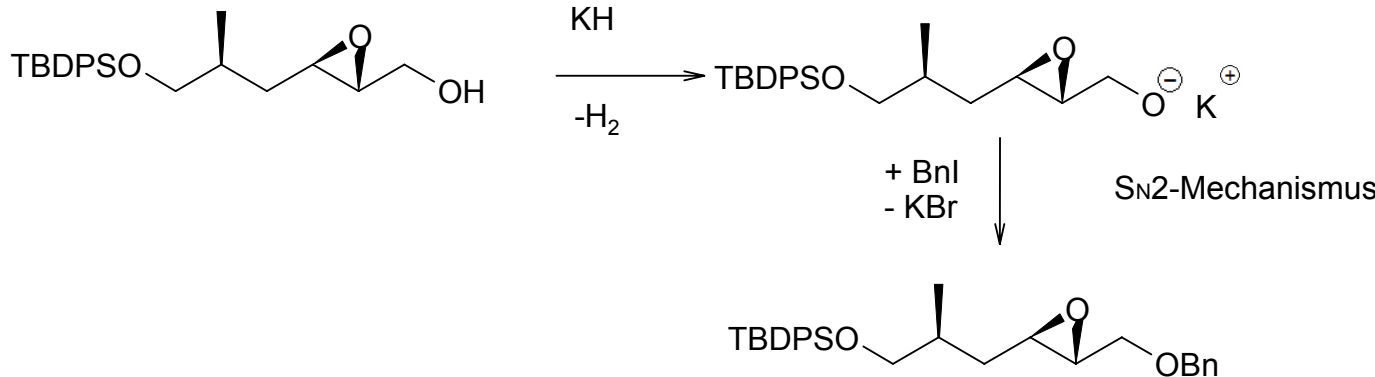


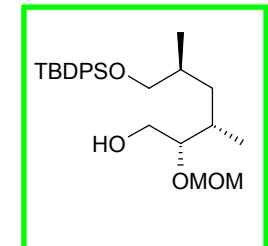
Mechanismusvorschlag:

Halogenaustausch über Finkelstein-Reaktion

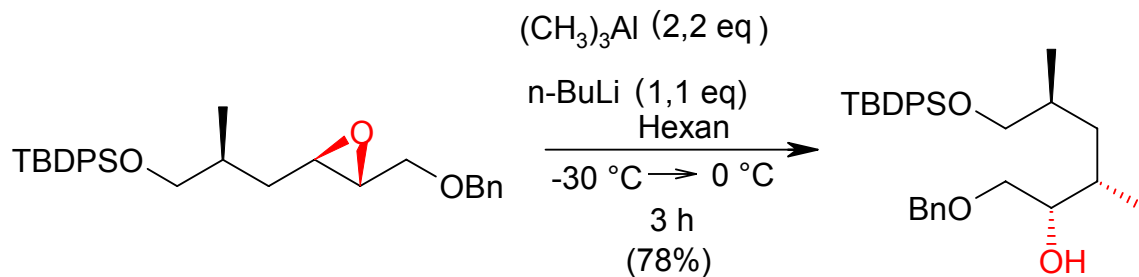


Deprotonierung



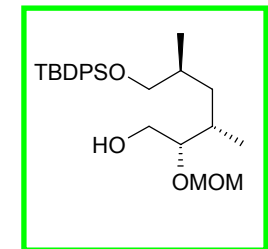
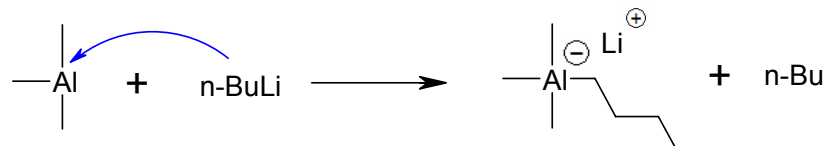


II.1.5. Selektive Ringöffnung des 2,3 – Epoxyalkohols mittels Aluminium- Komplex



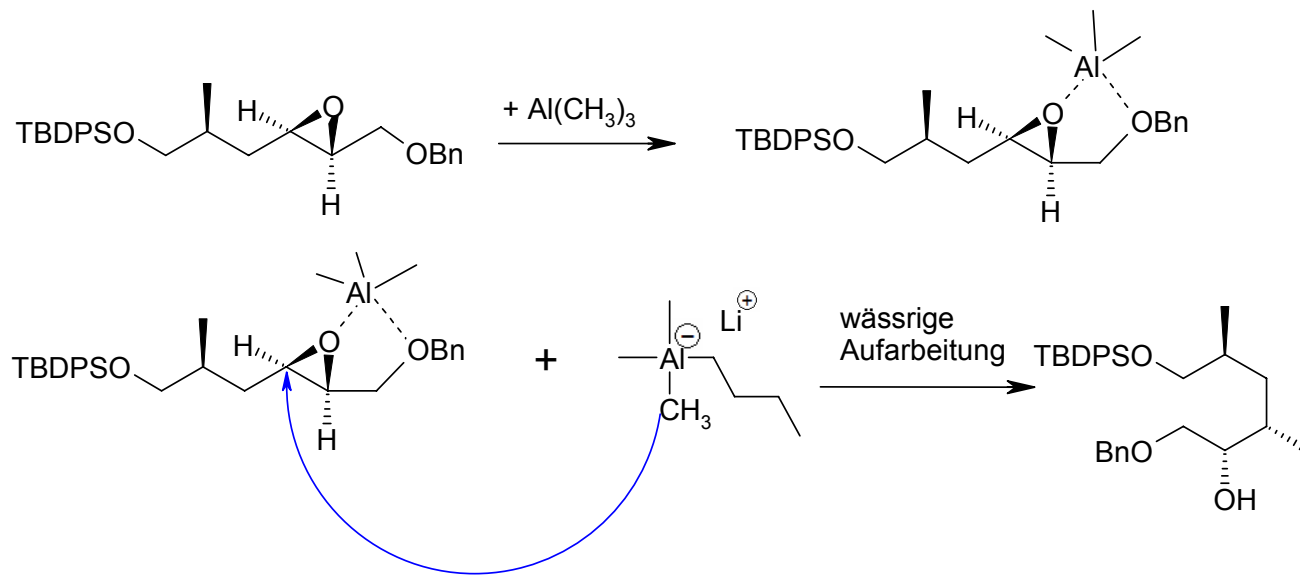
Mechanismusvorschlag:

Bildung des Aluminium-Komplexes



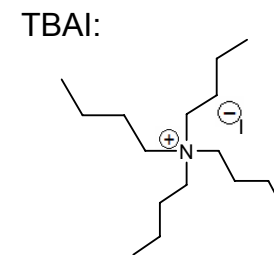
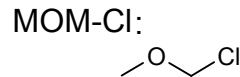
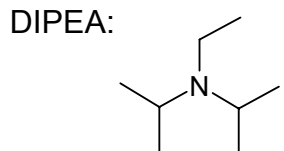
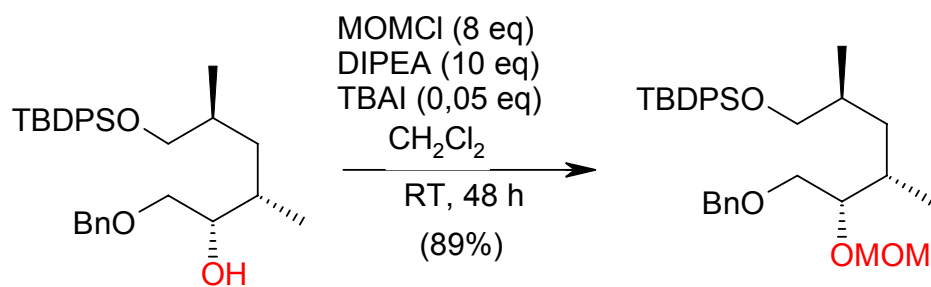
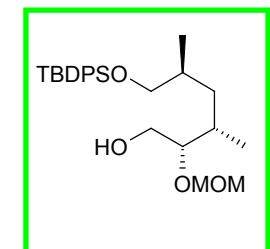
Addition und nucleophile Ringöffnung:

Mechanismusvorschlag:

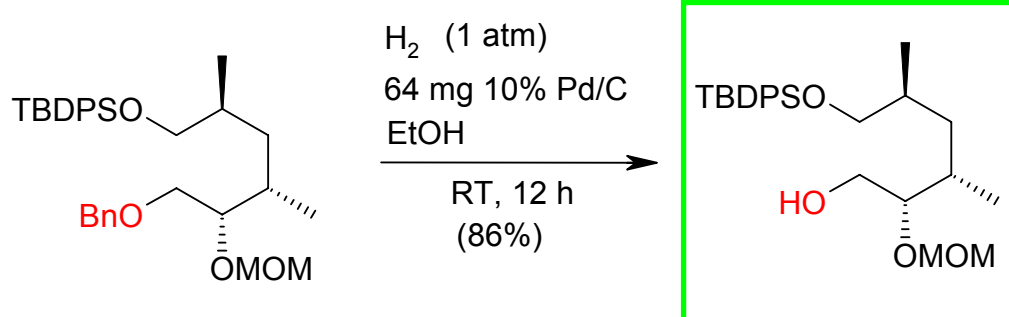


regioselektiver Angriff an C3

II.1.6. Schützen des Alkohols mittels MOM-Cl



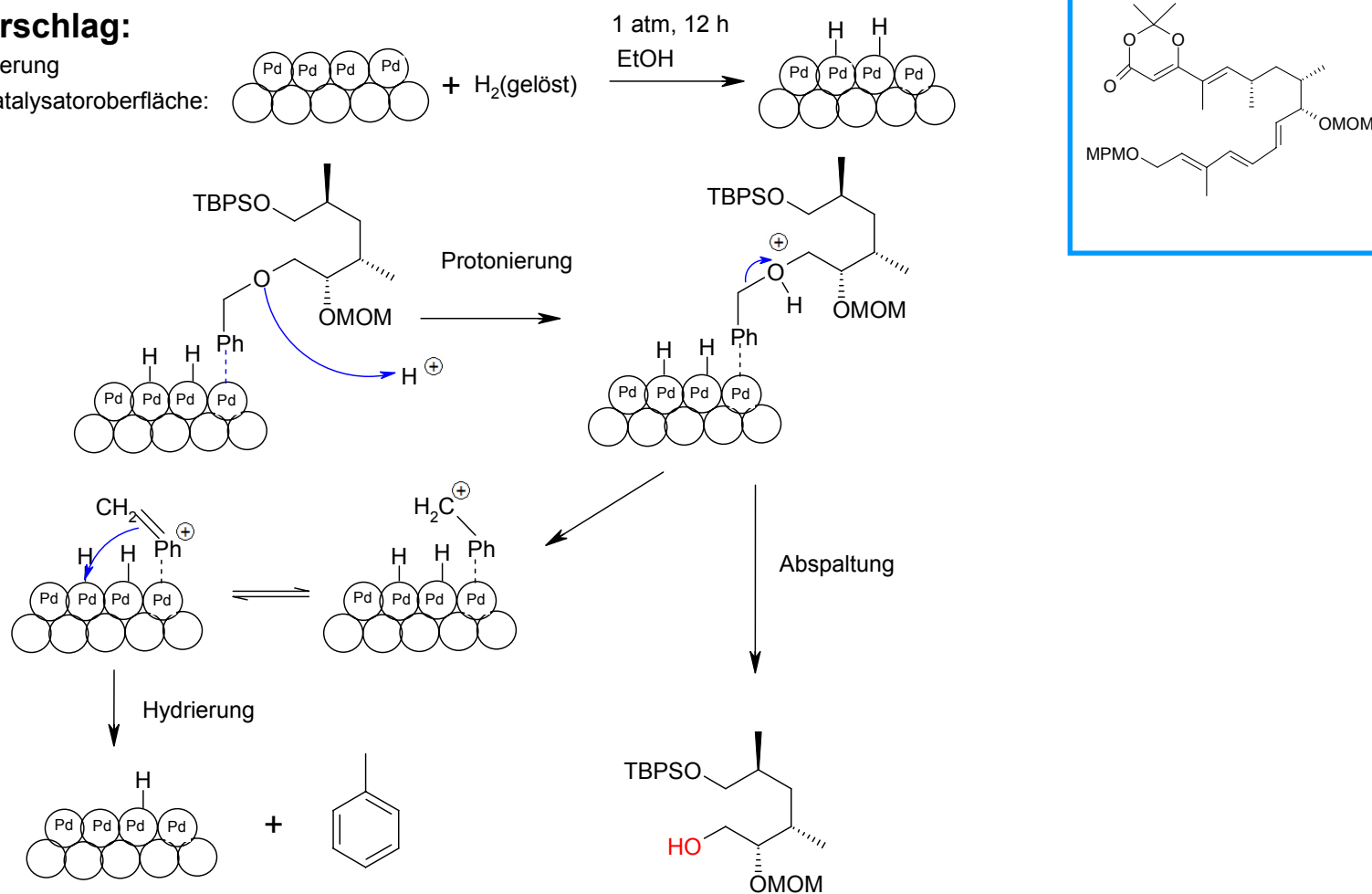
II.1.7. Hydrierung am Pd/C-Katalysator



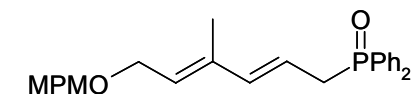
Mechanismusvorschlag:

Heterogen katalysierte Hydrierung

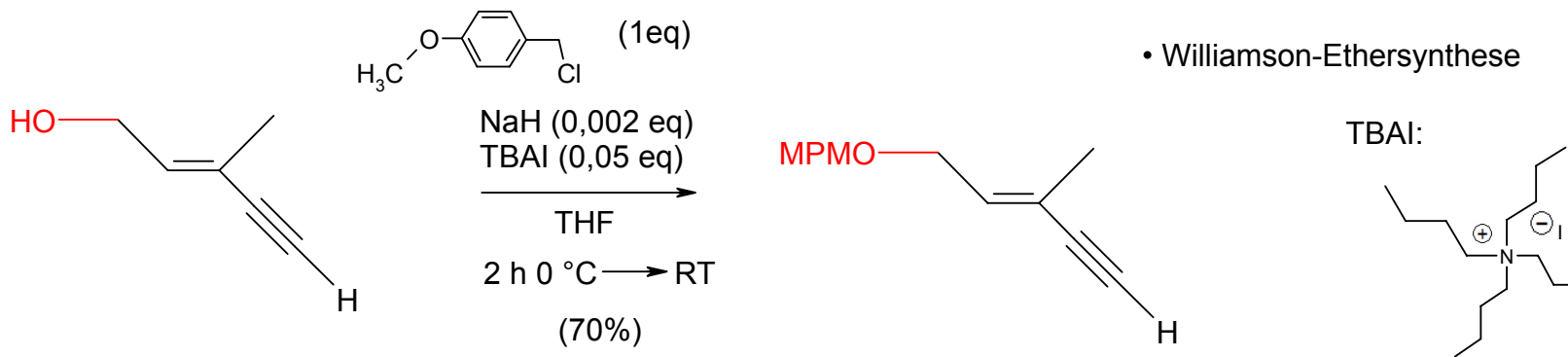
Adsorption des H₂ an der Katalysatoroberfläche:



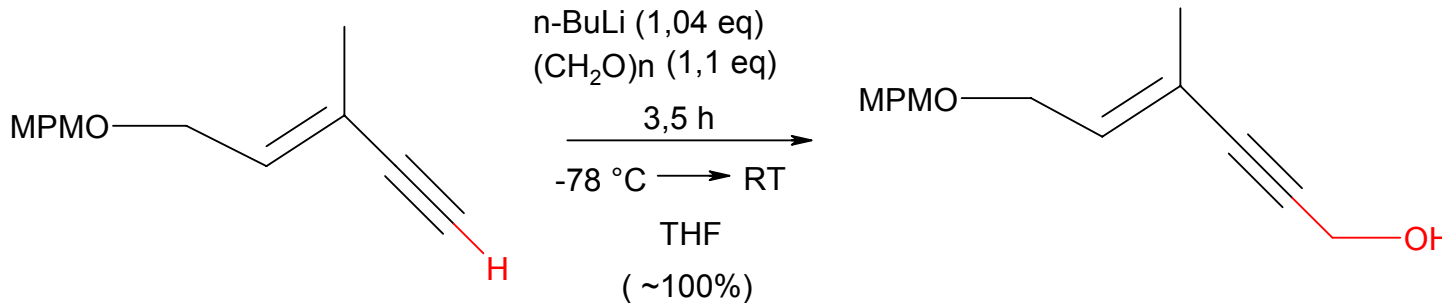
II.2. Synthese zweites Fragment



II.2.1. Schützen der Hydroxygruppe mittels MPMCI

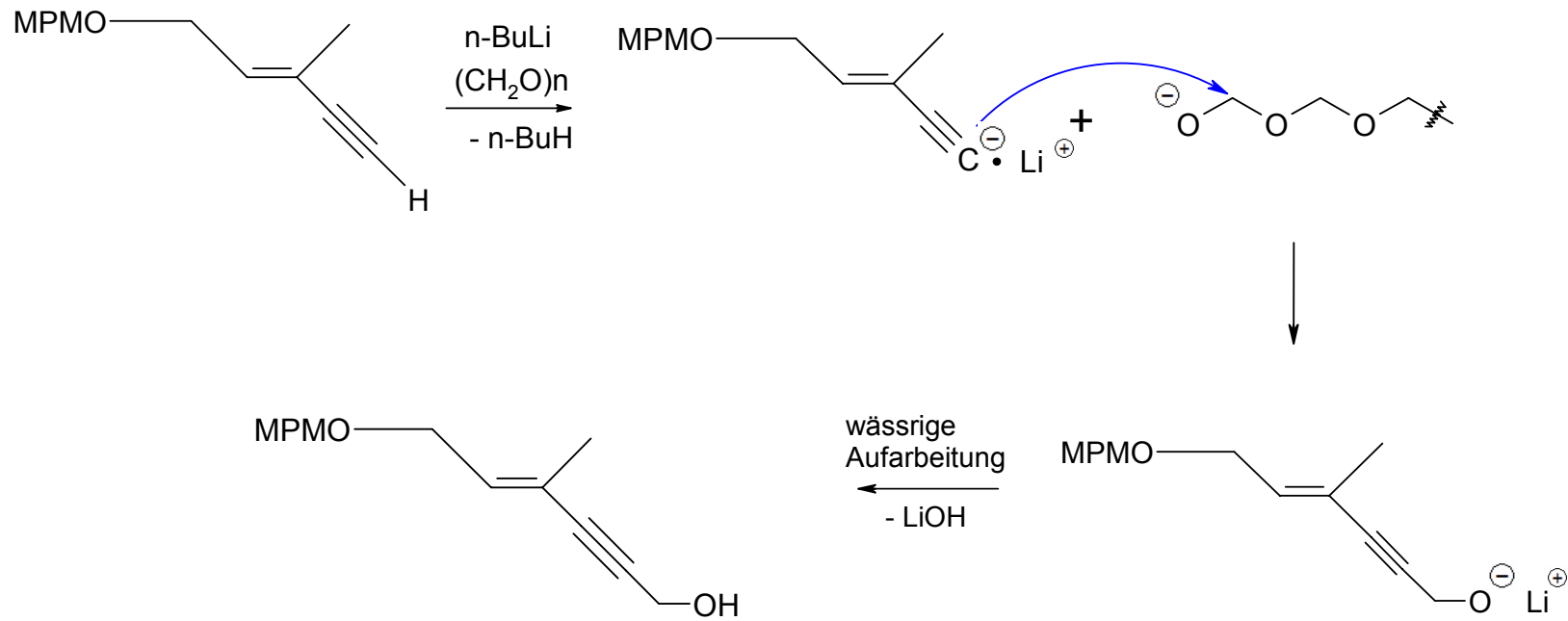
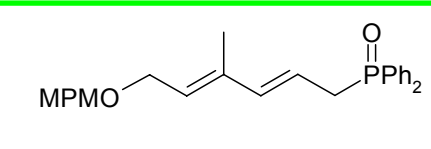


II.2.2. Einführen einer zweiten Hydroxygruppe

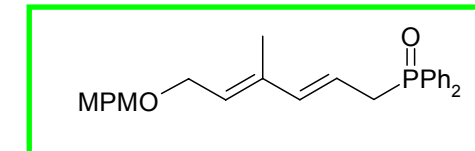
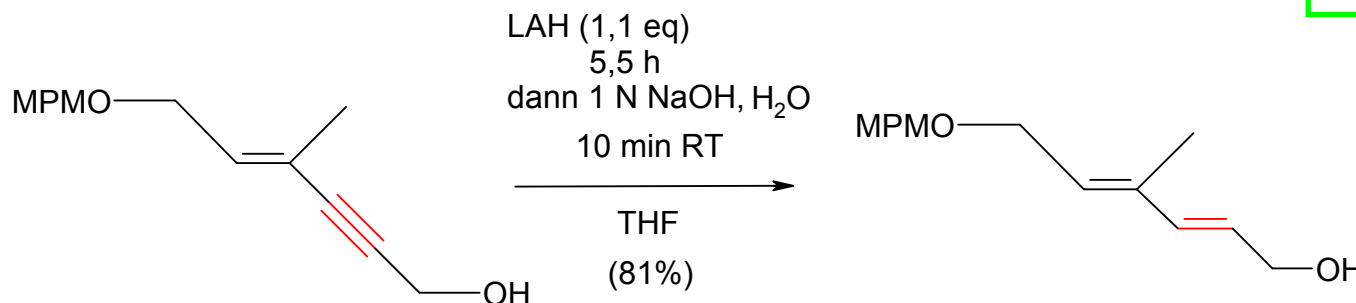


Mechanismusvorschlag:

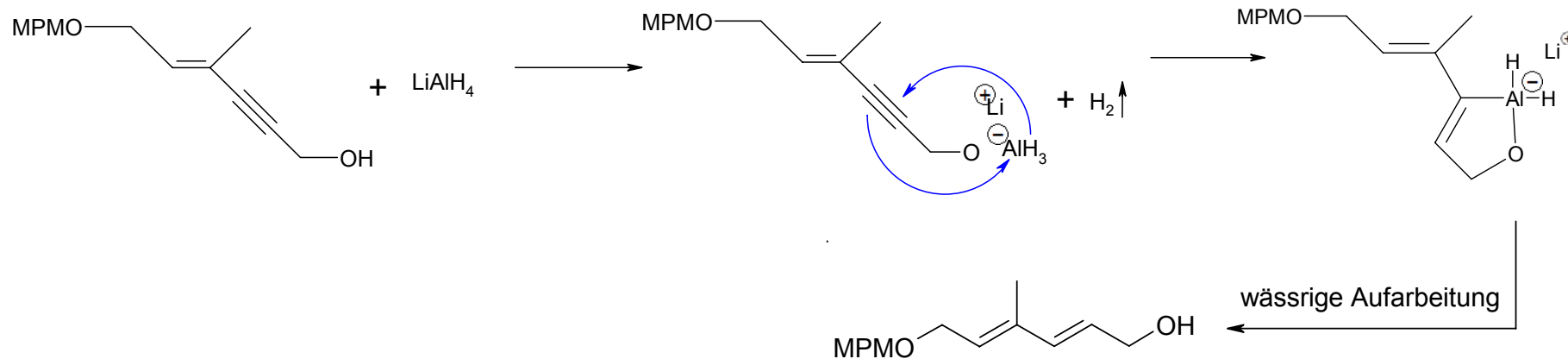
- Hydroxymethylierung



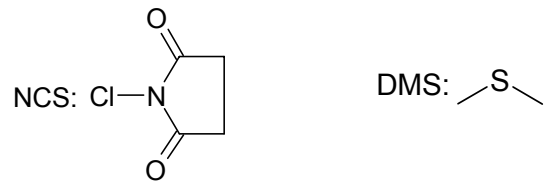
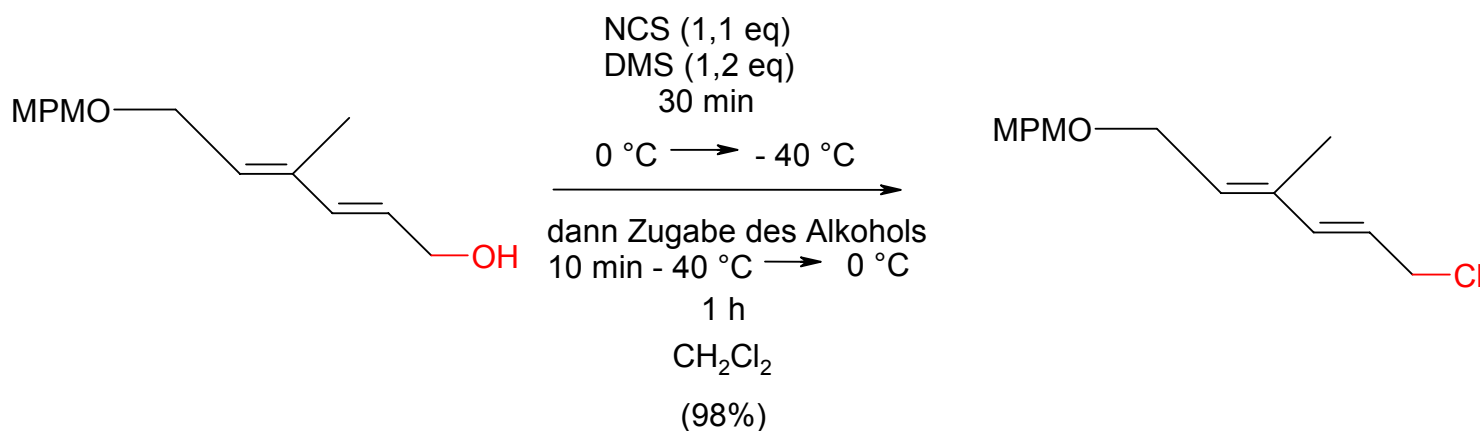
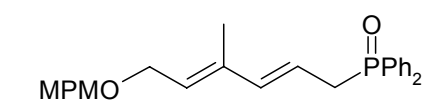
II.2.3. Hydrierung der Dreifachbindung



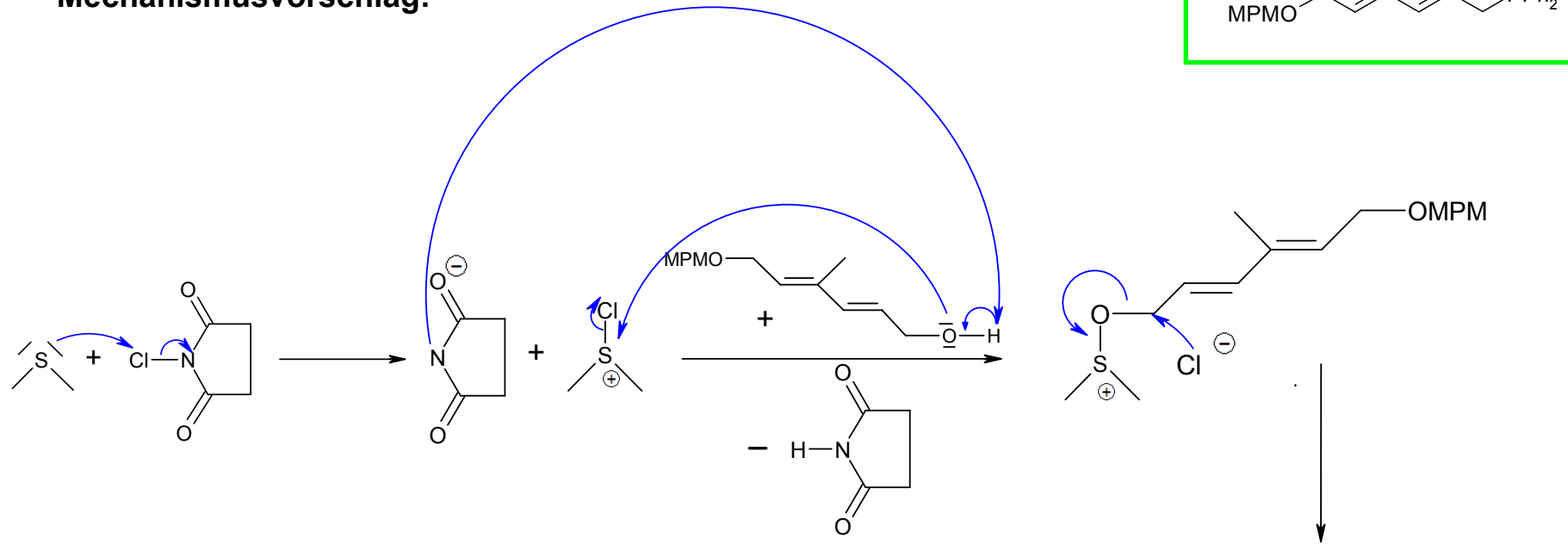
Mechanismusvorschlag:



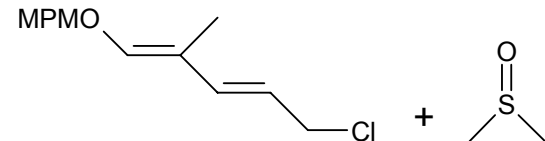
II.2.4. Chlorierung



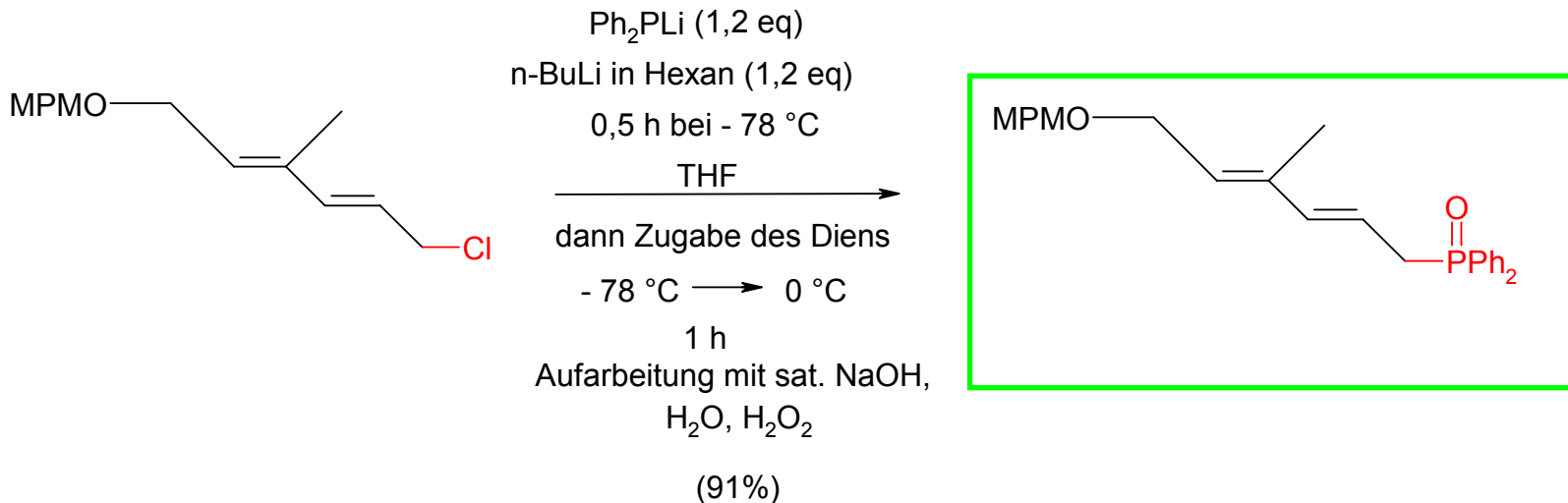
Mechanismusvorschlag:



- Sulfoxoniumintermediat ist sehr instabil
- da Bildung und Zerfall des Intermediates in Dichlormethan ohne Triethylamin ablaufen, wird sofort das Chlorid gebildet

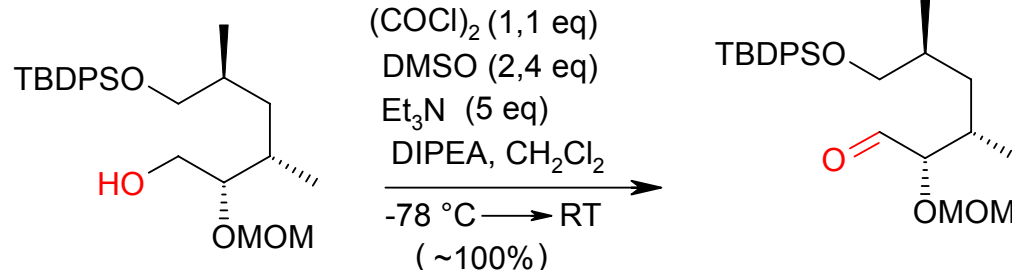
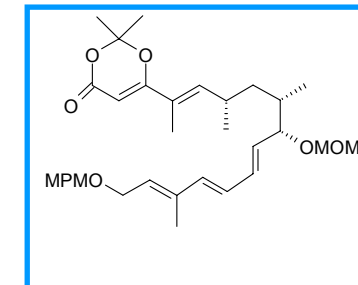


II.2.5. Darstellung des Phosphins

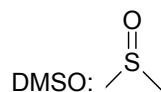
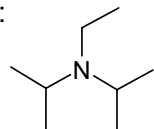


II.3. Vereinen der Fragmente

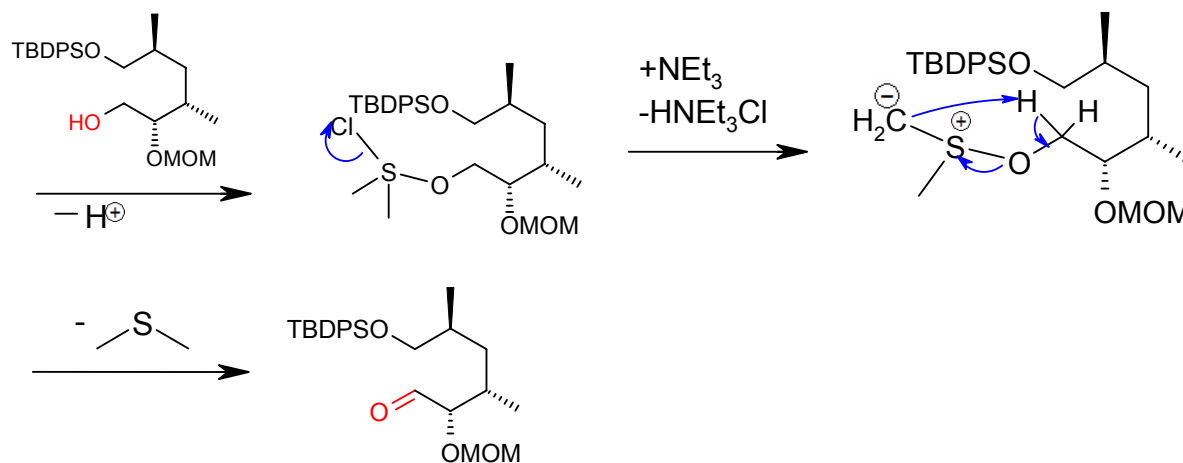
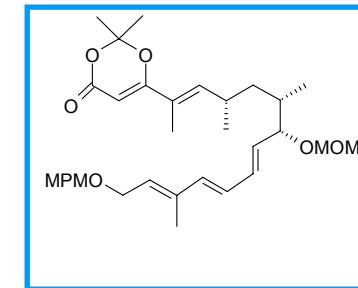
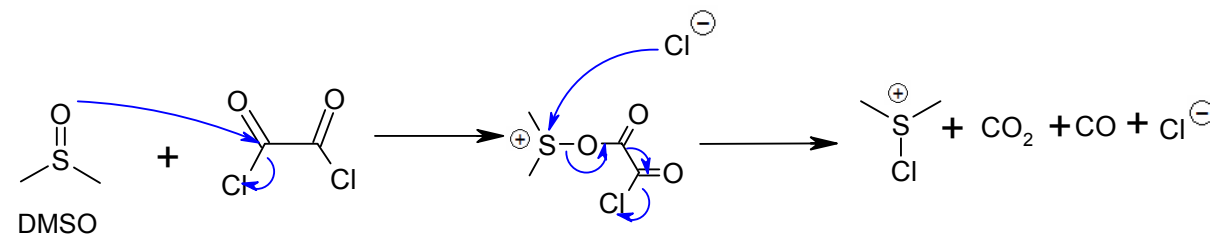
II.3.1. Oxidation des Alkohols nach Swern



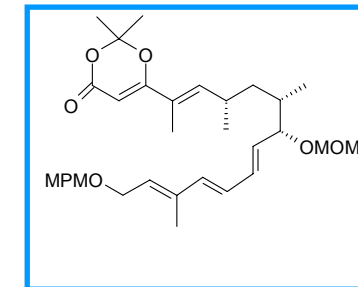
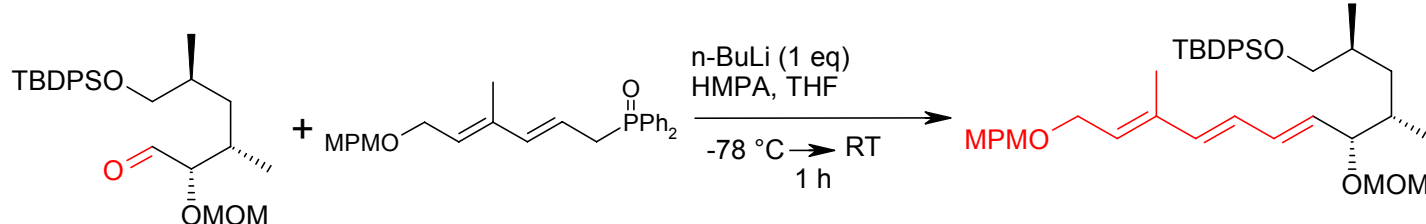
DIPEA:



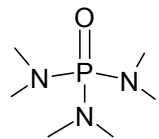
Mechanismus:



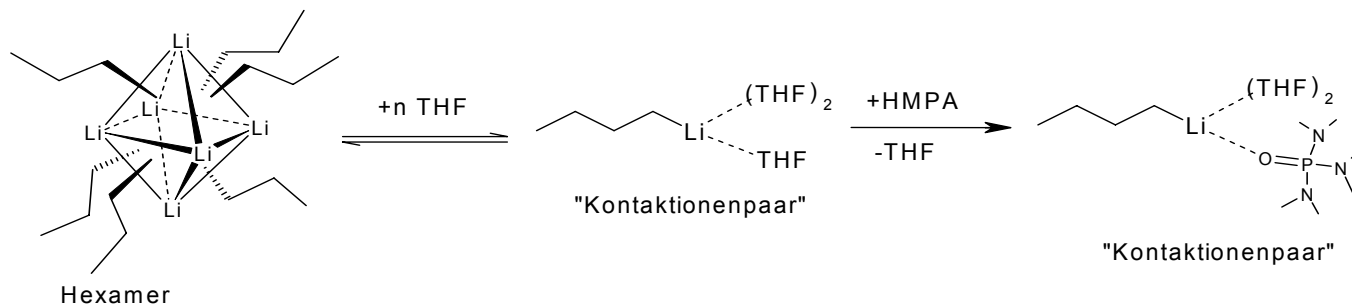
II.3.2. Horner-Wadsworth-Emmons-Reaktion



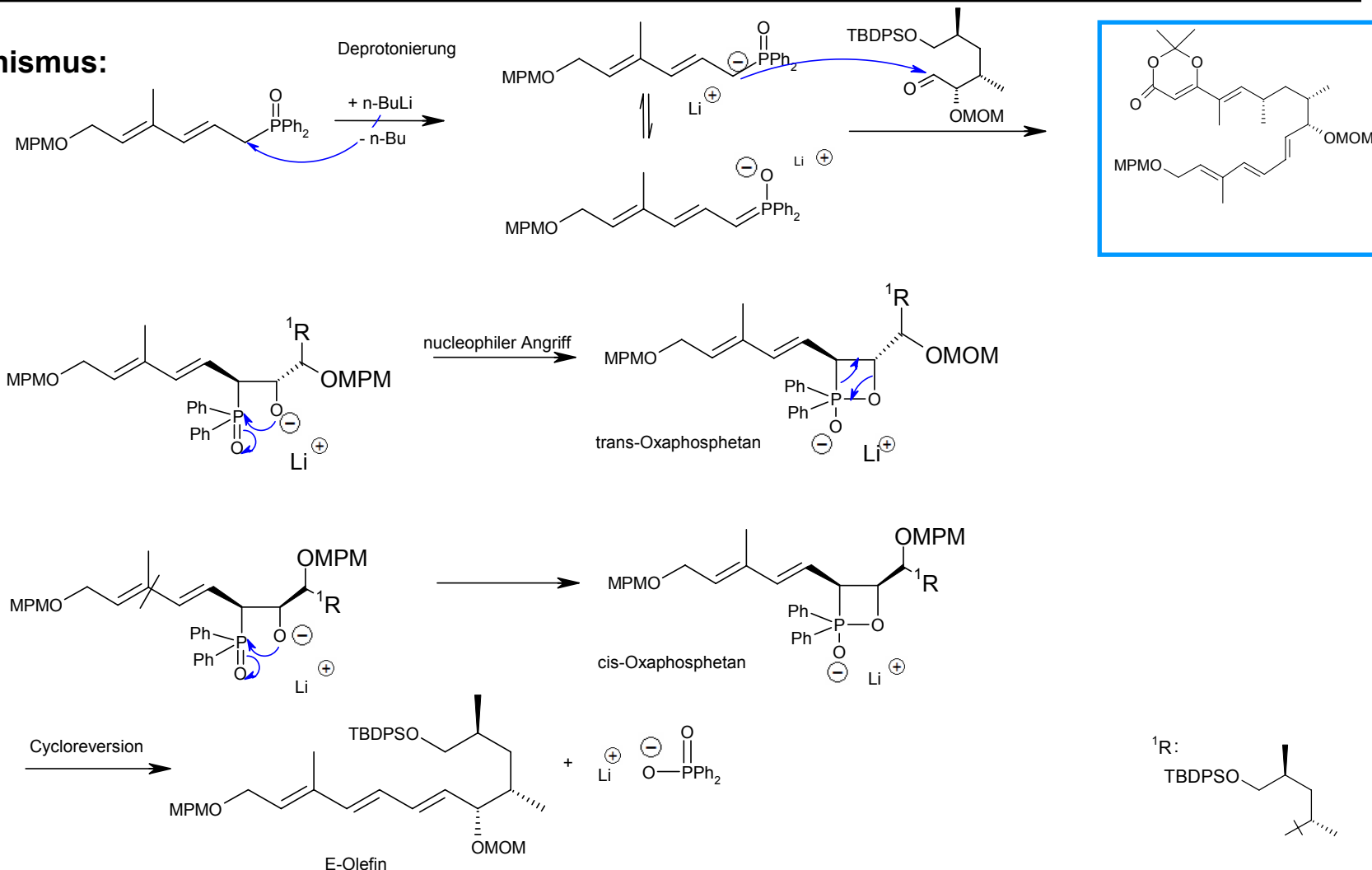
Zusatz von HMPA:



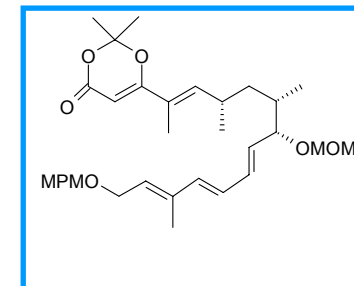
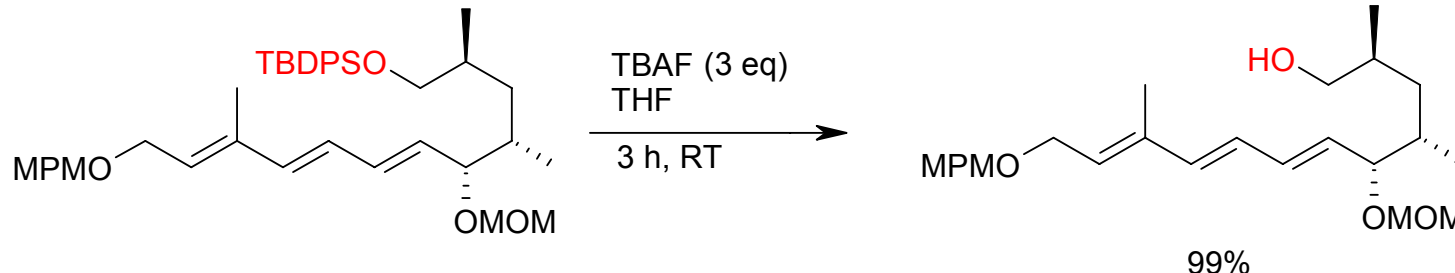
Zusatz zum Aufbrechen von n-BuLi-Hexameren
koordiniert stark zum Lithiumkation



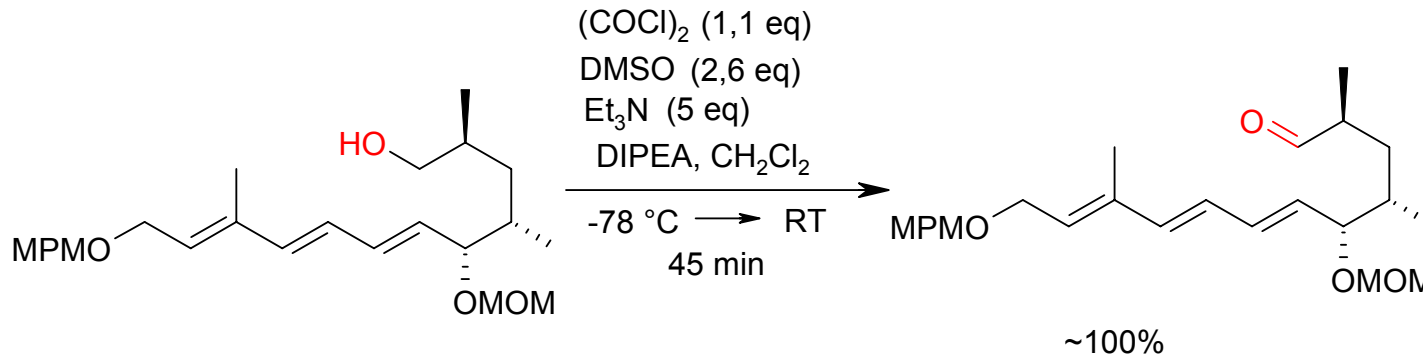
Mechanismus:



II.3.3. Entschützen der TBDPS-Gruppe

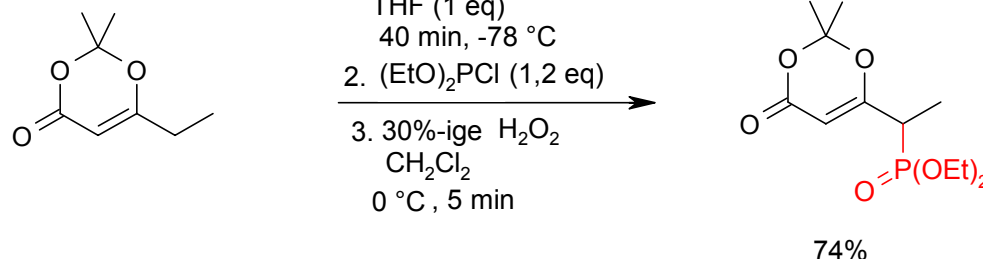


II.3.4. Swern-Oxidation

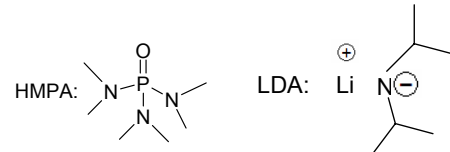
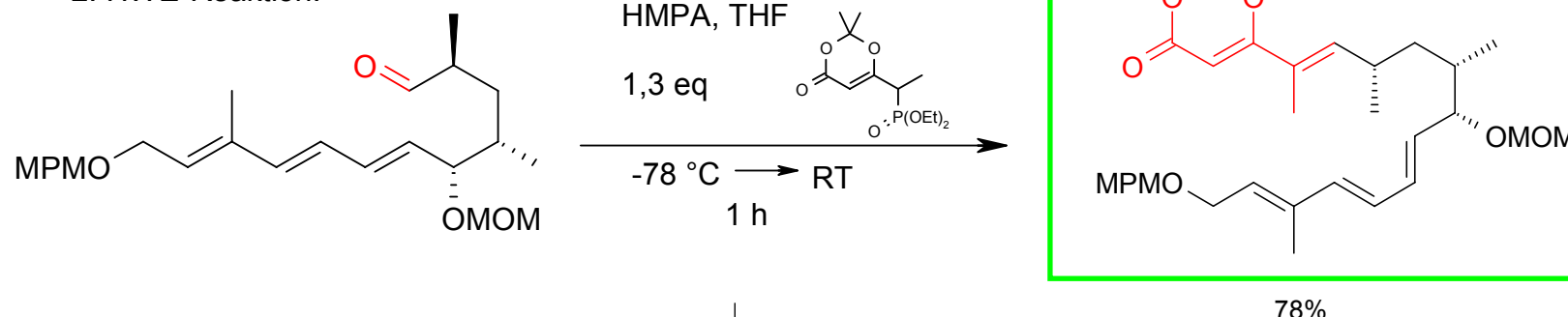


II.3.5. Abschließende HWE-Reaktion

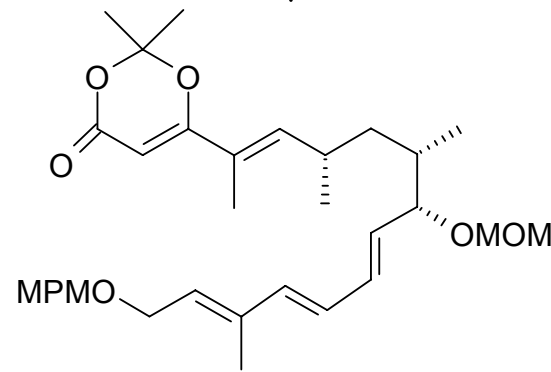
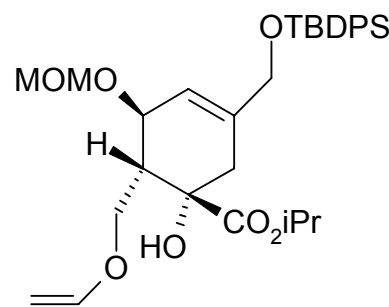
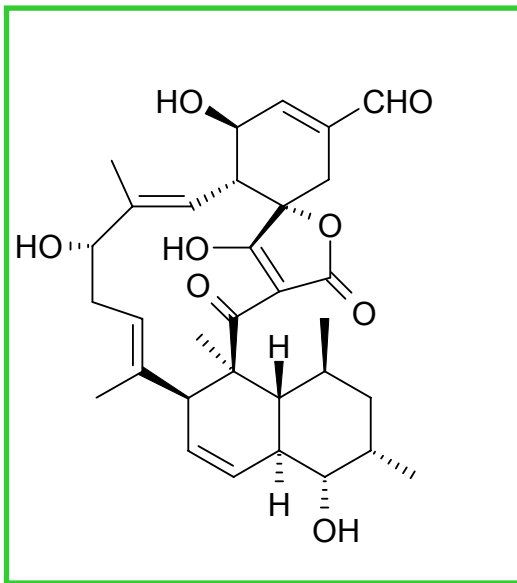
Herstellung des Phosphinoxids für die HWE-Reaktion
durch Deprotonierung, weiter über nucleophile Substitution
und anschließende Oxidation



2. HWE-Reaktion:

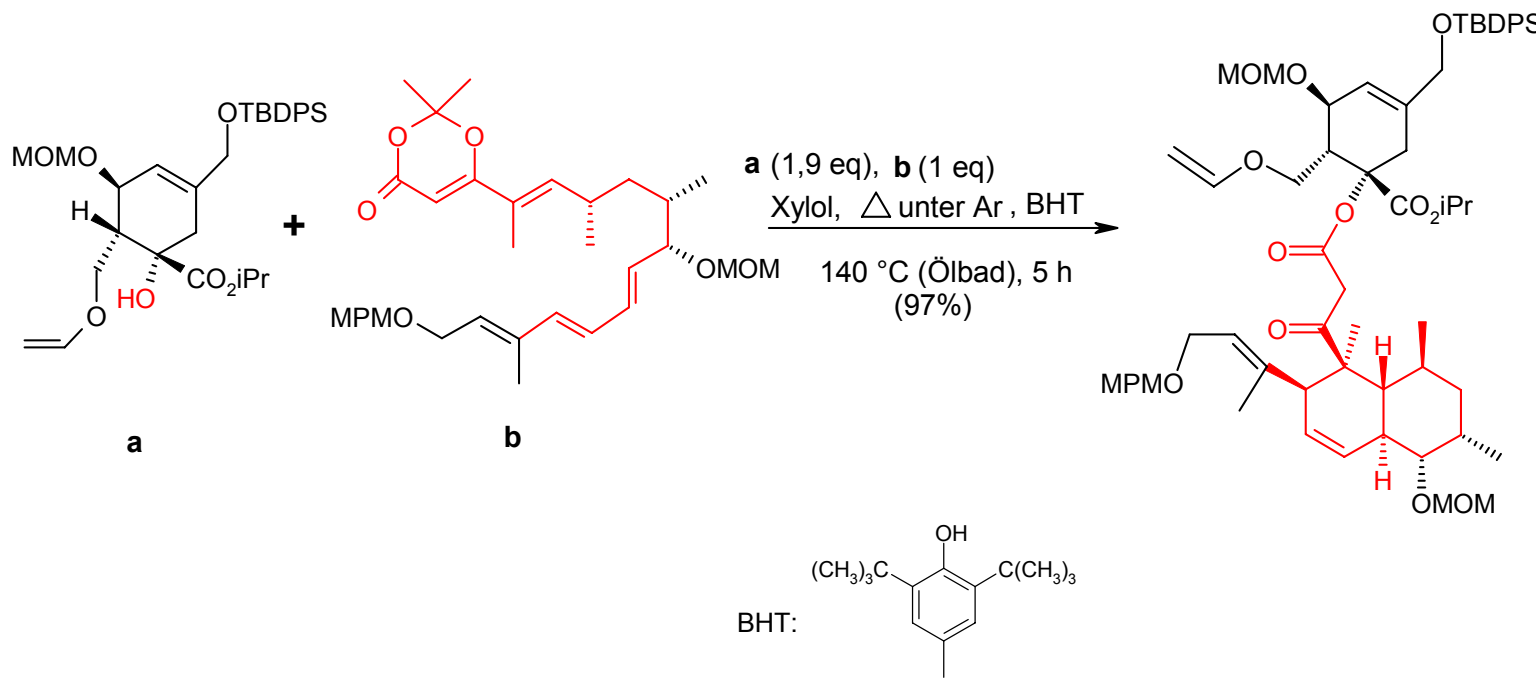
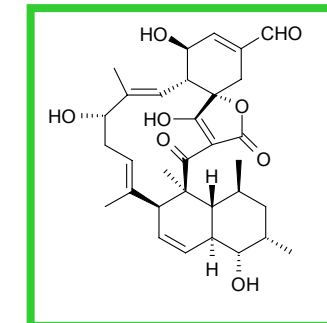


(+)-Tetronolid



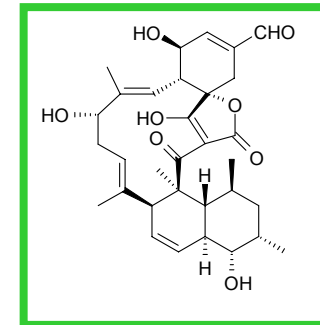
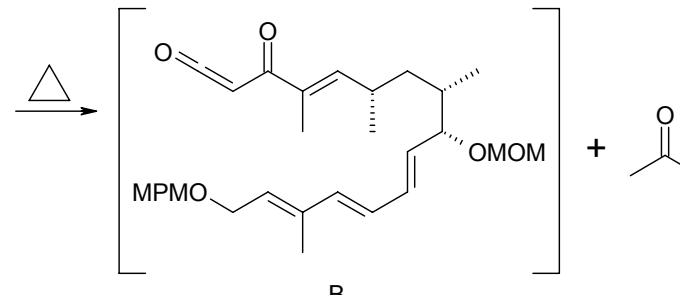
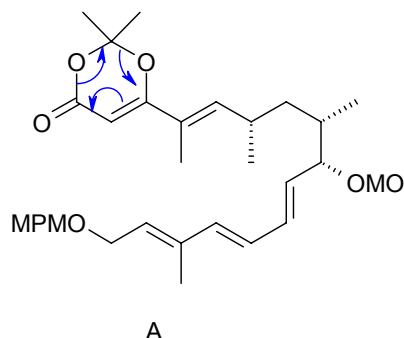
III.1. Zusammenfügen der Untereinheiten

III.1.1. Tandem Keten-Trapping/[4+2]Cycloaddition

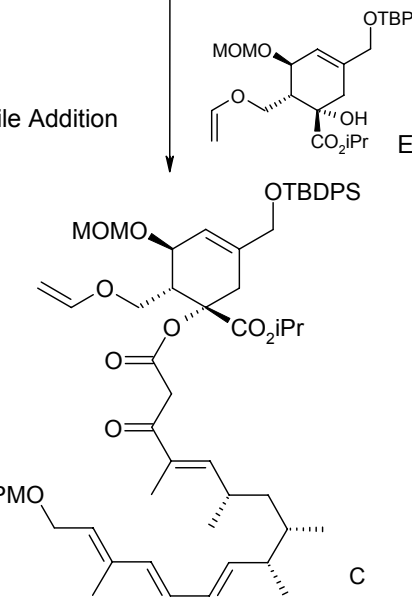


Mechanismus:

Stufe 1: Retro-Hetero-Diels-Alder

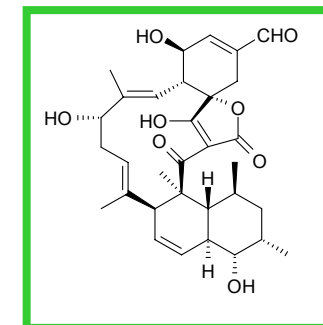
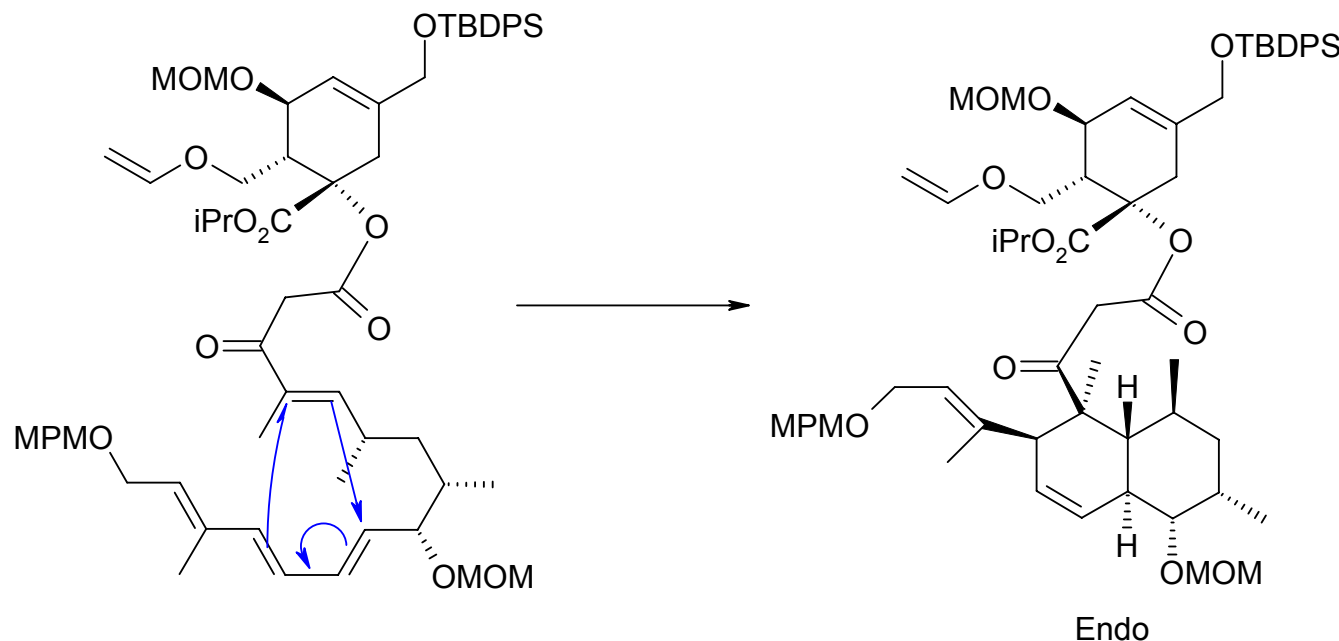


Stufe 2: Nucleophile Addition



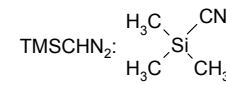
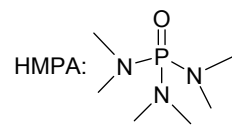
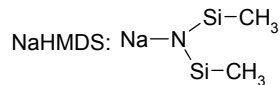
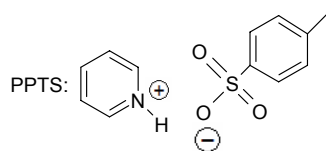
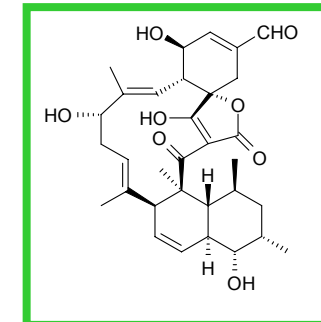
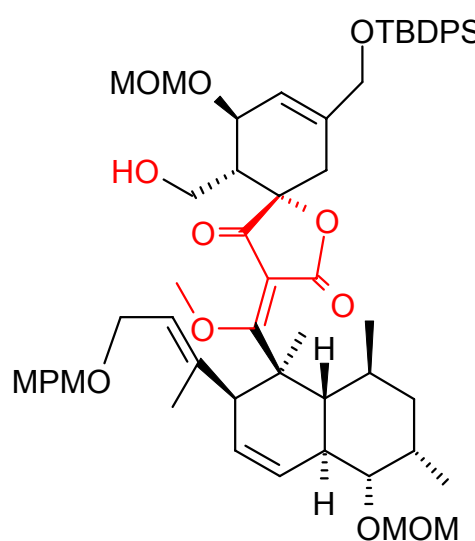
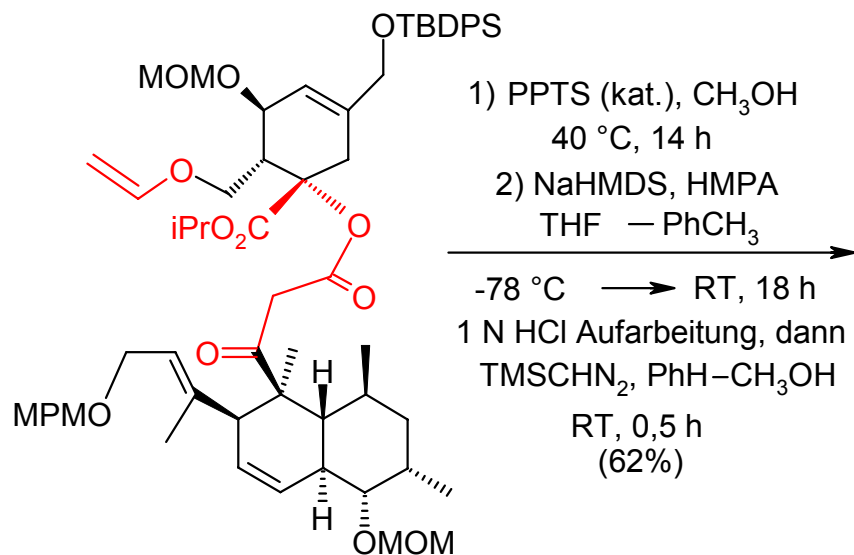
- Retro-Diels-Alder-Reaktion
- durch Erwärmen erhöht sich die Ringspannung in A, die Bindungen brechen und klappen um, es entsteht ein Keten
- danach erfolgt nucleophiler Angriff der OH-Gruppe auf Keten-Kohlenstoff unter Ausbildung eines β -Ketoesters

Diels-Alder-Reaktion:

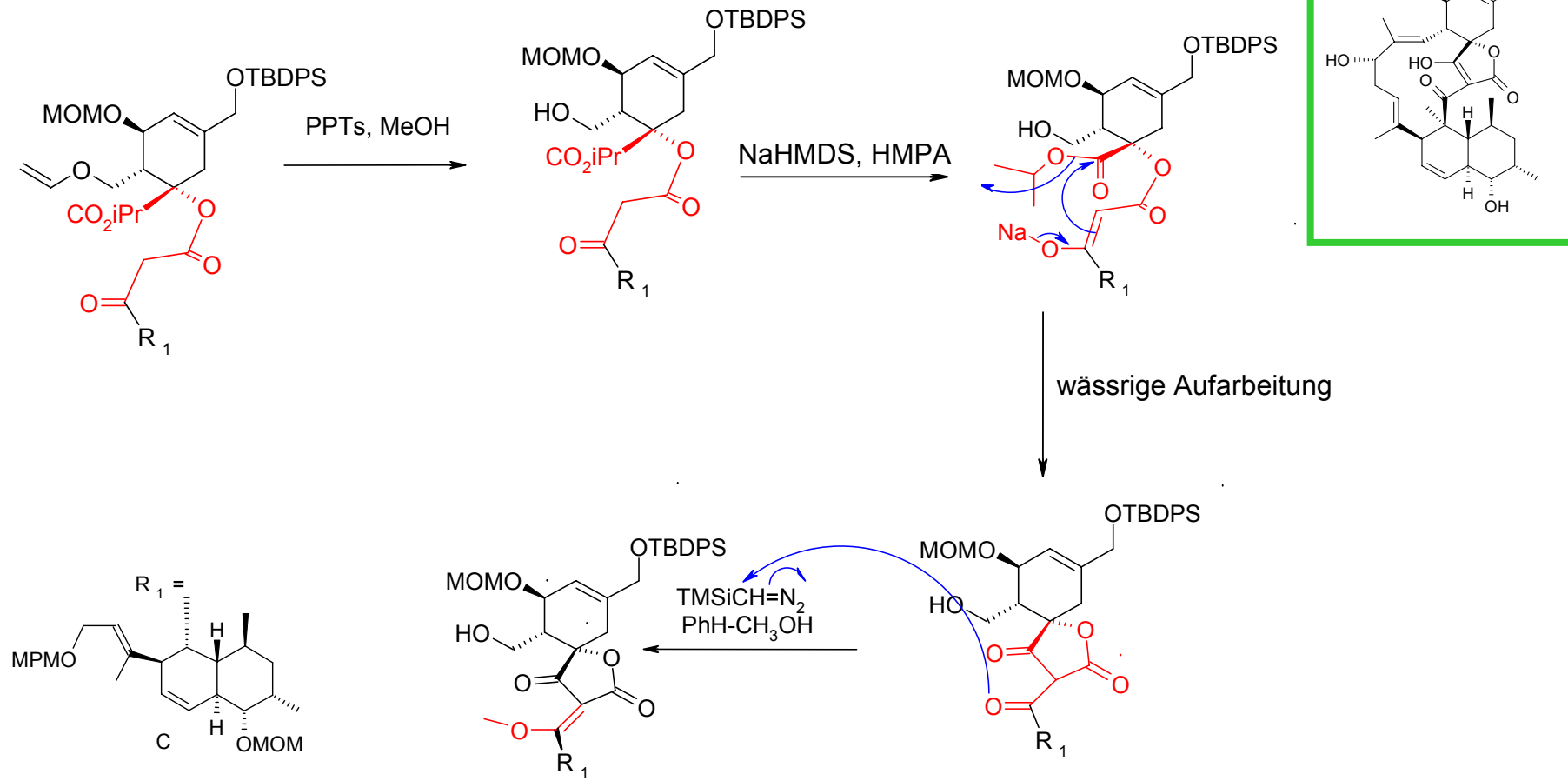


- Reaktion läuft in einem Schritt ab: die beiden neuen C-C-Bindungen und die neue Doppelbindung werden gleichzeitig mit dem Brechen der drei Doppelbindungen gebildet
- auf Grund anziehender Wechselwirkungen zwischen π -System des Dien und π -System des ungesättigten Substituenten am Dienophil wird Endo-Produkt gebildet

III.1.2. Ringschluss zur Spirotetronsäure

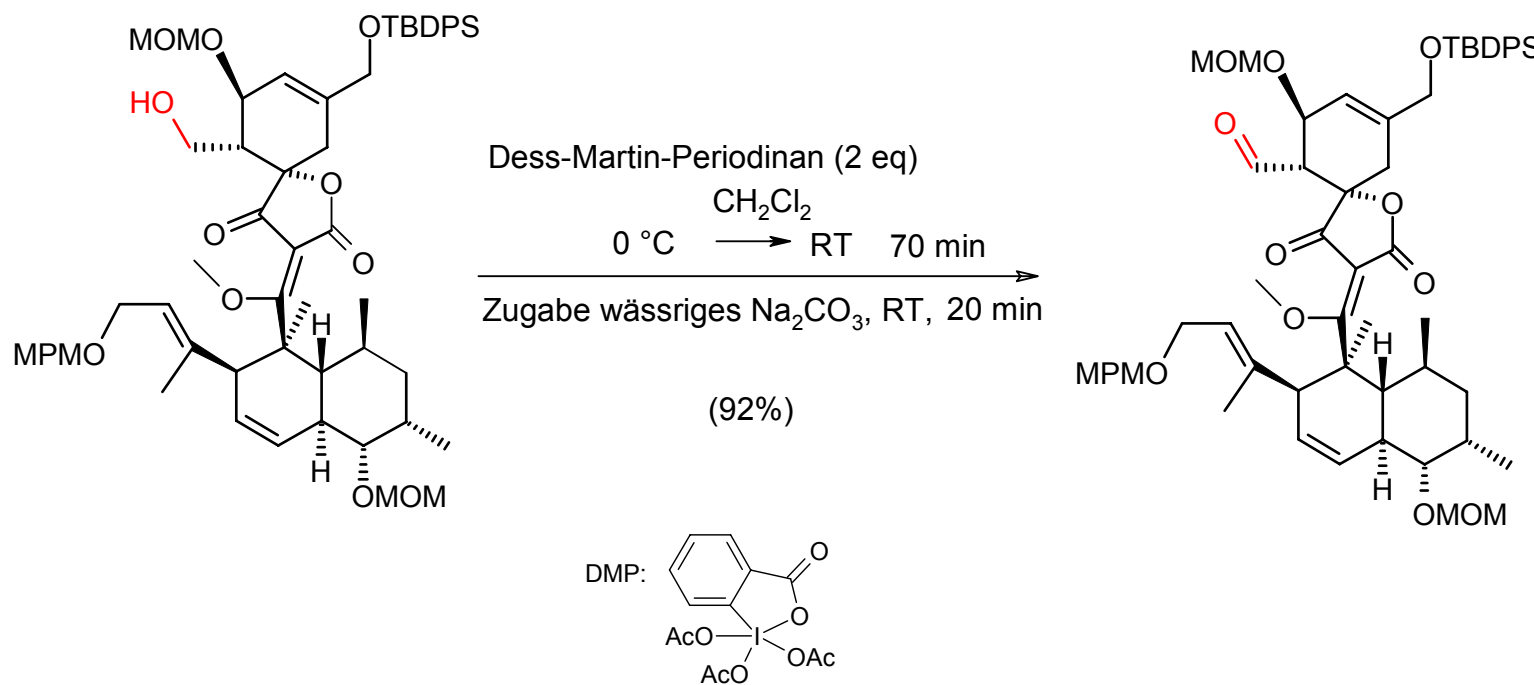
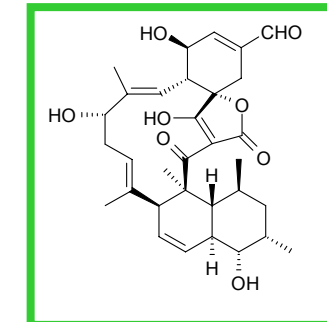


Dieckmann-Reaktion:

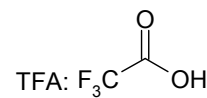
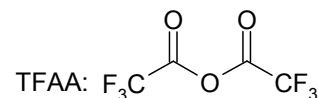
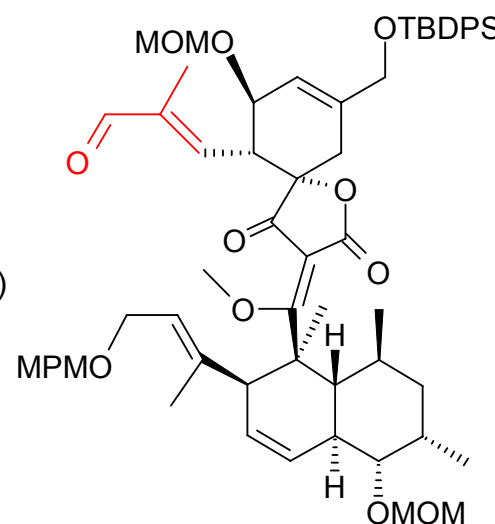
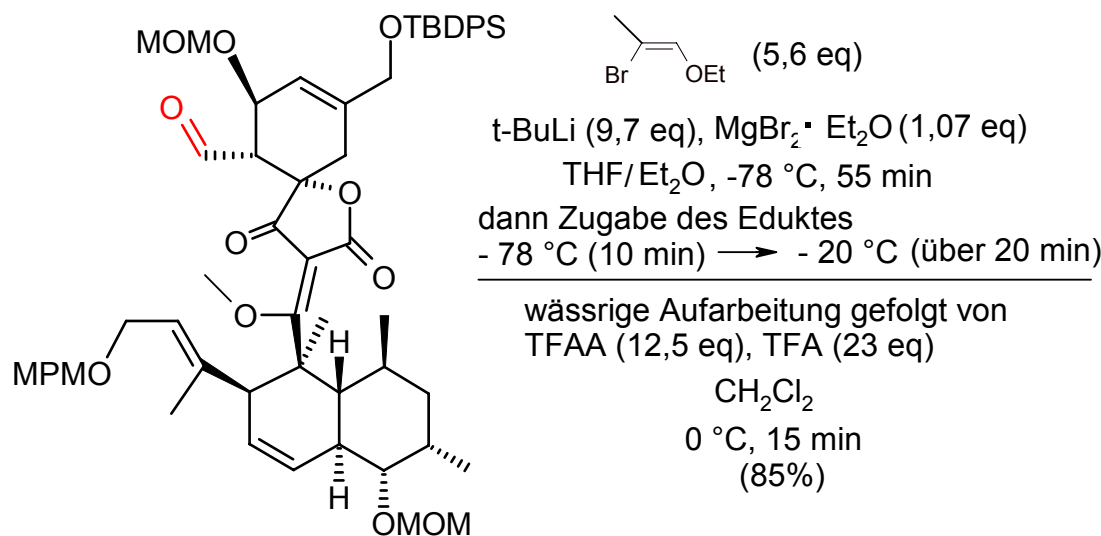
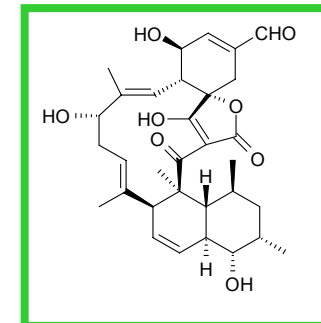


III.2. Erarbeitung des Intermediates, das den makrozyklischen Ringschluss ermöglicht

III.2.1. Oxidation des primären Alkohols zum Aldehyd mittels DMP

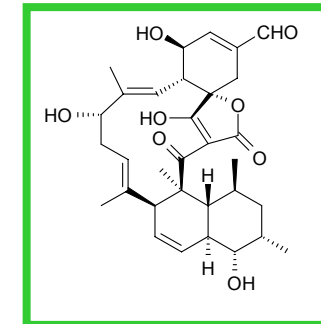
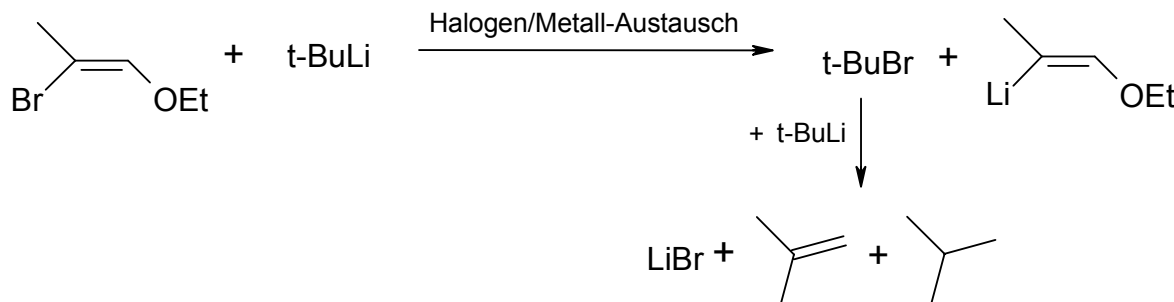


III.2.2. Grignard-Reaktion zur Gewinnung des (E)-Enals

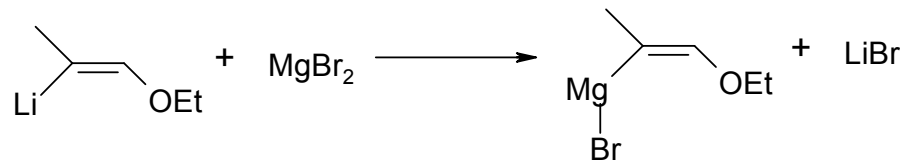


Mechanismusvorschlag:

- Intoleranz des Grignard-Reagenzes gegenüber Brom
- Lithium hingegen reagiert rasch unter Halogen/Metall-Austausch

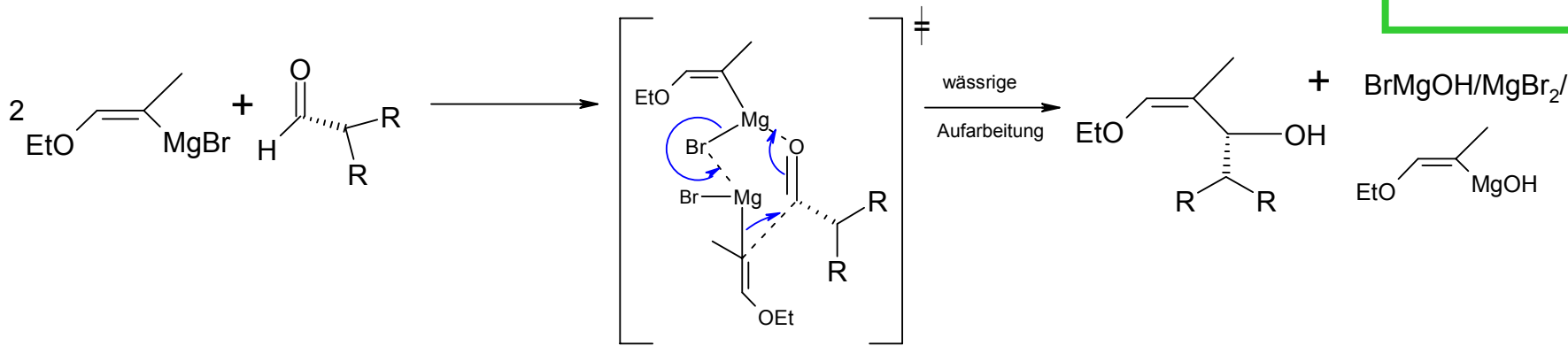


- Austausch von Lithium gegen Magnesium erfolgt nun schnell, da Lithium elektropositiver als Magnesium ist
- LiBr-Bildung trägt wesentlich zur Triebkraft der Reaktion bei

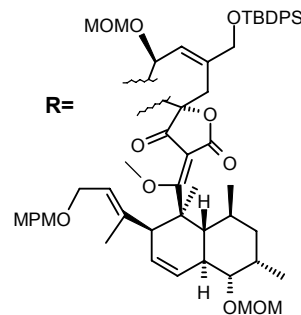
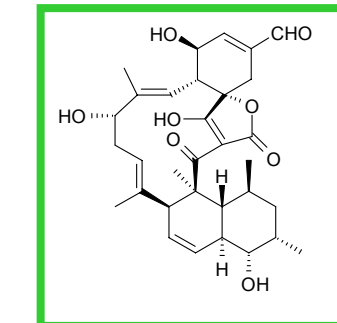


- um Stereoisomerisierung von E nach Z zu verhindern, wird bei tiefer Temperatur gearbeitet

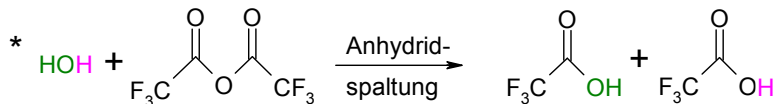
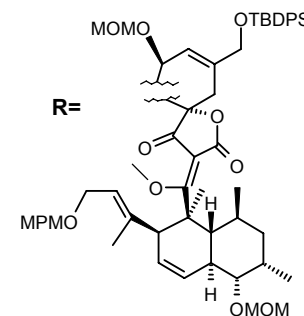
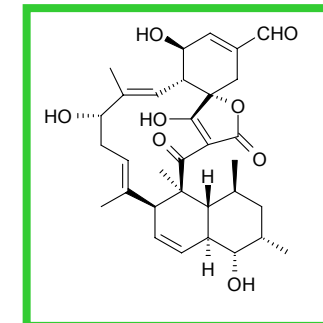
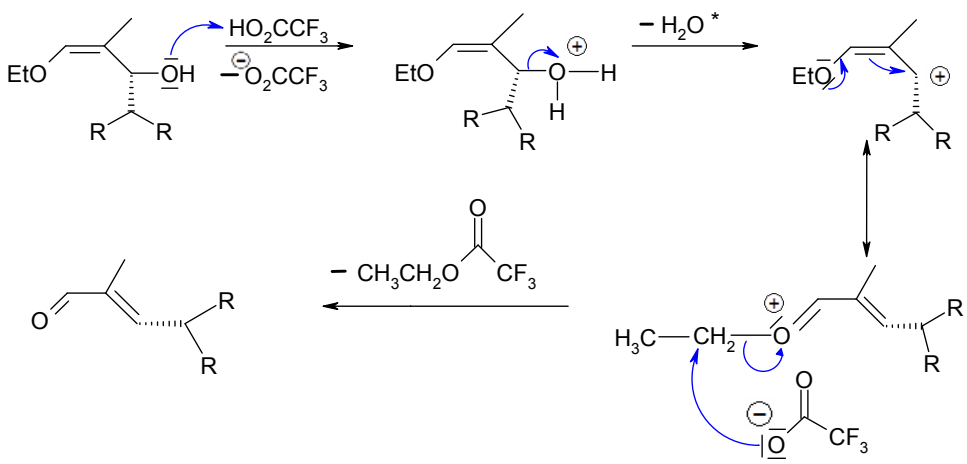
Grignard-Übergangszustand:



- 6-gliedriger ÜZ, wobei die Stereochemie bezüglich der eingeführten OH-Gruppe egal ist, da diese im Folgeschritt entfernt wird
- vollständige Retention der Doppelbindungskonfiguration

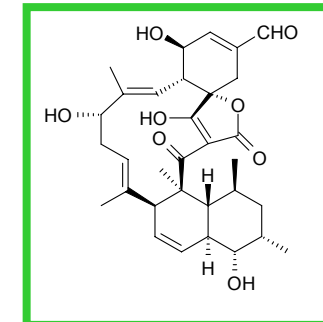
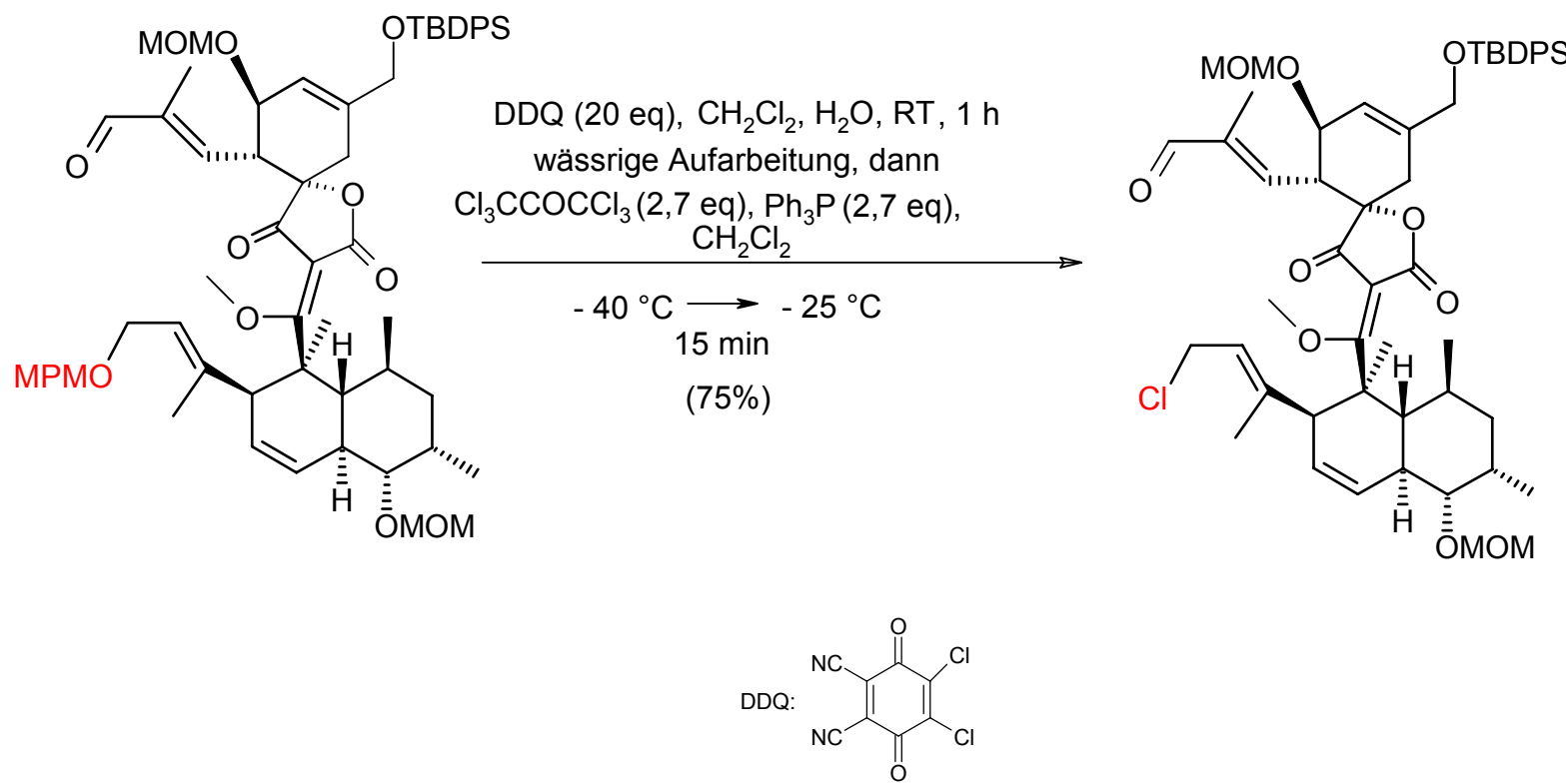


Mechanismusvorschlag für die Darstellung des α,β -ungesättigten Aldehyd mittels TFA:

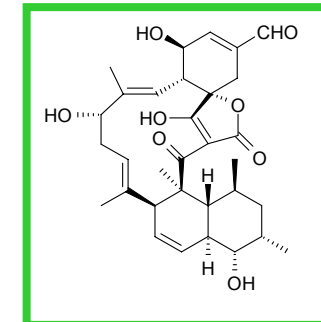
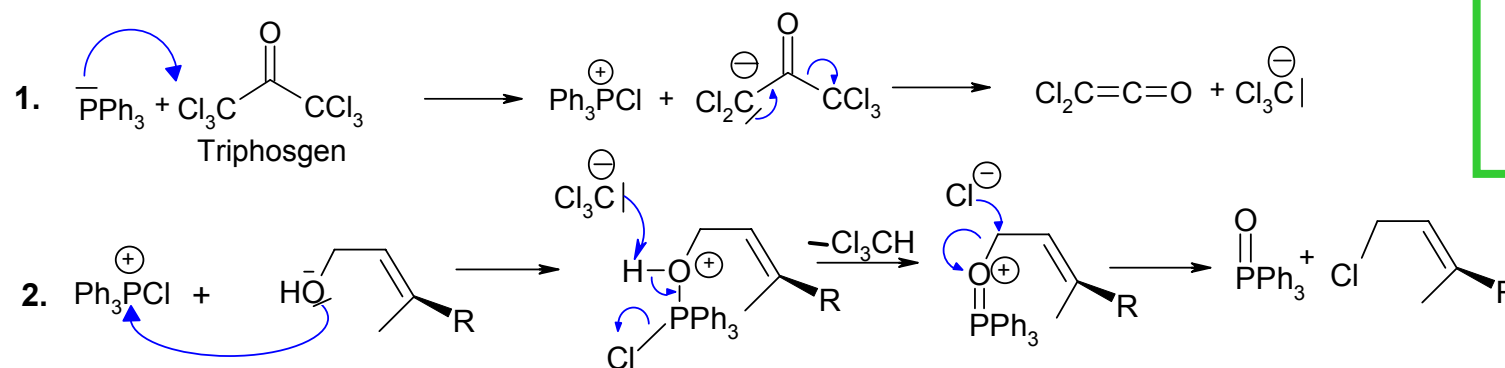


- das entstandene Wasser wird durch TFAA aus dem Reaktionsgemisch entfernt

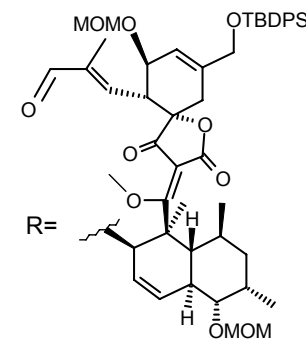
III.2.3. Darstellung des Allylchlorids



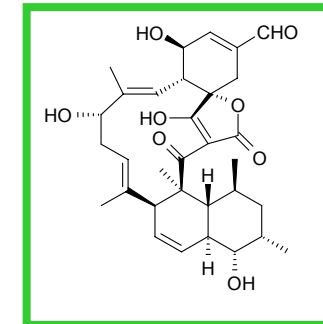
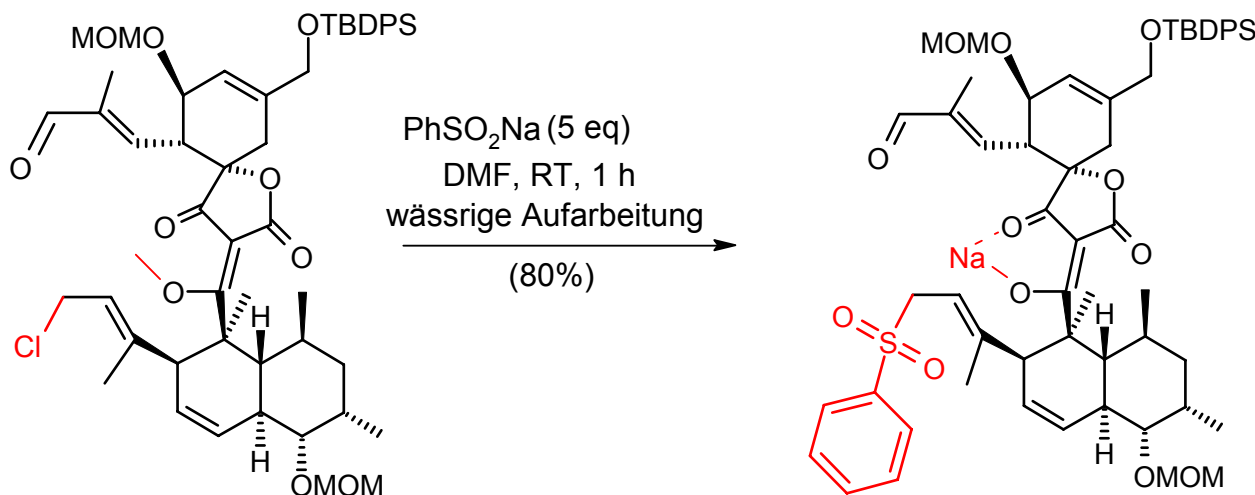
Mechanismusvorschlag der Chlorierung (Mukaiyama-Redoxkondensation):



- Chlorierung darf nicht an Doppelbindung stattfinden
- bei Aufarbeitung darf es zu keiner Umlagerung bzw. Eliminierung kommen
- Hexachloracetan ist weniger flüchtig als Tetrachlormethan und hat die bessere Abgangsgruppe
- milde Reaktionsbedingungen, hohe Regio- und Stereoselektivität, leichte Aufarbeitung

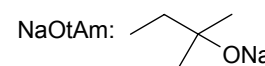
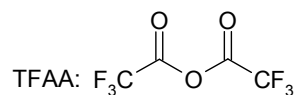
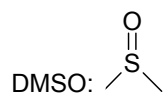
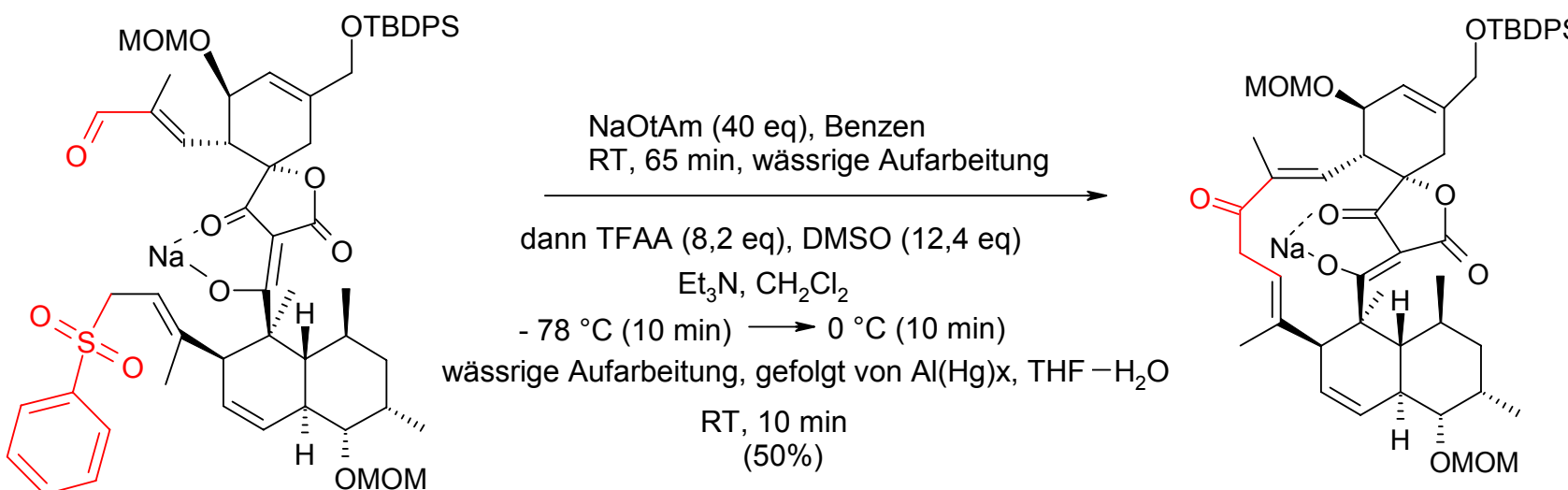
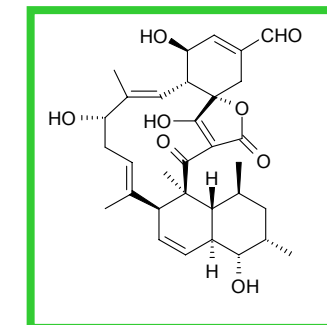


III.2.4. Darstellung des Allylsulfons

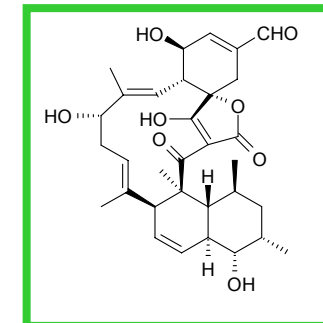
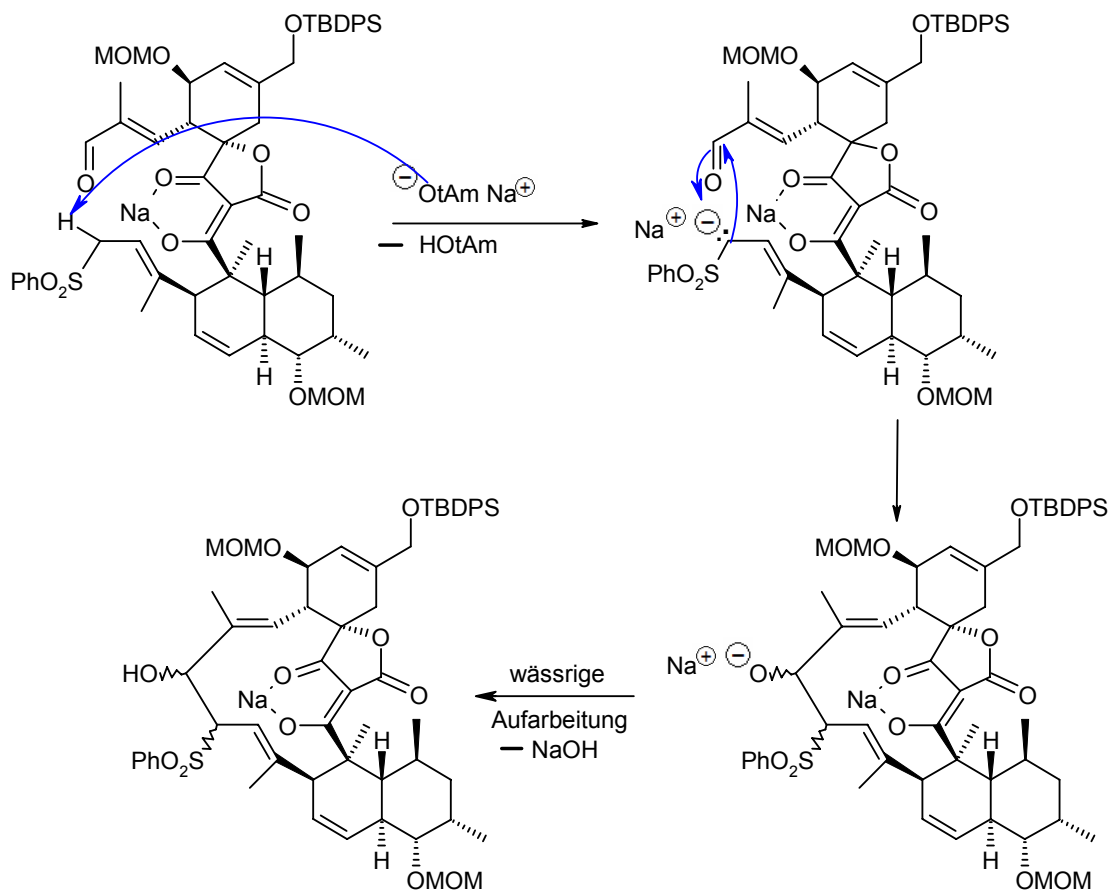


- SN₂-Reaktion mit dem Ziel das Allylsulfon zu erhalten
- Desalkylierung des O-Methyltetronates durch Natrium war eigentlich nicht vorgesehen
- Salz war jedoch viel leichter zu handhaben und nur in Abwesenheit der Methylgruppe konnte die folgende Makrozyklisierung erfolgen
- Grund: leichte Drehbarkeit um die C3-C4-Bindung ohne Methylgruppe
- Natrium spielt bei der Makrozyklisierung die Rolle eines „Vermittlers“, indem es am Sulfonat und am Sauerstoffatom des Aldehyden im Übergangszustand koordiniert

III.3. Makrozyklischer Ringschluss

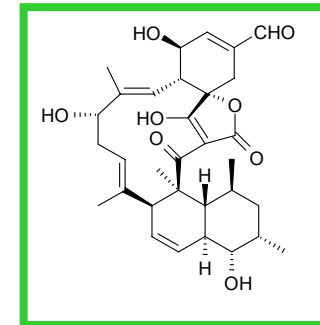
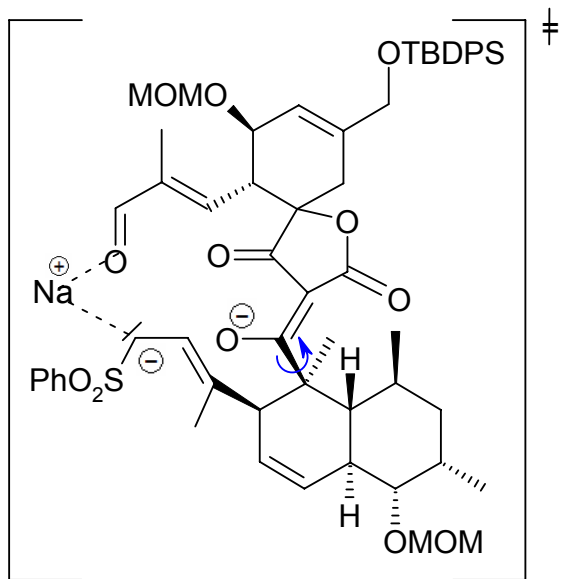


Mechanismusvorschlag für die Makrozyklisierung:



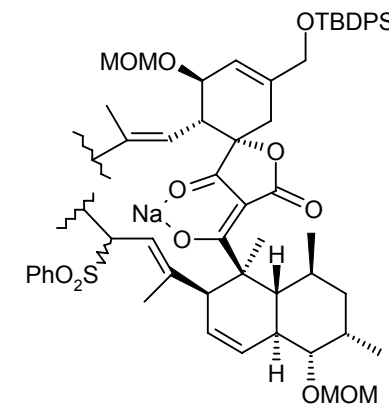
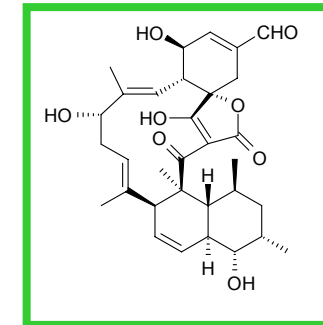
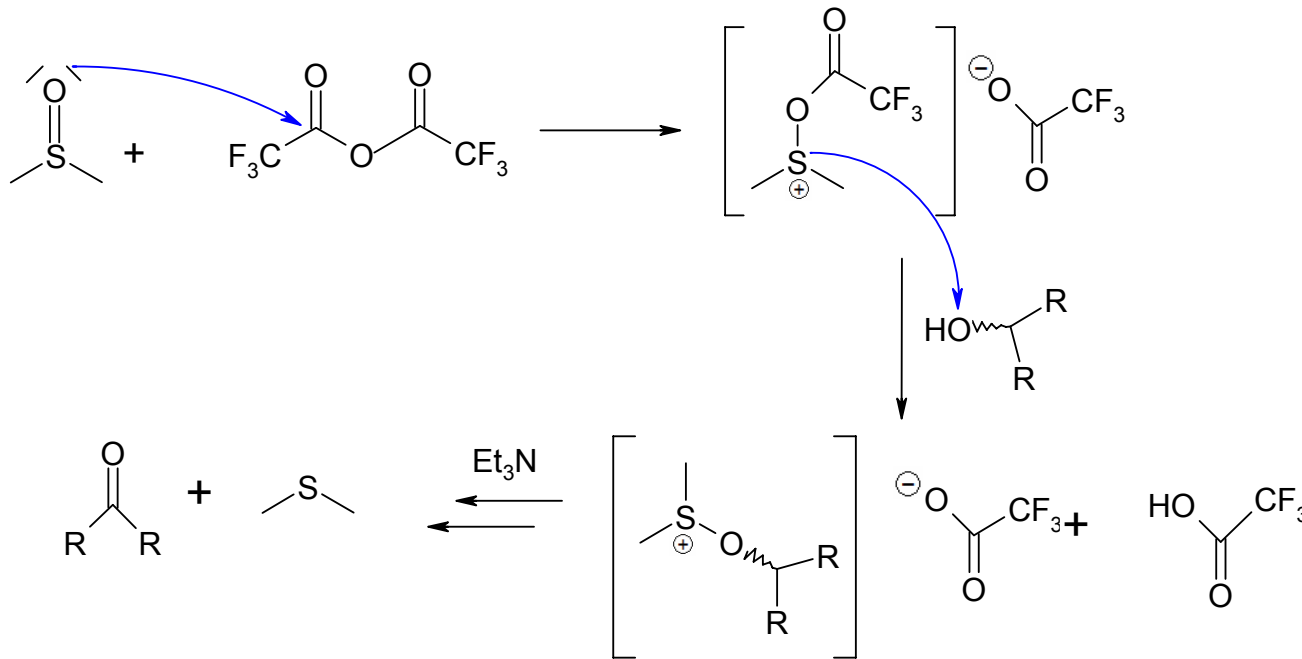
- basenkatalysierte intramolekulare Kondensation des α -Sulfonyl - ω -Aldehyd
- es entstehen dabei 4 Diastereomere

- es wird dabei folgender Natriumvermittelter Übergangszustand angenommen:

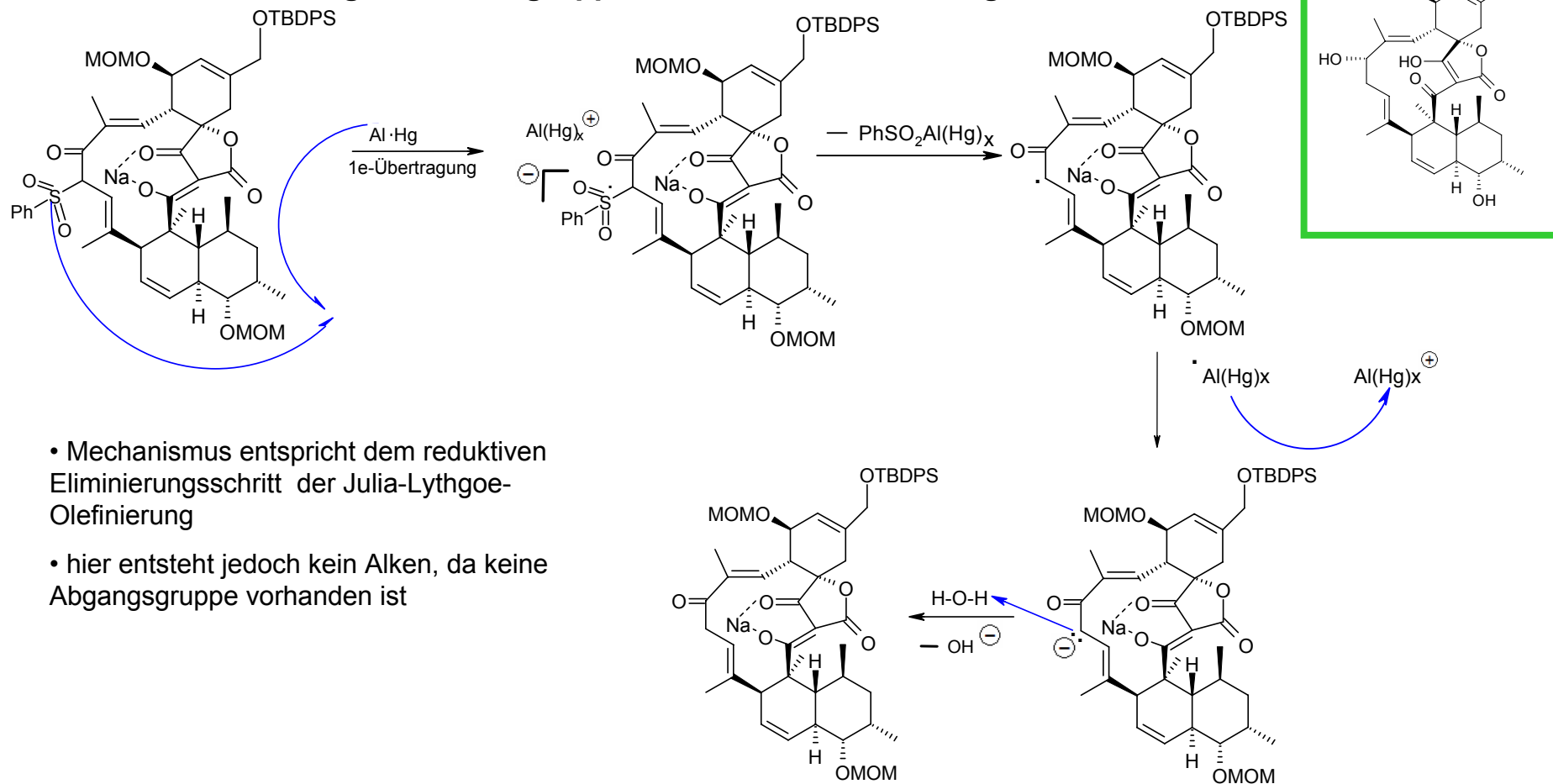


- Na koordiniert am Sulfonatcarbanion und am Aldehydsauerstoff
- einfache Drehung um die C3-C4-Bindung ermöglicht leichten Ringschluss

Mechanismus der Swern-Oxidation mit TFAA:



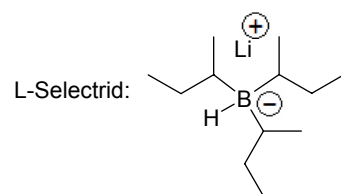
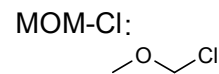
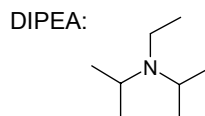
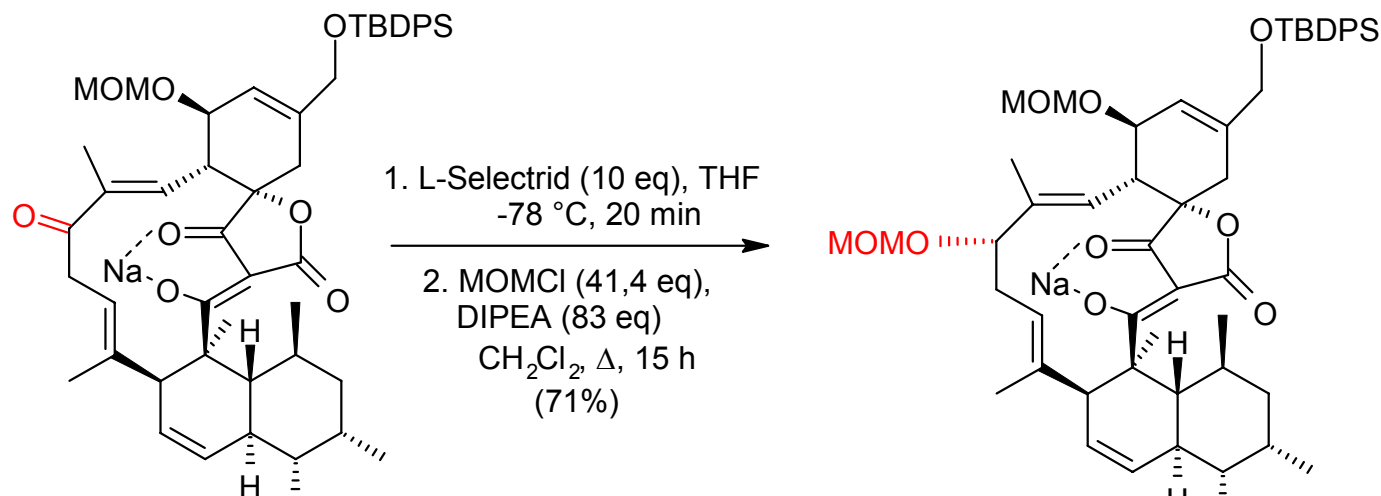
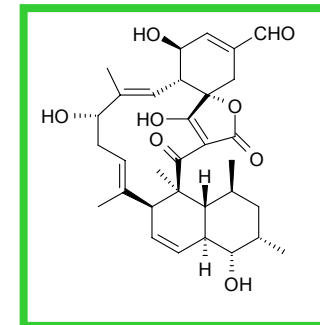
Reduktive Entfernung der Sulfongruppe mittels Aluminiumamalgam:



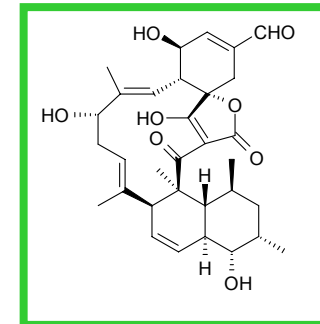
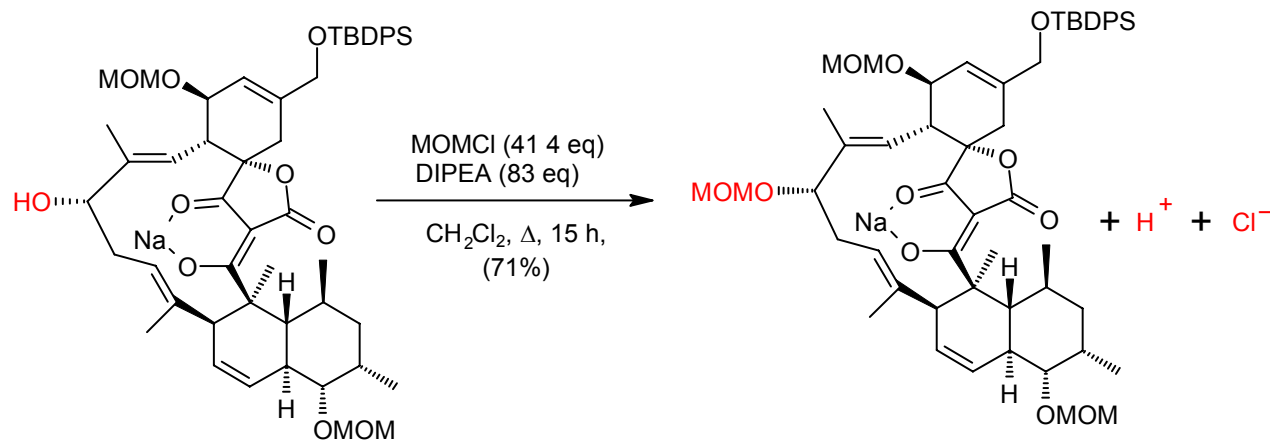
- Mechanismus entspricht dem reduktiven Eliminierungsschritt der Julia-Lythgoe-Olefinierung
- hier entsteht jedoch kein Alken, da keine Abgangsgruppe vorhanden ist

III.4. Letzte Schritte zum (+)-Tetronolid

III.4.1. Schützen der Spirotetronateinheit

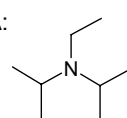


Schützen der Hydroxyfunktion:

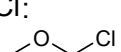


- Schützen der gebildeten Hydroxygruppe durch den Einsatz von MOMCl und DIPEA (milde Base), wodurch vollkommen geschütztes Spirotetronat entsteht

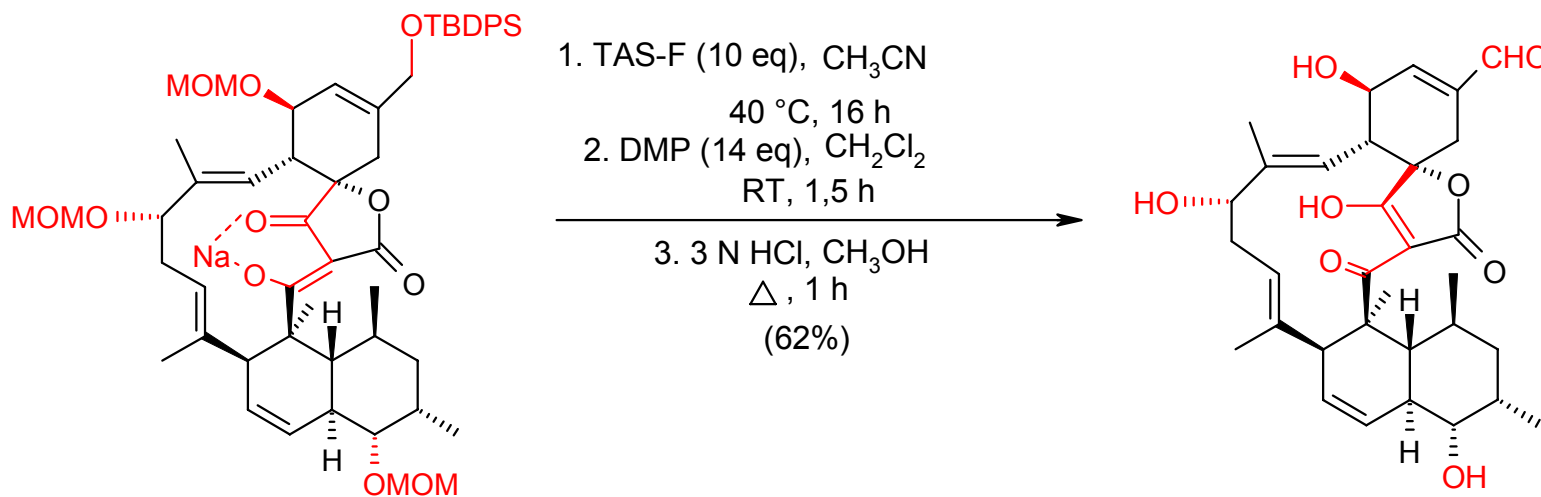
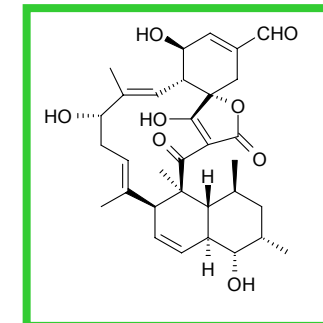
DIPEA:



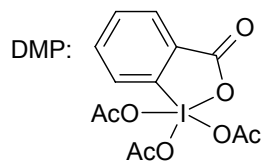
MOM-Cl:



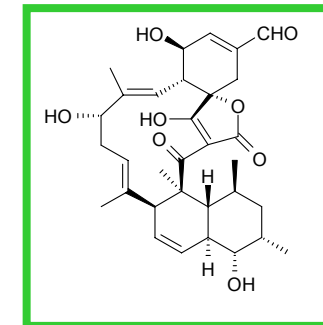
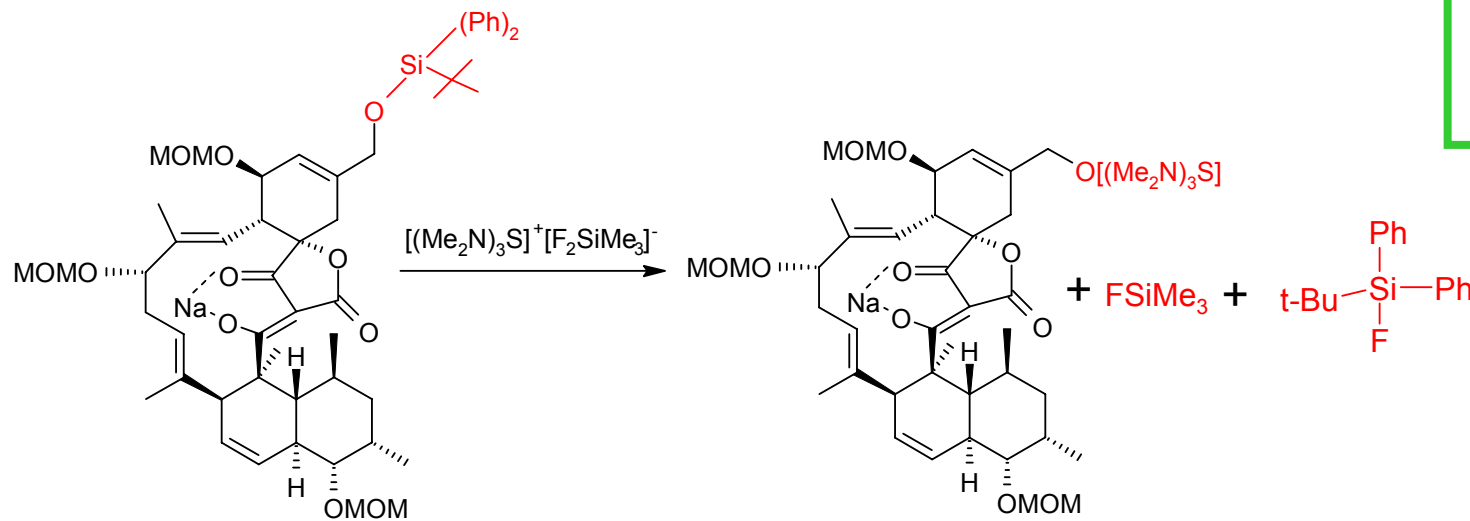
III.4.2. Entfernung aller Schutzgruppen



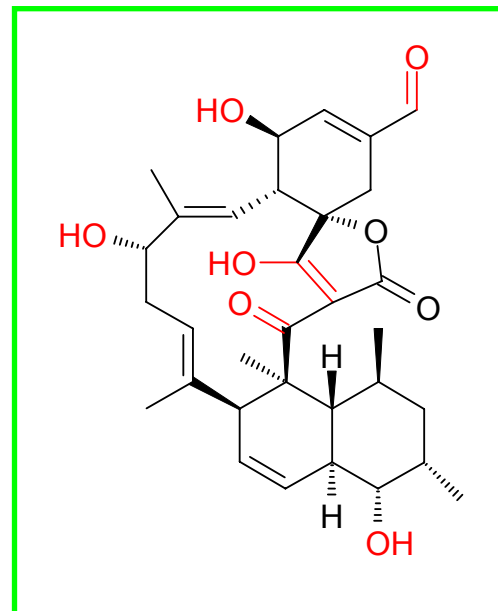
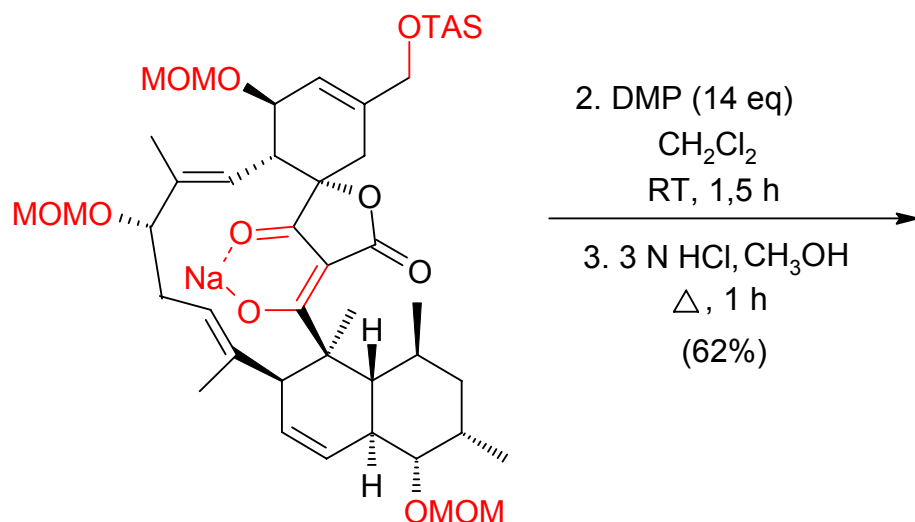
TAS-F: $[(\text{Me}_2\text{N}_3)\text{S}]^+[\text{F}_2\text{SiMe}_3]^-$



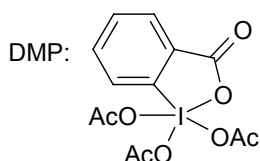
Zuerst erfolgt Spaltung der Silylethergruppe mit dem sehr milden Reagenz TAS-F:



Schutzgruppenspaltung:



(+)-Tetronolid



- mittels DMP wird das Alkoholat oxidiert
- danach werden sämtliche Schutzgruppen sauer entfernt

IV Reaktionsübersicht

Nucleophile Substitution/Reaktion	Seite	Doppelbindungschemie	Seite
Stannylierung	6	Bromierung	10
Carboxylierung	8	Sharpless-Dihydroxylierung	15
Lactamderivateinführung	9	Epoxidierung	25
Phosphonsäurediisopropylesterdarstellung	12	Sharpless-Epoxidierung	45ff
Acetalbildung	19f		
Anhydridbildung	29	Schutzgruppen	Seite
Finkelstein-Reaktion	36, 49	Schutz der Hydroxyfunktion	31, 33, 42
Alkylierung	38	Entschützen	43, 89
Williamson-Ether-Synthese	49		
Ringöffnung	51	Sonstige	Seite
Hydroxymethylierung	56	IMDA	22f, 70
Chlorierung	59, 79	Eliminierung	25
Nucleophile Addition am Keten-Kohlenstoff	69	Esterhydrolyse	27
 		Acetalspaltung	33
Oxidation	Seite	Enolatbildung am Auxiliar	37f
NaIO_4	17	Entfernung des Auxiliars	40
Swern-Oxidation	62, 84	Hydrierung am Pd/C-Katalysator	54
 		Retro-Diels-Alder	69
Reduktion	Seite	Dieckmann-Reaktion	72
NaBH_4	29	Reaktion mit TFA	77
LAH	41, 57		
Aluminiumamalgam	85		

V Verwendete Abkürzungen/Trivialnamen

BHT	2-(1,1-Dimethylethyl)-4-methoxyphenol	MPM	Methoxyphenylmethyl
Bn	Benzyl	NaOtAm	Natrium tert-amyloxid
Bu	Butyl	NaHMDS	Natriumhexamethydisilazan
Chinuclidin	1-Azabicyclo[2.2.2]octan	NCS	N-Chlorsuccinimid
DBU	Diazabicycloundecen	Ph	Phenyl
DDQ	2,3-Dichlor-5,6-dicyano-benzochinon	PPTS	Pyridinium-para-toluensulfonat
DET	(+) oder (-)Diethyltartrat	p-Ts	para-Toluensulfonat
DIPEA	N,N-Diisopropylethylamin	RT	Raumtemperatur
DMAP	Dimethylaminopyridin	SET	Single Electron Transfer
DMF	Dimethylformamid	TAS-F	Tris(dimethylamino)sulfoniumdifluorotrimethylsilikat
DMP	Dess-Martin-Periodinan	TBAF	Tert-Butyl-Ammonium-Fluorid
DMS	Dimethylsulfid	TBAI	Tetrabutylammoniumiodid
DMSO	Dimethylsulfoxid	TBDPS	tert-Butyldiphenylsilyl
Et	Ethyl	t-Bu	Tert-Butyl
HMPA	Hexamethylphosphorsäuretriamid	TEBA	Triethylbenzylammoniumchlorid
i-Pr	Iso-Propyl	Tf	Triflat
LAH	Lithiumaluminiumhydrid	TFA	Trifluoracetatsäure
LDA	Lithiumdiisopropylamid	TFAA	Trifluoracetanhydrid
L-Selectrid	Lithium-(tri-sek-butyl)borhydrid	THF	Tetrahydrofuran
2,6-Lutidin	2,6-Dimethylpyridin	TMEDA	N, N, N', N' - Tetramethylethylendiamin
m-CPBA	meta-Chlorperbenzoësäure	TMS	Trimethylsilyl
MOM	Methoxymethyl		